



Universidad Autónoma de Querétaro
Facultad de Ingeniería
Ingeniería en Automatización



**Control de movimiento para servomotores sobre un perfil parabólico de velocidad
implementado en un FPGA**

TESIS

Que como parte de los requisitos para obtener el grado de
Ingeniero en Automatización

Presenta:

Victor Ernesto Montalvo Garfias

Dirigido por:

Dr. Juvenal Rodríguez Reséndiz

SINODALES

Dr. Juvenal Rodríguez Reséndiz Presidente	_____	Firma
Dr. Miguel Martínez Prado Secretario	_____	Firma
Dr. Suresh Thenozhi Vocal	_____	Firma
Dr. Edgar Alejandro Rivas Araiza Suplente	_____	Firma
M. en C. Carlos Miguel Torres Hernández Suplente	_____	Firma

Dr. Manuel Toledano Ayala
Director de la facultad de ingeniería

Querétaro, México
Abril 2020

Dirección General de Bibliotecas UAQ

© 2020 - Victor Ernesto Montalvo Garfias

All rights reserved.

Dirección General de Bibliotecas UAQ

Dirección General de Bibliotecas UAQ

Esta tesis va dedicada a mi familia, amigos y a todos aquellos que luchan por sobreponerse tras haber caído una y otra vez...

Dirección General de Bibliotecas UAQ

Dirección General de Bibliotecas UAQ

Agradecimientos

Aquí un pequeño agradecimiento a las personas que formaron parte de este camino tan lleno de historias que representó concluir mi primer trabajo de tesis.

Comienzo por mi familia, a quienes considero una de las partes más importantes de mi vida; te doy gracias mamá por quererme incondicionalmente y haberme enseñado a siempre creer en mí para buscar oportunidades a cada paso que doy. Papá, a ti te doy gracias por enseñarme a valorar mi contexto, que aunque no fue el mejor, es privilegiado con respecto a muchas otras historias, también por ayudarme a entender que si quiero hacer algo es mi deber hacerlo sin buscar pretextos. Hermana gracias por estar conmigo en tantos de mis momentos más difíciles y por ser la única persona que conozco que comprende y no juzga a quienes quiere.

A mis amistades más cercanas también les digo gracias; Ariel, Renata, Julio, Daniela, Juan Luis, Miguel, Dayan, Rebeca: con ustedes he vivido bastantes historias como para conocerlos y quererlos pero no las suficientes como para querer que se detengan nuestras aventuras.

A mis profesores, no sólo de licenciatura, les agradezco mucho, ya que tener el rol de la persona que, entre otras cosas, desafía tus habilidades no siempre es fácil pues en los peores momentos puede provocar resentimiento o desagrado; aún así, sin ustedes aprender no sería la experiencia llena de vida que representan sus clases.

A los jefes que he tenido también les agradezco mucho, pues han sido un contacto con la realidad fuera del aula muy importante, y de ustedes he aprendido mucho.

Es complicado agrupar a las personas en categorías como lo son familia, amigos y trabajo, ya que hay jefes y profesores que se convierten en amigos, y amigos que a su vez se convierten en familia; pero si algo tengo muy claro es que una gran parte de mí está dada por la suma de seres queridos que han tocado mi vida y ha llegado el momento de regresarles algo.

Dirección General de Bibliotecas UAQ

Abstract

The aim of this thesis is to study the designing and implementation of a motion control system for a direct current (DC) servomotor controlled using a parabolic velocity profile based proportional controller. Initially, the selection of an appropriate digital platform in which the system could be implemented is investigated, and a Field-Programmable Gate Array (FPGA) is chosen due to its high processing speed and its capability to run parallel processes successfully. To facilitate the digital implementation, the overall system is divided into the communication and control system units. First, the mathematical model of the proportional controller with parabolic and trapezoidal velocity profiles are derived, which is then discretized by means of numerical methods. Secondly, an UART communication interface is developed, which allows the user to monitor and modify the angular position, velocity and acceleration of the servomotor through a Graphical User Interface (GUI) developed on MATLAB. These designs are described using the Very high-speed integrated circuit Hardware Description Language (VHDL) for final implementation. Finally, various experimental studies are performed on a DC servomotor with inbuild encoder to evaluate the proposed strategies. First, the performance of the numerical method, used to discretize the system is compared with the original mathematical model using different sampling periods. Secondly, the position measurements obtained during the experiments under each velocity profile are compared with the positions proposed by the numerical method. Then, the performance of the proportional controller with and without using velocity profiles are evaluated experimentally. Finally, an energy consumption study is performed for each velocity profile which indicates that the parabolic velocity profile consumes less energy than the trapezoidal profile.

(Keywords: *parabolic velocity profile, servo-mechanism, UART communication, FPGA, DC motor, Proportional controller*)

Dirección General de Bibliotecas UAQ

Resumen

El principal propósito de esta tesis es el estudio del diseño e implementación de un sistema de control de movimiento para un servomotor de corriente directa controlado a través de un perfil parabólico de velocidad y un controlador proporcional. Inicialmente, la selección de una apropiada plataforma digital donde el sistema podría ser implementado es investigada; un *Field-Programmable Gate Array* (por sus siglas en inglés *FPGA*) es seleccionado debido a su alta velocidad de procesamiento y capacidad para trabajar procesos en paralelo de forma exitosa. Con el objetivo de facilitar la implementación digital, el sistema completo es dividido en unidades de control y comunicación. Primero, el modelo matemático del controlador y los perfiles de velocidad parabólico y trapezoidal son desarrollados y discretizados haciendo uso de métodos numéricos. Después una interfaz de comunicación de tipo *Universal Asynchronous Receiver-Transmitter* (por sus siglas en inglés *UART*) es desarrollada para permitir al usuario monitorear y modificar la posición, velocidad y aceleración angular del servomotor a través de una *Graphical User Interface* (por sus siglas en inglés *GUI*) desarrollada en *MATLAB*. Los diseños para el *FPGA* son descritos haciendo uso del lenguaje *Very high-speed integrated circuit Hardware Description Language* (por sus siglas en inglés *VHDL*) para su implementación final en una plataforma digital. Finalmente, diferentes estudios experimentales son desarrollados en un servomotor de corriente directa con encoder incluido para evaluar las estrategias de control propuestas. Primeramente, el rendimiento del método numérico usado para discretizar el sistema es comparado con el modelo matemático original usando diferentes tiempos de muestreo. Después, se comparan las posiciones angulares logradas por los perfiles de velocidad durante el experimento con las posiciones propuestas por el método numérico. Siguiendo a ello, el rendimiento del controlador proporcional con y sin perfiles de velocidad es evaluado experimentalmente. Finalmente, se realiza un estudio del consumo de energía para ambos perfiles indicando que el perfil parabólico de velocidad consume menos que el perfil trapezoidal.

(**Palabras clave:** *Perfil parabólico de velocidad, servomotor, comunicación UART, FPGA, motor de corriente directa, controlador proporcional*).

Dirección General de Bibliotecas UAQ

Dirección General de Bibliotecas UAQ

Nomenclatura

Cuadro 1: Variables y constantes del trabajo.

Símbolo	Descripción
t	Variable de tiempo, donde $t \in \mathbb{R}$
$\theta(t)$	Posición angular con respecto al tiempo.
θ_d	Posición angular deseada que busca igualar el controlador.
θ_f	Posición angular final.
$\omega(t)$	Velocidad angular con respecto al tiempo.
$\alpha(t)$	Aceleración angular con respecto al tiempo.
e	Error en el seguimiento de la posición, $(\theta_d - \theta)$.
T_x	Señal digital para la transmisión de datos.
R_x	Señal digital para la recepción de datos.
ω_{max}	Velocidad angular máxima.
$i(t)$	Corriente con respecto al tiempo.
$P(t)$	Potencia consumida durante el tiempo.
R	Resistencia eléctrica.
E	Energía que consume el motor durante una trayectoria angular.
T_s	Periodo de muestreo.
k	Multiplicador para cada instante tiempo, donde $k \in \mathbb{Z}$.
$\alpha(kT_s)$	Aceleración angular para cada instante de tiempo.
$\omega(kT_s)$	Velocidad angular para cada instante de tiempo.
$\theta(kT_s)$	Posición angular para cada instante de tiempo.
$u(t)$	Corrección del controlador a través del tiempo.
$u(k)$	Corrección del controlador en su forma discreta.
$e(t)$	Error en la posición a través del tiempo.
$e(k)$	Error en la posición en su forma discreta.
T	Tiempo en que la posición final será alcanzada.
a	Constante de aceleración.
u_k	Salida digital que el controlador entrega al DAC.
V_1	Voltaje que el DAC entrega al servo-amplificador.
V_2	Voltaje amplificado que el motor requiere para trabajar.
θ_m	Posición angular del motor que recibe el encoder.
CH_A	Señal digital A desfasada de B que del encoder.
CH_B	Señal digital B desfasada de A que del encoder.
m	Pendiente de una recta de primer grado.
$\tau_g(t)$	Torque de un motor.
τ_f	Torque del motor debido a la fricción.
J	Inercia del motor.
K_t	Constante que relaciona el torque del motor eléctrico y la corriente.
ERR	Registro digital del error.
SEL	Selector digital de los multiplexores.

Cuadro 2: Siglas y términos anglosajones.

Término	Descripción
<i>DC</i>	<i>Direct current.</i>
<i>FPGA</i>	<i>Field Programmable Gate Array.</i>
<i>VHDL</i>	<i>Very High Speed Integrated Circuit Hardware Description.</i>
<i>UART</i>	<i>Universal Asynchronous Receiver-Transmitter.</i>
<i>CNC</i>	<i>Computer Numerical Control.</i>
<i>DSP</i>	<i>Digital Signal Processor.</i>
<i>SOC</i>	<i>System on Chip.</i>
<i>PC</i>	<i>Personal Computer.</i>
<i>GUI</i>	<i>Graphical User Interface.</i>
<i>PWM</i>	<i>Pulse Width Modulation.</i>
<i>NoC</i>	<i>Network on Chip.</i>
<i>RPM</i>	<i>Revolutions per minute.</i>
<i>DAC</i>	<i>Digital to Analog Converter.</i>
<i>PCB</i>	<i>Printed Circuit Board.</i>
<i>BPS</i>	<i>Bits Per Second.</i>
<i>IDE</i>	<i>Integrated Development Environment.</i>

Dirección General de Bibliotecas UAQ

Dirección General de Bibliotecas UAQ

Índice general

Agradecimientos	i
Abstract	iii
Resumen	v
Nomenclatura	viii
Contenido	xi
Lista de figuras	xv
Lista de tablas	xvii
1 Introducción	1
1.1 Planteamiento del problema	2
1.2 Justificación	2
1.3 Hipótesis	3
1.4 Objetivo	3
1.4.1 Objetivos específicos	3
1.5 Estructura de la tesis	4
2 Revisión de la literatura	5
2.1 Antecedentes	5
2.1.1 Generador del perfil parabólico de forma analítica	6
2.1.2 Generador del perfil trapezoidal de forma analítica	9
2.1.3 Comparación del consumo de energía entre perfiles	12

2.1.4	Seguimiento de trayectoria con un controlador proporcional	15
2.1.5	Implementación de la electrónica digital en un solo chip	16
3	Metodología	19
3.1	Especificación	19
3.1.1	Software	19
3.1.2	Dispositivos eléctricos y electrónicos	19
3.1.3	Equipo de laboratorio	20
3.2	Diseño	20
3.2.1	Modelo del sistema	20
3.3	Implementación	21
3.3.1	Implementación del generador del perfil parabólico	21
3.3.2	Implementación del generador del perfil trapezoidal	24
3.3.3	Implementación del controlador proporcional	28
3.3.4	Implementación del servo-amplificador	30
3.3.5	Implementación de la Interfaz del Usuario	34
4	Resultados y discusión	39
4.1	Resultados	39
4.1.1	Comparación del método analítico de integración con el método numérico	39
4.1.2	Comparación del método numérico con la trayectoria trazada con el FPGA	40
4.1.3	Resultados de la simulación	41
4.1.4	Seguimiento de trayectorias	41
4.1.5	Comparación en el seguimiento de trayectorias del controlador con y sin perfiles	44
4.1.6	Consumo de corriente para cada perfil	45
4.2	Discusión	48
4.3	Impacto	48
4.3.1	Impacto social	48
4.3.2	Impacto ambiental	49
4.3.3	Impacto económico	49
4.4	Publicaciones	50
4.5	Trabajo futuro	50
5	Conclusiones	51

Bibliografía	53
A Apéndice	57
A.1 Descripción de Hardware en VHDL del Sistema de control de movimiento	57
A.1.1 Bloque integrador principal	58
A.1.2 Generador del perfil parabólico	62
A.1.3 Generador del perfil trapezoidal	65
A.1.4 Controlador proporcional	67
A.1.5 Sistema de comunicación	69
A.1.6 Encoder Incremental	75
A.1.7 Indicador digital de la posición angular	76
A.1.8 Bloques en común para las funciones principales	79
A.2 Código de la interfaz desarrollada en MATLAB	84
A.2.1 Código del perfil parabólico con integración rectangular	84
A.2.2 Código del perfil trapezoidal con integración rectangular	84
A.2.3 Código del convertidor decimal a punto fijo	85

Dirección General de Bibliotecas UAQ

Índice de figuras

2.1	Recta de aceleración para el perfil parabólico, $\alpha(t) = \frac{-2a}{T}t + a$.	6
2.2	Curva de velocidad para el perfil parabólico, $\omega(t) = \frac{at^2}{T} + at$.	7
2.3	Curva de posición para el perfil parabólico, $\theta(t) = \frac{-at^3}{3T} + \frac{at^2}{2}$.	8
2.4	Función de aceleración $\alpha(t)$ para el perfil trapezoidal representada en (2.16).	9
2.5	Función de velocidad $\omega(t)$ para el perfil trapezoidal representada en (2.25).	10
2.6	Función de posición $\theta(t)$ para el perfil trapezoidal representada en (2.32).	11
2.7	Sistema en lazo cerrado de un cañón anti-áereo.	16
3.1	Modelo principal del sistema de control de movimiento.	20
3.2	Integración rectangular de la aceleración del perfil parabólico.	22
3.3	Diagrama de bloques del perfil parabólico discreto.	23
3.4	Máquina de estados del perfil parabólico discreto.	24
3.5	Integración rectangular de la aceleración del perfil trapezoidal.)	25
3.6	Diagrama de bloques del perfil trapezoidal discreto	26
3.7	Máquina de estados del perfil trapezoidal.	27
3.8	Controlador proporcional discreto.	29
3.9	Máquina de estados del controlador proporcional.	30
3.10	Arquitectura modular de hardware.	32
3.11	Esquemático del socket del <i>driver</i> .	35
3.12	Distribución de pistas y componentes del socket del <i>driver</i> .	36
3.13	Resultado final del ensamble electrónico del <i>driver</i> .	36
3.14	Interfaz gráfica desarrollada en <i>MATLAB</i> .	37
3.15	Convertidor de unidades.	38

4.1	Método analítico vs numérico para 15 vueltas en perfil parabólico.	40
4.2	Simulación de la activación de los registros del perfil parabólico.	41
4.3	Simulación del cambio de valores de posición en el perfil parabólico.	41
4.4	Experimento perfil parabólico 5 vueltas.	42
4.5	Experimento perfil trapezoidal 5 vueltas.	43
4.6	Experimento con ambos perfiles 10 vueltas.	43
4.7	Experimento con ambos perfiles 15 vueltas.	44
4.8	Experimento de posición para comparar la respuesta del controlador con y sin perfiles.	45
4.9	Consumo de corriente y voltaje con el perfil trapezoidal para 10 vueltas.	46
4.10	Consumo de corriente y voltaje con el perfil parabólico para 10 vueltas.	46
4.11	Comparación de voltaje, corriente y potencia en ambos perfiles para 10 vueltas.	47

Dirección General de Bibliotecas UAQ

Índice de cuadros

1	Variables y constantes del trabajo.	viii
2	Siglas y términos anglosajones.	ix
2.1	Principales referencias bibliográficas usadas en este trabajo.	5
3.1	Señales de la máquina de estados del perfil parabólico discreto.	25
3.2	Señales de la máquina de estados del perfil trapezoidal.	27
3.3	Señales de la máquina de estados del controlador proporcional.	31
3.4	Principales características del motor utilizado para los experimentos.	31
3.5	Principales rangos de operación del LMD18245.	31
3.6	Diagrama de pines relevantes del LMD18245.	32
3.7	Valores de corriente suministrada al motor para cada valor decimal del <i>DAC</i>	33
3.8	Valores de corriente suministrada al motor para cada valor decimal del <i>DAC</i>	34
3.9	Valor de los coeficientes en punto fijo para la interfaz y el <i>FPGA</i>	38
4.1	Posiciones angulares que se pusieron a prueba en los perfiles de velocidad.	42
4.2	Comparación del consumo promedio en ambos perfiles para 10 vueltas.	48

Dirección General de Bibliotecas UAQ

Introducción

El desafío del hombre en torno a su comprensión por los cuerpos en movimiento, ha sido descubrir que cuando un objeto se desplaza de un punto a otro existen diferentes e infinitas formas de ejecutar este recorrido. Las características de este recorrido están dadas por diversos parámetros físicos entre los que se encuentran: la distancia que debe recorrerse, la trayectoria que el objeto seguirá y el tiempo que el recorrido durará. Es a raíz de la relación que existe entre la distancia recorrida y el tiempo, que aparecen conceptos como la velocidad, aceleración y, no tan popular pero muy importante: el *jerk* . Podría pensarse que el conocimiento de estos conceptos es meramente útil para propósitos académicos, en el desarrollo de tecnología de punta, o solo como indicadores para el usuario cotidiano de un automóvil (solo por dar un ejemplo); sin embargo, una función de velocidad con respecto al tiempo es capaz de explicar sucesos de la vida diaria como la razón de que un automóvil no logre frenar por completo antes de una colisión.

De manera intuitiva el ser humano ha aprendido a modular sus funciones de velocidad, por ejemplo presionando más o menos el acelerador dependiendo de qué tan cerca observa al próximo vehículo, pero cuando la tarea requiere un tiempo de respuesta preciso o una posición final confiable es necesario intervenir con modelos matemáticos que nos permitan predecir el comportamiento del desplazamiento para así alcanzar aplicaciones de alta calidad, seguridad y eficiencia. En [1] argumenta que en máquinas *CNC* el uso de funciones que representen la aceleración y des-aceleración del motor garantizan una trayectoria más suave y precisa; siendo así, como se introduce el modelo del perfil trapezoidal en su trabajo.

Los perfiles de velocidad trapezoidal, parabólico y *S-curve* son los más comúnmente usados en la industria y para cada uno existen características representativas. En [2] se establece que el perfil trapezoidal cuenta con los tiempos más cortos para el movimiento punto a punto, sin embargo, produce indeseables *jerks* mecánicos, la cual es una desventaja que el perfil parabólico no presenta.

Un servo-mecanismo es un sistema de partes mecánicas, eléctricas y electrónicas que mediante mando y regulación corrigen el valor de la variable para que se mantenga en el valor deseado; el presente trabajo pretende realizar este mando y regulación mediante un perfil parabólico de velocidad y un controlador proporcional.

1.1 Planteamiento del problema

En la industria una de las primeras condiciones que debe garantizarse a los trabajadores es la seguridad. Es debido a los procesos de manufactura con herramientas pesadas que en una máquina *CNC* por ejemplo, una posición final con sobrepaso o una velocidad mal regulada, además de daño para el producto y maquinaria podría provocar una lesión grave o fatal para el operador. Es así como un perfil de velocidad programado en una máquina de ejes coordenados nos permite garantizar, en conjunto con medidas de seguridad reglamentadas por protocolo, la integridad del equipo, el producto y aún más importante del operador.

La tecnología del automovilismo nos ha llevado a contar al día de hoy con la posibilidad de realizar viajes autónomos. Sin embargo, si realmente abordamos un problema alarmante en vialidades, es necesario hablar de accidentes por colisión entre vehículos o con elementos del entorno. Es por tal motivo que el desarrollo de sistemas genéricos y adaptables a cualquier vehículo debe ser el foco de atención para la investigación y desarrollo de nuevas tecnologías. Los perfiles de velocidad son uno de los elementos más importantes para que un sistema de navegación sea capaz de reaccionar a tiempo y poner a salvo al conductor del vehículo, y en donde, por ejemplo, el *jerk* en procesos industriales repercute en el consumo de energía. En un automóvil el comportamiento del *jerk* puede representar la diferencia entre el daño o integridad del conductor.

Se necesita diseñar e implementar un sistema que logre responder a una posición deseada en el menor tiempo posible y que esté ligado a la velocidad máxima que se desea para el motor y a la trayectoria de velocidad que menor consumo energético represente para el mecanismo. Es importante recalcar que, de acuerdo a la aplicación, la velocidad máxima no solo depende de las características del motor, sino también de las propiedades de la máquina; En una fresadora *CNC*, por ejemplo, las características de los herramientas de corte limitan la velocidad de avance en los ejes así como las propiedades del material a ser cortado.

1.2 Justificación

En [3] se menciona que el control de movimiento juega el papel más importante en numerosas aplicaciones de la industria, tales como: máquinas *CNC*, automatización, robótica y manufactura de semi-conductores, entre otros; las cuales son aplicaciones para las que existe la necesidad de una posición final de alta exactitud. Debido a los requerimientos mencionados anteriormente, la investigación sobre control de movimiento gira no solo en torno a diseñar nuevos modelos matemáticos que optimicen el proceso, sino además a desarrollar la tecnología necesaria para soportar los nuevos sistemas de control, ya que sin un dispositivo que sea capaz de procesar las señales con el periodo de muestreo requerido por el lazo de control, el proyecto es solo viable en la teoría pero no en la práctica.

De acuerdo con [4] el mejor medio para alcanzar un alto rendimiento en el control de servo-mecanismos es remover el lazo de servo-control implementado en un *DSP* o en un micro-controlador y trasladarlo a un lazo de control de alta velocidad en un *FPGA*). Por otra parte, la alta velocidad de procesamiento del *FPGA* es la razón principal para que en [5] se utilice para la optimización de encoders de baja resolución. También en [6] se utiliza un *FPGA* para sistemas de visión en robots autónomos donde la velocidad de procesamiento y portabilidad son factores clave. Así mismo en

[7] se utiliza un *FPGA* para el diseño e implementación de un sistema robótico capaz de esquivar obstáculos imprevistos en tiempo real. Otra característica importante del *FPGA* es el paralelismo con que se pueden implementar sus funciones permitir así replicar múltiples veces circuitos que sirven para el mismo tipo de actuadores. Un ejemplo es [8] donde se implementa un sistema de control para motores a pasos bipolares que puede ser replicado para la n cantidad de motores que contenga su máquina. Debido a las características ya mencionadas, la mayoría de los componentes del presente trabajo serán desarrollados en el lenguaje para describir circuitos digitales *VHDL* e implementados en un *FPGA*.

Es de gran importancia mencionar que la eficiencia en la producción no es la única justificación para el desarrollo de este trabajo, sino además las aplicaciones de seguridad, puesto que una correcta modulación en la velocidad máxima del actuador permite prevenir colisiones o sobre-calentamiento en partes móviles. Cabe aclarar que no solo reducir tiempos en manufactura es el medio para aumentar los ingresos en la industria, la regulación del consumo de energía afecta directamente los costos de producción y es justamente esta característica en que el perfil parabólico destaca frente al perfil trapezoidal al reducir la tasa de cambio en la aceleración con respecto al tiempo.

1.3 Hipótesis

El perfil parabólico de velocidad consume como mínimo 10% menos potencia que el perfil trapezoidal para una misma trayectoria.

1.4 Objetivo

Diseñar un sistema de control para servomotores con base en un perfil parabólico de velocidad e implementarlo en un *FPGA* para así comparar el tiempo de respuesta y consumo de energía obtenidos con un perfil trapezoidal. Además se busca comparar la respuesta de un controlador proporcional al tener como entrada la trayectoria planeada por un perfil de velocidad y al no tenerla.

1.4.1 Objetivos específicos

Los objetivos específicos para este proyecto son los siguientes:

- Modelar y discretizar un lazo de control, que incluya el perfil de velocidad y el controlador, para su implementación en *FPGA*.
- Implementar un sistema de comunicación entre la *FPGA* y la interfaz de usuario.
- Comparar las trayectorias teóricas de los perfiles de velocidad trapezoidal y parabólico con las trayectorias generadas por el sistema de control en el *FPGA*.
- Comprobar que el consumo de potencia del perfil trapezoidal con respecto al parabólico disminuye midiendo y graficando la corriente consumida.
- Comparar la respuesta del controlador con y sin perfiles de velocidad.

1.5 Estructura de la tesis

La presente tesis se encuentra organizada de la siguiente manera:

- El Capítulo 2 detalla a través de referencias a investigadores y autores las bases teóricas y proyectos pasados relacionados con el presente trabajo.
- El Capítulo 3 describe una metodología que parte de los modelos matemáticos y formulan su interpretación discreta con el objetivo de implementar la solución en dispositivos digitales. Se ilustran además los principales bloques que representan el código *VHDL* que se cargará al *FPGA*.
- El Capítulo 4 presenta y analiza los resultados obtenidos en la experimentación.
- El Capítulo 5 establece las conclusiones del trabajo y se resuelve si los objetivos e hipótesis del trabajo fueron alcanzados y comprobados.

Revisión de la literatura

2.1 Antecedentes

El estudio del arte del presente trabajo ha sido construido con la revisión de la literatura de diferentes autores nacionales e internacionales. En la Tabla 2.1 se presentan las publicaciones que más influencia han tenido en este trabajo y se describe brevemente su aportación.

Cuadro 2.1: Principales referencias bibliográficas usadas en este trabajo.

Referencia	Aportación
[9] 2013	De este trabajo se retoma la arquitectura y estrategia de bloques implementados en el <i>FPGA</i> para conectar un perfil de velocidad con el controlador. Además sirve como base para el diagrama de bloques propuesto para el perfil trapezoidal.
[10] 2013	Las ecuaciones analíticas que permiten calcular los coeficientes de cada perfil de velocidad fueron desarrolladas a partir de este trabajo.
[11] 2013	La teoría de control que ilustra la retroalimentación de un sistema en lazo cerrado y las ecuaciones analíticas que permitieron desarrollar el controlador proporcional se obtuvieron de este libro.
[12] 2008	Este trabajo ayuda a reforzar la importancia que tiene la planeación de trayectorias en los sistemas de control de movimiento y además permite abrir el estudio a otros perfiles de velocidad para trabajos futuros.
[13] 2007	Los diagramas de bloques y código en <i>VHDL</i> de esta tesis parten de temas fundamentales de este libro como lo son máquinas de estado, multiplexores y contadores.
[8] 2009 y [14] 2020	Estas tres publicaciones fueron de gran ayuda para seleccionar la arquitectura del sistema.
[15] 2007	Gracias a este libro se desarrolló la mayor parte del código utilizado para la Interfaz gráfica y las funciones de cálculo y conversión en <i>MATLAB</i> .

Como se establece en [12] la planeación de trayectorias en máquinas y robots con múltiples actuadores comenzó con el diseño de levas mecánicas capaces de generar movimientos deseados y que fueran sincronizadas con acoplamientos mecánicos; hoy en día se apuesta por el diseño de levas electrónicas que permiten controlar mecanismos servo-asistidos de una manera más flexible y en donde la sincronización se consigue completamente con herramientas de software. Es así como se consigue evitar el repetitivo diseño y manufactura de levas mecánicas (difíciles y costosas de fabricar de acuerdo a [16]) para cada tipo de trayectoria, y por otro lado el movimiento se simplifica al enfocarse únicamente en el control del motor eléctrico para generar diferentes perfiles de movimiento.

En el estudio de movimiento propuesto para este trabajo las trayectorias son expresadas como funciones paramétricas del tiempo y el análisis de las mismas comienza con la propuesta de diferentes curvas de velocidad. Primero se analiza el comportamiento de un perfil parabólico de velocidad, dado por una función de segundo grado, y se finaliza con el estudio del perfil trapezoidal compuesto por una función seccionada de primer grado.

2.1.1 Generador del perfil parabólico de forma analítica

En [10] se describe cómo a partir de una curva de aceleración podemos obtener las funciones de velocidad y posición angular. Una trayectoria parabólica pertenece a una función cuadrática, y a su vez la derivada de dicha función es una recta de primer grado como se observa en la Figura 2.1.

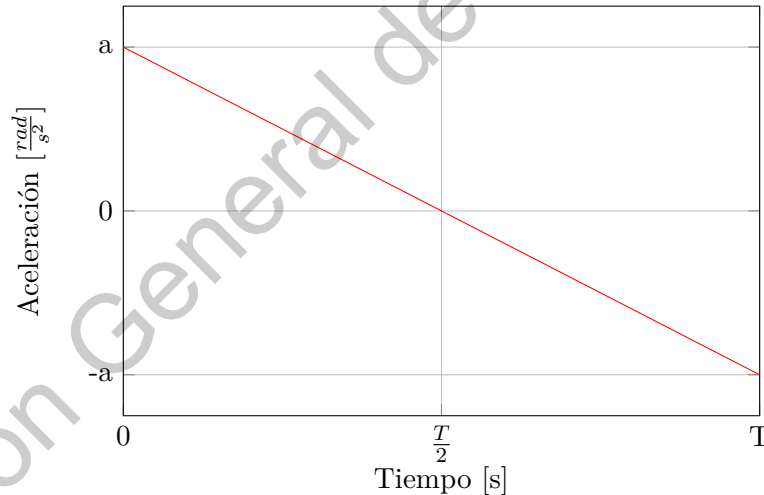


Figura 2.1: Recta de aceleración para el perfil parabólico, $\alpha(t) = \frac{-2a}{T}t + a$.

En el plano la ecuación punto-pendiente de la recta está dada por:

$$\alpha(t) = mt + b \quad (2.1)$$

donde $b = a$ y el valor de la pendiente se calcula como sigue:

$$m = \frac{y_2 - y_1}{x_2 - x_1} \quad (2.2)$$

al sustituir en (2.2) los valores del tiempo T y la constante de aceleración a :

$$m = \frac{-a - a}{T - 0} \quad (2.3)$$

se tiene la ecuación que describe la recta de aceleración.

$$\alpha(t) = \frac{-2a}{T}t + a \quad (2.4)$$

La ecuación de velocidad angular se obtiene al integrar la aceleración desde 0 a t y se ilustra en la Figura 2.2.

$$\omega(t) = \int_0^t \alpha(t)dt + \omega(0) \quad (2.5)$$

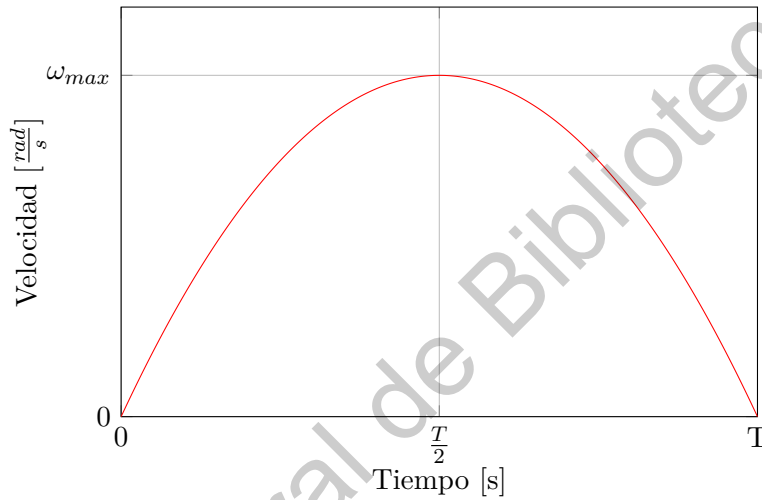


Figura 2.2: Curva de velocidad para el perfil parabólico, $\omega(t) = \frac{at^2}{T} + at$.

Resolviendo la integral de forma analítica se obtiene:

$$\omega(t) = \frac{-at^2}{T} + at, \quad \omega(0) = 0 \quad (2.6)$$

Sabemos que en el punto en el que la recta de aceleración interseca el eje de las abscisas tenemos un valor máximo. Por tal motivo al evaluar la función de velocidad (2.6) en $\frac{T}{2}$ obtenemos la velocidad máxima:

$$\omega_{max} = \omega\left(\frac{T}{2}\right) \quad (2.7)$$

Resultando en el siguiente valor constante:

$$\omega_{max} = \frac{aT}{4} \quad (2.8)$$

Calcular la función de posición angular se logra integrando la función $\omega(t)$ desde 0 a t :

$$\theta(t) = \int_0^t \omega(t)dt + \theta(0) \quad (2.9)$$

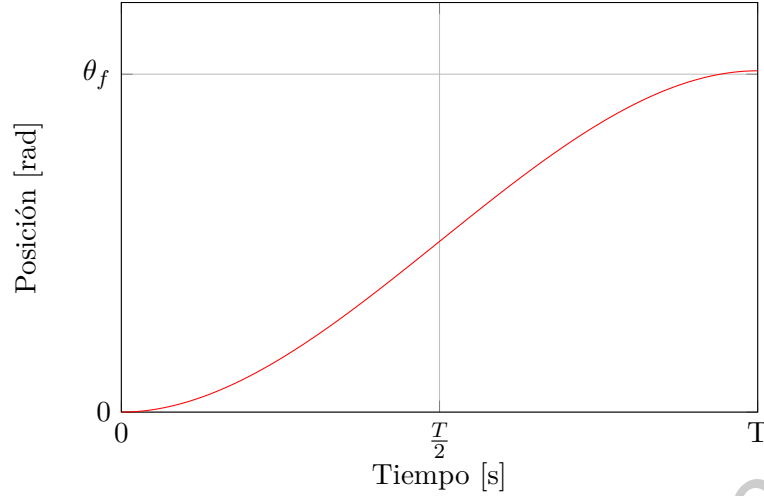


Figura 2.3: Curva de posición para el perfil parabólico, $\theta(t) = \frac{-at^3}{3T} + \frac{at^2}{2}$.

La curva de posición es de tercer grado y se encuentra dada por:

$$\theta(t) = \frac{-at^3}{3T} + \frac{at^2}{2}, \quad \theta(0) = 0 \quad (2.10)$$

La posición final se obtiene al evaluar $\theta(t)$ en T :

$$\theta_f = \theta(T) \quad (2.11)$$

y al resolver obtenemos:

$$\theta_f = \frac{2aT^2}{12} \quad (2.12)$$

Para fines de aplicación es conveniente definir la ecuación (2.12) en términos de la velocidad máxima:

$$\theta_f = \frac{2T}{3} \omega_{max} \quad (2.13)$$

La constante de aceleración puede ser despejada de (2.8):

$$a = \frac{4\omega_{max}}{T} \quad (2.14)$$

y T de la ecuación (2.13)

$$T = \frac{3\theta_f}{2\omega_{max}} \quad (2.15)$$

Con el desarrollo de estas ecuaciones se consigue que el tiempo que el perfil tarda en alcanzar la posición deseada y la aceleración máxima que el motor tendrá dependan únicamente de la posición final que el usuario asigne y la velocidad máxima que el motor pueda alcanzar. En la implementación del perfil parabólico (en su forma digital) los valores T , a y $m = \frac{-2a}{T}$ servirán como coeficientes para calcular de forma iterativa las diferentes posiciones para cada instante de tiempo a través de la integración numérica que se abordará en el siguiente capítulo.

2.1.2 Generador del perfil trapezoidal de forma analítica

Siendo que el perfil trapezoidal de velocidad es una función seccionada en 2 rectas de primer grado y un valor constante 0, la función que representa la aceleración de este perfil está dada también por una función seccionada en valores constantes como se muestra en la Figura 2.4.

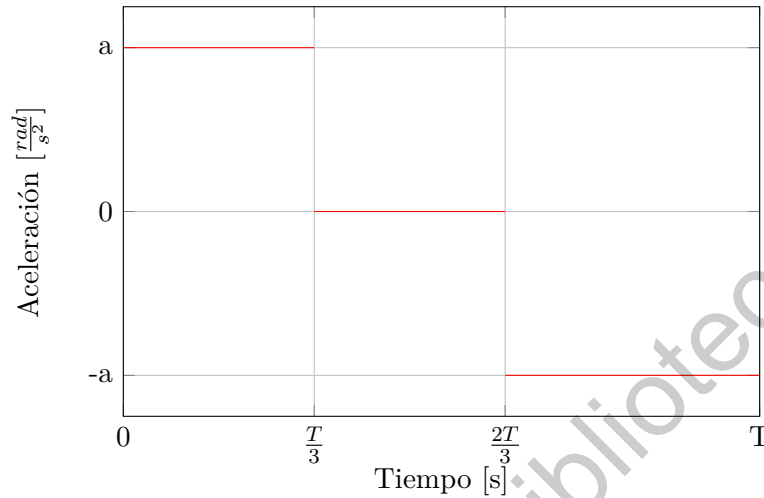


Figura 2.4: Función de aceleración $\alpha(t)$ para el perfil trapezoidal representada en (2.16).

Obtener las funciones que describen la velocidad y posición del perfil trapezoidal requiere de una integración por partes para los intervalos de tiempo establecidos en la función de aceleración, que como puede observarse en la Figura 2.4 están dados en la primera y segunda tercera parte del total del tiempo (pero podrían modificarse y experimentar con diferentes geometrías del trapecio). La función que representa la aceleración del perfil trapezoidal está dada de la siguiente manera:

$$\alpha(t) = \begin{cases} a & 0 \leq t \leq \frac{T}{3}, \\ 0 & \frac{T}{3} \leq t \leq \frac{2T}{3}, \\ -a & \frac{2T}{3} \leq t < T. \end{cases} \quad (2.16)$$

La primera recta de velocidad se obtiene integrando el valor de la aceleración para el intervalo $0 < t \leq \frac{T}{3}$:

$$\omega(t) = \int_0^t \alpha(t) dt + \omega(0) \quad (2.17)$$

El resultado es la primera recta creciente de velocidad:

$$\omega(t) = at, \quad \omega(0) = 0 \quad (2.18)$$

que al ser evaluada en $\frac{T}{3}$ representa la velocidad máxima del motor:

$$\omega_{max} = \omega\left(\frac{T}{3}\right) \quad (2.19)$$

y que da como resultado

$$\omega_{max} = \frac{aT}{3} \quad (2.20)$$

En el intervalo $\frac{T}{3} < t \leq \frac{2T}{3}$ se resuelve la integral:

$$\omega(t) = \int_{\frac{T}{3}}^t \alpha(t)dt + \omega\left(\frac{T}{3}\right) \quad (2.21)$$

y cuyo resultado es:

$$\omega(t) = \frac{aT}{3} \quad (2.22)$$

En el intervalo final $\frac{2T}{3} < t \leq T$ se resuelve la integral:

$$\omega(t) = \int_{\frac{2T}{3}}^t \alpha(t)dt + \omega\left(\frac{2T}{3}\right) \quad (2.23)$$

y se obtiene:

$$\omega(t) = -at + aT \quad (2.24)$$

Es así que la función seccionada de velocidad queda representada de la siguiente manera:

$$\omega(t) = \begin{cases} at & 0 \leq t \leq \frac{T}{3}, \\ \frac{aT}{3} & \frac{T}{3} \leq t \leq \frac{2T}{3}, \\ -at + aT & \frac{2T}{3} \leq t < T. \end{cases} \quad (2.25)$$

y cuya gráfica se encuentra representada de en la Figura 2.5

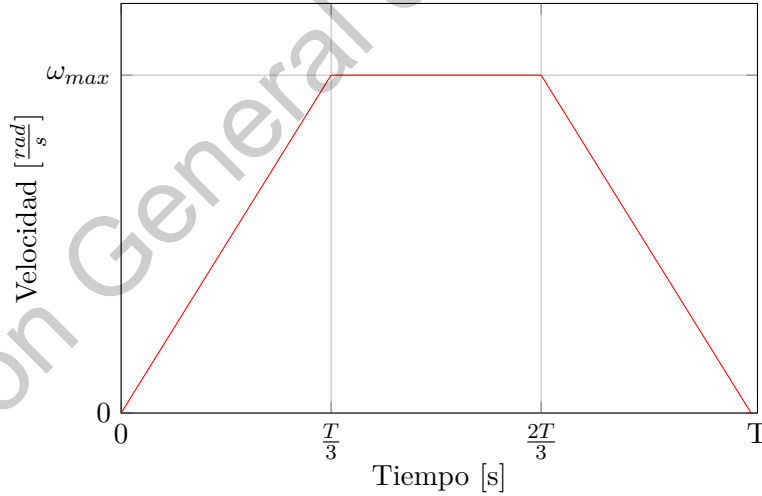


Figura 2.5: Función de velocidad $\omega(t)$ para el perfil trapezoidal representada en (2.25).

Obtener la función de posición angular requiere el mismo procedimiento de integración por partes utilizado para la función de velocidad. Para el intervalo $0 < t \leq \frac{T}{3}$:

$$\theta(t) = \int_0^t \omega(t)dt + \theta(0) \quad (2.26)$$

se resuelve:

$$\theta(t) = \frac{at^2}{2}, \quad \theta(0) = 0 \quad (2.27)$$

En el intervalo intermedio $\frac{T}{3} < t \leq \frac{2T}{3}$ se resuelve la integral:

$$\theta(t) = \int_{\frac{T}{3}}^t \omega(t)dt + \theta\left(\frac{T}{3}\right) \quad (2.28)$$

que da como resultado:

$$\theta(t) = \frac{aT}{3}t - \frac{aT^2}{18} \quad (2.29)$$

Para el último intervalo $\frac{2T}{3} < t \leq T$ la integral que se resuelve es:

$$\theta(t) = \int_{\frac{2T}{3}}^t \omega(s)dt + \theta\left(\frac{2T}{3}\right) \quad (2.30)$$

con solución:

$$\theta(t) = -\frac{at^2}{2}t + atT - \frac{5aT^2}{18} \quad (2.31)$$

Así la función seccionada de velocidad es representada de la siguiente manera:

$$\theta(t) = \begin{cases} \frac{at^2}{2} & 0 \leq t \leq \frac{T}{3}, \\ \frac{aT}{3}t - \frac{aT^2}{18} & \frac{T}{3} \leq t \leq \frac{2T}{3}, \\ -\frac{at^2}{2}t + atT - \frac{5aT^2}{18} & \frac{2T}{3} \leq t < T. \end{cases} \quad (2.32)$$

La gráfica que representa la curva de posición está dada en la Figura 2.6

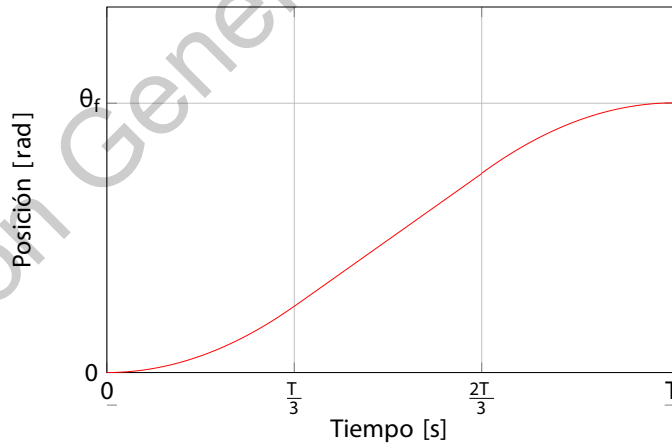


Figura 2.6: Función de posición $\theta(t)$ para el perfil trapezoidal representada en (2.32).

La posición final se obtiene al evaluar $\theta(t)$ en T :

$$\theta_f = \theta(T) \quad (2.33)$$

y al resolver obtenemos:

$$\theta_f = \frac{2aT^2}{9} \quad (2.34)$$

Es conveniente factorizar a la expresión (2.34) en el producto de $\frac{aT}{3}$ por $\frac{2T}{3}$ para así poder sustituir con la ecuación (2.20) y describir la posición final en términos de la velocidad máxima y el periodo de tiempo.

$$\theta_f = \frac{2T}{3}\omega_{max} \quad (2.35)$$

De la misma ecuación podemos despejar T :

$$T = \frac{3\theta_f}{2\omega_{max}} \quad (2.36)$$

y de la ecuación (2.20) despejamos la constante de aceleración:

$$a = \frac{3\omega_{max}}{T} \quad (2.37)$$

Así como con el perfil parabólico, los coeficientes obtenidos en función de la velocidad máxima y la posición final indicada por el usuario servirán para el cálculo iterativo en el sistema discreto del siguiente capítulo.

2.1.3 Comparación del consumo de energía entre perfiles

En [17] se describe el efecto que tiene el consumo de energía de máquinas eléctricas en el costo de producción en la industria, y establece que una correcta planeación de trayectorias representa menor desgaste al meacnismo y menor pérdida de energía. Por otro lado en [18] se propone que la conservación de la energía puede ser alcanzada encontrando mejores caminos en cortas y largas trayectorias, evitando frecuentes cambios de aceleración y sentido, y utilizando motores más eficientes. En este trabajo, las características que son usadas para comparar los perfiles de velocidad son: el tiempo en que alcanzan la posición deseada y la energía que consumen para seguir una trayectoria. En las funciones desarrolladas para cada perfil se observa que las ecuaciones (2.15) y (2.36) son iguales y representan el tiempo que cada perfil tardará en completar la trayectoria asignada; podemos concluir que bajo la misma velocidad máxima (dada por el motor) y con una misma posición final (asignada por el usuario) ambos perfiles completarán su trayectoria al mismo tiempo. Es entonces que la principal diferencia entre ambos perfiles es el consumo de energía.

Una de las principales ventajas del perfil parabólico sobre el trapezoidal es el menor consumo de energía que el movimiento del servo-mecanismo requiere. Para demostrar esto es necesario asociar las funciones de aceleración de cada perfil con las ecuaciones de energía relativas a un servo-mecanismo. Se parte de la ley de rotación de Newton (equivalente rotacional de la segunda ley de Newton) [19]:

$$\tau_g(t) = J \frac{d\omega(t)}{dt} + \tau_f \quad (2.38)$$

donde $\tau_g(t)$ es la función que entrega el torque generado por el motor, J es la inercia y τ_f es el torque debido a la fricción. Por otra parte tenemos que el torque en un motor eléctrico está en función de la corriente $i(t)$ que circula por el mismo:

$$\tau_g(t) = K_t i(t) \quad (2.39)$$

donde K_t es la constante de proporcionalidad que relaciona la corriente con el par del motor. Podemos así despejar a la corriente como una función del torque:

$$i(t) = \frac{\tau_g(t)}{K_t} \quad (2.40)$$

De la teoría de circuitos eléctricos [20] sabemos que la potencia instantánea de un circuito está dada por:

$$P(t) = i^2(t)R \quad (2.41)$$

donde R es la resistencia eléctrica. La energía consumida en toda la trayectoria está representada por el área bajo la curva de la función de potencia, dicha área es calculada mediante una integral que va desde 0 a T .

$$E = \int_0^T P(t)dt \quad (2.42)$$

Sustituyendo la potencia con (2.41) y posteriormente la corriente con (2.40) tenemos:

$$E = \frac{R}{K_t^2} \int_0^T \tau_g^2 dt \quad (2.43)$$

Nuevamente reemplazando (2.38) en la función de torque:

$$E = \frac{R}{K_t^2} \int_0^T \left(J \frac{d\omega(t)}{dt} + \tau_f \right)^2 dt \quad (2.44)$$

Resolviendo los cuadrados:

$$E = \frac{R}{K_t^2} \int_0^T \left[J^2 \left(\frac{d\omega(t)}{dt} \right)^2 + 2J \frac{d\omega(t)}{dt} \tau_f + \tau_f^2 \right] dt \quad (2.45)$$

Es conveniente separar la ecuación de energía en un término para cada integral:

$$E = \frac{R}{K_t^2} \left[J^2 \int_0^T \left(\frac{d\omega(t)}{dt} \right)^2 dt + 2J\tau_f \int_0^T \frac{d\omega(t)}{dt} dt + \tau_f^2 \int_0^T dt \right] \quad (2.46)$$

Tenemos así a la Energía total consumida dada por E_1 , E_2 y E_3 respectivamente. Encontramos que para determinar E_1 es necesario resolver la integral del cuadrado de la aceleración angular $\alpha(t)$. Es así como relacionamos el comportamiento de nuestros perfiles con el consumo energético.

$$E_1 = \frac{RJ^2}{K_t^2} \int_0^T \alpha^2(t)dt \quad (2.47)$$

Sabiendo que la velocidad angular de 0 a T es igual a 0 podemos establecer que E_2 es también 0.

$$E_2 = \frac{2RJ\tau_f}{K_t^2} \int_0^T \alpha^2(t)dt = 0 \quad (2.48)$$

El consumo E_3 es debido al torque generado por la fricción y solo será diferente en cada perfil dependiendo del tiempo transcurrido para alcanzar la posición final, pero debido a que el tiempo T es el mismo para el perfil trapezoidal y parabólico E_3 también lo será.

$$E_3 = \frac{R\tau_f^2}{K_t^2} \int_0^T dt = \frac{R\tau_f^2 T}{K_t} \quad (2.49)$$

Por lo anterior, el estudio en la diferencia de energía entre perfiles solo será abordado a través de E_1 .

2.1.3.1 Consumo de energía del perfil trapezoidal.

En el caso del perfil trapezoidal sabemos que la posición final puede estar en función de la aceleración y el tiempo como se muestra en la ecuación: (2.34): Despejamos la constante de aceleración:

$$a = \frac{9\theta_f}{2T^2} \quad (2.50)$$

Sabemos que la función de la aceleración para el perfil trapezoidal es una función por partes. Sustituyendo (2.50) en (2.16) y elevando al cuadrado obtenemos:

$$\alpha^2(t) = \begin{cases} \frac{81\theta_f^2}{4T^2} & 0 \leq t \leq \frac{T}{3}, \\ 0 & \frac{T}{3} \leq t \leq \frac{2T}{3}, \\ \frac{81\theta_f^2}{4T^2} & \frac{2T}{3} \leq t < T. \end{cases} \quad (2.51)$$

Podemos expresar a E_1 como las integrales por partes de las constantes de aceleración:

$$E_1 = \frac{RJ^2}{K_t^2} \left(\int_0^{\frac{T}{3}} \frac{81\theta_f^2}{4T^4} dt + \int_{\frac{2T}{3}}^T \frac{81\theta_f^2}{4T^4} dt \right) \quad (2.52)$$

Separando las constantes de las integrales:

$$E_1 = \frac{81\theta_f^2 RJ^2}{4T^4 K_t^2} \left(\int_0^{\frac{T}{3}} dt + \int_{\frac{2T}{3}}^T dt \right) \quad (2.53)$$

Resolviendo las integrales y simplificando:

$$E_1 = \frac{81\theta_f^2 RJ^2}{4T^4 K_t^2} \left(\frac{T}{3} + \left(T - \frac{2T}{3} \right) \right) \quad (2.54)$$

Finalmente tenemos E_1 para el perfil trapezoidal.

$$E_1 = \frac{27\theta_f^2 RJ^2}{2T^3 K_t^2} \quad (2.55)$$

2.1.3.2 Consumo de energía del perfil parabólico.

En el caso del perfil parabólico tenemos a la posición final dada por (2.12) y al despejar la constante de aceleración obtenemos:

$$a = \frac{6\theta_f}{T^2} \quad (2.56)$$

Al sustituir (2.56) en la aceleración angular dada por (2.4) obtenemos:

$$\alpha(t) = -\frac{12\theta_f}{T^3} t + \frac{6\theta_f}{T^2} \quad (2.57)$$

Se eleva al cuadrado $\alpha(t)$ para poder sustituirla en la ecuación de E_1

$$\alpha^2(t) = \left[\frac{-6(2\theta_f t - \theta_f T)}{T^3} \right]^2 \quad (2.58)$$

Resolviendo la potencia:

$$\alpha^2(t) = \frac{36(4\theta_f^2 t^2 - 4\theta_f^2 tT + \theta_f^2 T^2)}{T^6} \quad (2.59)$$

Sustituyendo en E_1

$$E_1 = \frac{36\theta_f^2 R J^2}{T^6 K_t^2} \left(4 \int_0^T t^2 dt - 4T \int_0^T t dt + T^2 \int_0^T dt \right) \quad (2.60)$$

Simplificando las operaciones

$$E_1 = \frac{36\theta_f^2 R J^2}{T^6 K_t^2} \left(\frac{4T^3}{3} - 2T^3 + T^3 \right) \quad (2.61)$$

obtenemos E_1 para el perfil parabólico de velocidad:

$$E_1 = \frac{36\theta_f^2 R J^2}{T^6 K_t^2} \left(\frac{T^3}{3} \right) = \frac{12\theta_f^2 R J^2}{T^3 K_t^2} \quad (2.62)$$

Al comparar las E_1 en ambos perfiles, (2.62) y (2.55), podemos observar que los mismos coeficientes están presentes en las dos ecuaciones de energía y además elevados a la misma potencia; la única diferencia es la constante numérica que los multiplica: para el perfil trapezoidal es 13.5 y para el parabólico es 12. Esta diferencia es una forma directa de demostrar que teóricamente el perfil trapezoidal consume un 12.5% más energía que el perfil parabólico.

2.1.4 Seguimiento de trayectoria con un controlador proporcional

En [21] se establece que las trayectorias dinámicas de vehículos autónomos requieren que el sistema siempre sea retroalimentado por los sensores que perciben el entorno del automóvil para así evitar colisiones. La respuesta a esta necesidad es crear un sistema en lazo cerrado y cuya retroalimentación sea recibida y procesada por un controlador.

En la introducción de [11] se explica el concepto general de un controlador usando el ejemplo de un cañón antiaéreo que debe ajustar su orientación para derribar un avión. Para conseguir esto, el cañón debe tener varios movimientos independientes que permitan ajustar su orientación (θ) dada por el movimiento de un motor eléctrico. Si se aplica un voltaje positivo al motor entonces este girará en sentido antihorario. Si el motor recibe un voltaje negativo este girará en el sentido horario y si no se le aplica un voltaje el motor eléctrico se detendrá. La posición del avión se determina mediante el uso de un radar y se usa este dato como el valor θ_d que se desea que la orientación θ del cañón alcance. Es decir, se desea conseguir que $\theta = \theta_d$ lo más rápido posible para una vez conseguido esto, disparar.

La relación del voltaje en el motor y el comportamiento antes descrito es la siguiente:

$$v = k_p(\theta_d - \theta) \quad (2.63)$$

donde k_p es una ganancia proporcional positiva. La operación es realizada con un equipo electrónico de baja potencia, por lo que es necesario utilizar un amplificador de potencia para proporcionar el voltaje necesario al motor eléctrico.

El diagrama de la Figura 2.7 ejemplifica el funcionamiento de este sistema:

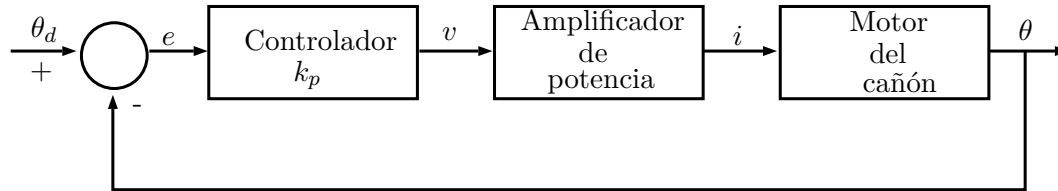


Figura 2.7: Sistema en lazo cerrado de un cañón anti-aéreo.

Nótese que la construcción del controlador requiere que la posición del cañón θ (también conocida como la salida) sea usada para generar el voltaje v (también conocido como la entrada) que se aplica al motor. La diferencia entre θ_d y θ es el error $e = \theta_d - \theta$ de la posición. Este hecho define los conceptos de retroalimentación y sistema de lazo cerrado. Una de las principales propuestas de este trabajo es que con el uso de perfiles de velocidad en un sistema digital, no es necesario implementar un controlador demasiado complejo para obtener un seguimiento de trayectoria preciso. Se realizarán tres principales experimentos para comprobar esta hipótesis: El primero consistirá en conectar la salida del perfil parabólico a la entrada del controlador y observar el seguimiento de la trayectoria, el segundo es similar al primero pero usando el perfil trapezoidal, y finalmente el tercero consistirá en remover los perfiles de velocidad y conectar la posición deseada por el usuario directamente al controlador.

2.1.5 Implementación de la electrónica digital en un solo chip

En [14] se argumenta que para el desarrollo de sistemas de planeación y seguimiento de trayectorias que tengan buen rendimiento y alta velocidad de cálculo, es conveniente una implementación *SOC*. Dicha implementación consiste en integrar todo lo necesario para que el sistema funcione en un solo *chip* que pueda ser fácilmente replicado y que pueda trabajar en paralelo con otros módulos. Por otro lado en [8] se expone que el diseño de unidades de control *CNC* ha sido comúnmente basado en microcontroladores o microporcesadores que requieren circuitos electrónicos muy sofisticados para ejecutar la función de control en la máquina *CNC*. Por otra parte, máquinas más modernas adoptan arquitecturas híbridas entre una *PC* y un *DSP*. En dichas arquitecturas la *PC* controla la operación de la *GUI* mientras que el *DSP* se encarga del computo de tareas de alta velocidad dedicadas al control de movimiento, así como de generar un *PWM* y finalmente la retroalimentación de un lazo cerrado de control. Desafortunadamente dichas arquitecturas presentan el inconveniente de no poder manipular el *hardware* fácilmente y no tener un periodo de muestreo tan rápido como el de otras tecnologías. Una arquitectura basada en un *FPGA* permite describir diferentes funcionalidades y replicarlas como bloques independientes que pueden ser ejecutados en paralelo y con una alta velocidad de procesamiento sin perder la implementación *SOC*. En [22] se exponen las principales ventajas de la arquitectura *NoC* (*Network on Chip*) entre las que destaca la re-configurabilidad de los sistemas embebidos *SOC* y que en parte puede ser lograda gracias a las características de reconfiguración que el *FPGA* tiene.

Para esta tesis se propone una arquitectura de trabajo en donde la operación de la *GUI* y el cálculo no iterativo de coeficientes será desarrollado en un *PC*; el resto de funcionalidad del sistema (perfiles de velocidad, controlador, display y comunicación UART), será implementado en un *FPGA* con una arquitectura *SOC*.

Dirección General de Bibliotecas UAQ

Dirección General de Bibliotecas UAQ

Metodología

En este capítulo se documenta la descripción e implementación del sistema de control de movimiento. Se aborda la explicación del diagrama a bloques del sistema para posteriormente analizar de forma modular cada uno de los bloques que lo componen. Se añade además un listado de los recursos de *software* y *hardware* necesarios para su implementación.

3.1 Especificación

Se muestra a continuación la lista de recursos de *software* y *hardware* que son requeridos para la implementación del sistema.

3.1.1 Software

- *Active HDL.*
- *Vivado Design Suite.*
- *EAGLE.*
- *Digilent Waveforms.*
- *MATLAB.*

3.1.2 Dispositivos eléctricos y electrónicos

- Tarjeta de desarrollo *Basys 3.*
- Driver de corriente *LMD18245.*
- Servomotor con reductor 131:1 y encoder de 8400 cuentas por revolución.
- Sensor de corriente *MAX471.*
- Computadora con programas instalados.

3.1.3 Equipo de laboratorio

- Osciloscopio *Analog Discovery*.
- Multímetro.
- Fuente de voltaje.
- Cautín.
- Componentes electrónicos consumibles (resistencias, capacitores, entre otros).

3.2 Diseño

3.2.1 Modelo del sistema

Como se describe en [11] modelar un sistema físico consiste en obtener y resolver ecuaciones que describan el comportamiento del sistema físico a través de sus variables. Para conseguirlo se modelan por separado los componentes del sistema y finalmente se conectan de acuerdo a su configuración y las leyes de la naturaleza que los rigen. En la Figura 3.1 se muestra el sistema propuesto para el presente trabajo:

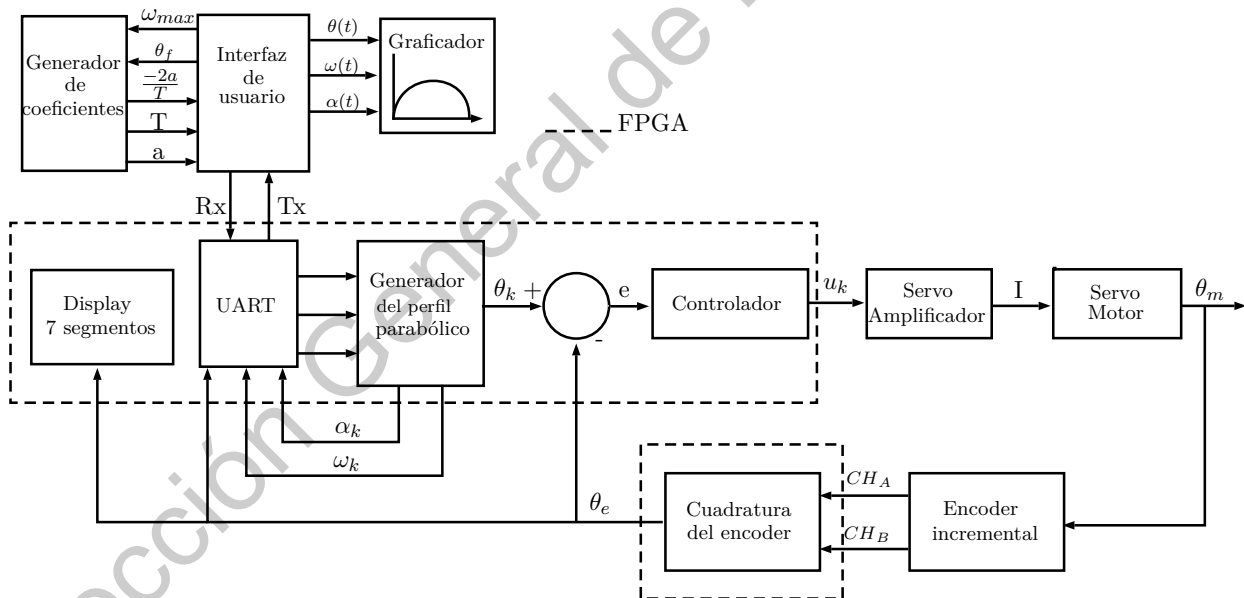


Figura 3.1: Modelo principal del sistema de control de movimiento.

El flujo de control comienza con la interfaz de usuario, en dónde se selecciona el tipo de perfil, la velocidad máxima y posición final deseada. Posteriormente el generador de coeficientes envía mediante un módulo de transmisión-recepción *UART* los coeficientes al *FPGA*. El generador del perfil calcula para cada instante de tiempo una porción de la posición final de acuerdo al perfil seleccionado. La diferencia entre la posición del generador del perfil y la posición actual del motor

es enviada al controlador quien a su vez multiplica esta diferencia por una ganancia K_p y envía este resultado saturado al driver del motor en formato digital y con un bit de signo. El driver induce en el motor una corriente proporcional al valor ingresado por el controlador y la hace fluir por el motor en el sentido que el bit de signo le especifique para seleccionar un sentido de giro. La posición actual del motor es medida con el encoder incremental del motor y procesada con un módulo de cuadratura descrito en el *FPGA*; el resultado del encoder es utilizado de tres formas en el sistema: como retroalimentación para el controlador, como valor decimal desplegado en un display de siete segmentos, y como vector de datos transmitido a la interfaz para graficar la trayectoria del motor.

3.3 Implementación

En esta sección se documenta el desarrollo e implementación de cada uno de los módulos que componen el sistema de control de movimiento.

3.3.1 Implementación del generador del perfil parabólico

3.3.1.1 Método numérico de integración del perfil parabólico

Para este trabajo, el cálculo de los perfiles de velocidad se ha desarrollado como el resultado de proponer una curva de aceleración que será integrada una vez para obtener la velocidad, y dos veces para obtener la posición. La implementación en el sistema digital ocurre bajo la misma lógica, pero en lugar de resolver mediante una integración analítica se utiliza una integración numérica para aproximar el valor deseado en cada instante de tiempo. Este cambio de método se debe a que un dispositivo basado en lógica digital, como lo es un *FPGA*, no está diseñado para procesar los algoritmos de la integración analítica (se puede lograr, pero requiere un desarrollo más complicado y un mayor consumo de recursos) y por otra parte, al tener un comportamiento modular y una muy alta velocidad de procesamiento (100 MHz), es preferible utilizar un método numérico para aproximar la solución; esto se debe a que los métodos numéricos, al ser de carácter iterativo, son en la mayoría de los casos operaciones muy sencillas, en donde mientras más pequeño sea el instante de tiempo con que se opere mayor precisión se consigue en el resultado. Sabemos que la integral de una función representa el área bajo la curva de la misma. La integración rectangular se consigue dividiendo el área bajo la curva en un n número de rectángulos y sumando sus áreas:

$$\int_a^b f(x)dx \approx (b - a)f(a) \quad (3.1)$$

en donde $(b - a)$ es el tiempo de muestreo y representa a su vez la base del rectángulo; la altura está dada por $f(a)$ que es el valor de la función para ese instante de tiempo.

La ecuación discreta de aceleración se obtiene al sustituir en (2.4) el valor de t por kT_s , en donde k es un valor entero que incrementa en 1 para cada instante de tiempo y T_s es el periodo de muestreo $(b - a)$.

$$\alpha(kT_s) = \frac{-2a}{T}kT_s + a \quad (3.2)$$

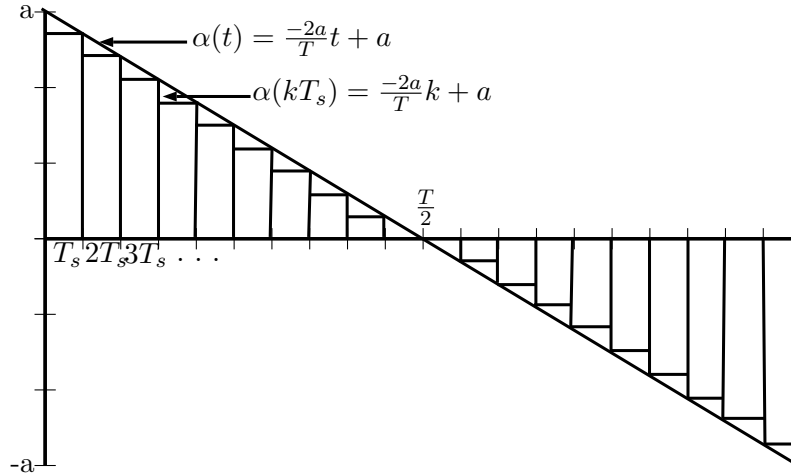


Figura 3.2: Integración rectangular de la aceleración del perfil parabólico.

Como se observa en la Figura 3.2, obtener la velocidad angular consiste en multiplicar T_s por el valor de la función en ese instante de tiempo $\alpha(kT_s)$, y para obtener la integral completa además es necesario sumar el resultado de los productos anteriores $\omega[(k-1)T_s]$:

$$\omega(kT_s) = \omega[(k-1)T_s] + \alpha(kT_s)T_s \quad (3.3)$$

La posición angular se obtiene con el mismo método:

$$\theta(kT_s) = \theta[(k-1)T_s] + \omega(kT_s)T_s \quad (3.4)$$

Con el propósito de simplificar las operaciones es conveniente seleccionar un periodo de muestreo unitario, en nuestro caso 1 ms, para que de esta forma el circuito diseñado en el *FPGA* no tenga que multiplicar la función por $(b-a)$. Las ecuaciones discretas quedarán expresadas como:

$$\alpha(kT_s) = \frac{-2a}{T}k + a \quad (3.5)$$

$$\omega(kT_s) = \omega(k-1) + \alpha(k) \quad (3.6)$$

$$\theta(kT_s) = \theta(k-1) + \omega(k) \quad (3.7)$$

Es importante mencionar que para que estas ecuaciones sean válidas la aceleración debe ser expresada en $\frac{rad}{ms^2}$, y la velocidad como $\frac{rad}{ms}$; la posición angular se expresa en radianes pero también podría ser expresada en grados o revoluciones.

3.3.1.2 Diseño del circuito lógico del perfil parabólico

El circuito implementado en el *FPGA* está descrito en la Figura 3.3. Las entradas de este componente son los coeficientes de a la curva de aceleración (obtenidos en el capítulo anterior), un reloj maestro CLK, una señal de arranque ST, y un reset maestro RST. El circuito se encarga de realizar las operaciones establecidas por la integración numérica y entregar a la salida una posición angular para cada instante de tiempo. Los componentes que integran a este circuito son:

- Una base de tiempo: Establece la frecuencia de las operaciones en 1 ms.
- Un contador programable: Incrementa su valor cada milisegundo para establecer el instante de tiempo en que el circuito se encuentra.
- Una máquina de estados: Controla el flujo secuencial de las operaciones.
- Un multiplicador: En conjunto con un sumador realiza el cálculo de la aceleración.
- Tres sumadores: Realizan las operaciones iterativas para aceleración, velocidad y posición.
- Cuatro registros de carga: De acuerdo a la máquina de estados se habilitan para almacenar los datos para cada instante de tiempo en k y $(k - 1)$.

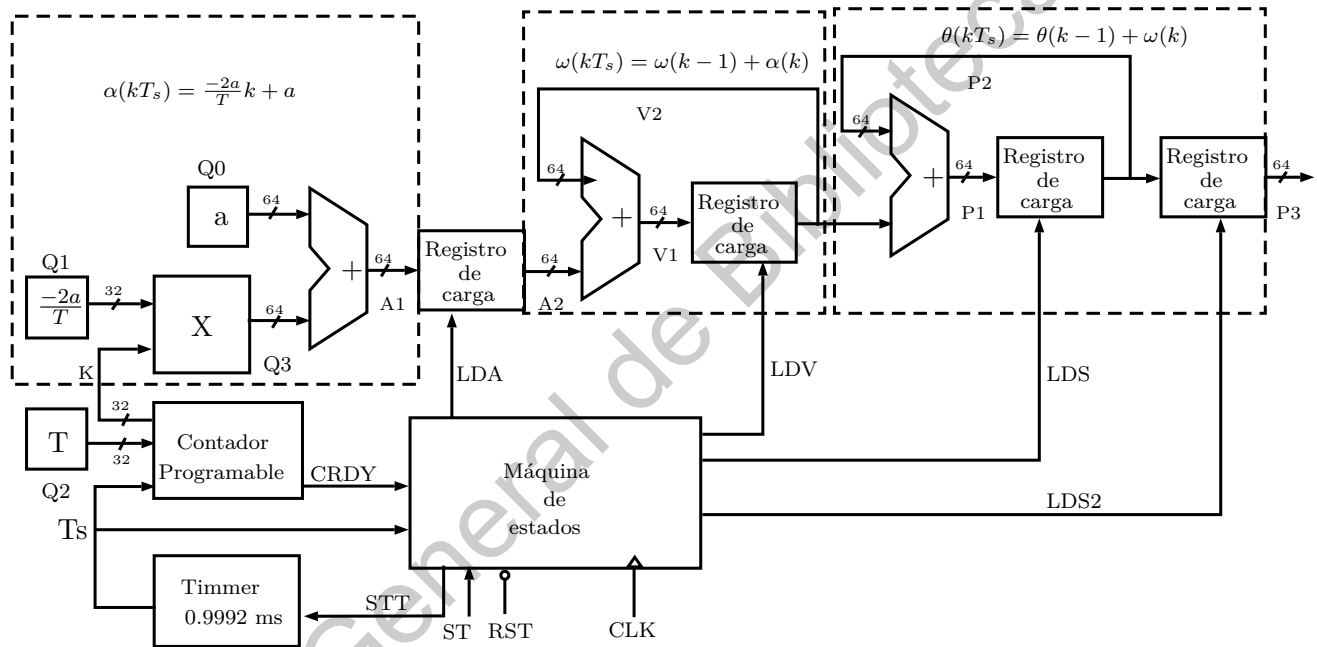


Figura 3.3: Diagrama de bloques del perfil parabólico discreto.

El flujo de las operaciones se encuentra dado por la máquina de estados como se observa en la Figura 3.4:

1. El estado $S0$ se encuentra a la espera de una señal de inicio ST dada por el usuario, una vez recibida se comienza el cálculo de los valores de aceleración, velocidad y posición.
2. En el estado $S1$ se envía la señal de inicio SST a la base de tiempo para que ésta cuente hasta 0.9992 ms y finalmente ponga la señal TS en alto para dar inicio a la carga de los registros.
3. Durante el estado $S2$ se habilita el primer registro de carga por medio de la señal LDA , este registro almacena el valor de la aceleración en ese instante de tiempo dado por la suma de $Q0$ más $Q3$.

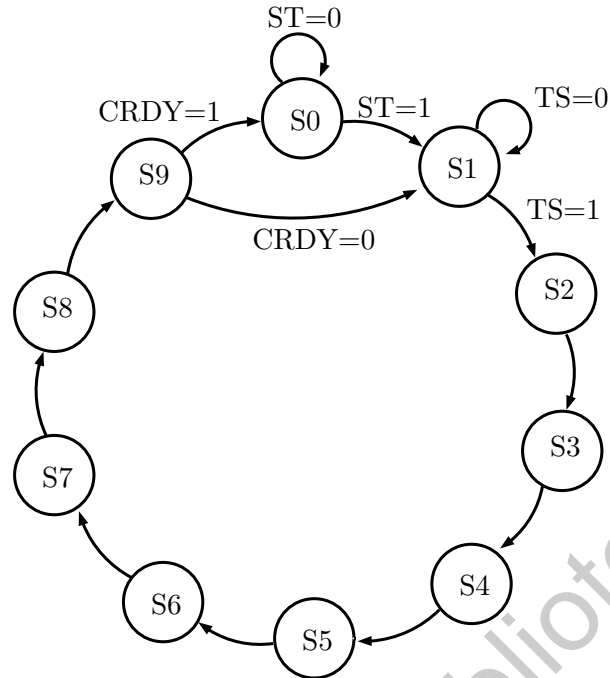


Figura 3.4: Máquina de estados del perfil parabólico discreto.

4. En los estados S3, S5, S7 y S9 las señales que habilitan los registros de carga son puestas en bajo para evitar registros secuenciados activos al mismo tiempo.
5. En el estado S4 se habilita el registro que captura la velocidad angular para ese instante de tiempo y ocurre lo mismo para la posición en el estado S6.
6. En el estado S8 habilita el registro de carga que captura la última posición angular.
7. Finalmente con el estado S9 se ponen todas las señales en bajo y en caso de que la señal de entrada CRDY esté en bajo se repite el ciclo desde el estado S1, en caso contrario se regresa al estado S0. La señal CRDY estará en alto una vez que el contador programable detecte que ya fueron calculados los valores de aceleración, velocidad y posición para todos los instantes de tiempo desde 0 hasta T .

3.3.2 Implementación del generador del perfil trapezoidal

3.3.2.1 Método numérico de integración del perfil trapezoidal

En la Figura 3.5 puede observarse la función seccionada que describe la aceleración del perfil trapezoidal y que, como en el perfil parabólico, será integrada por medio del método rectangular. Las ecuaciones (3.6) y (3.7) son válidas también para este proceso dado que se seguirá tomando 1 ms como periodo de muestreo.

Cuadro 3.1: Señales de la máquina de estados del perfil parabólico discreto.

ESTADO	STT	LDA	LDV	LDS	LDS2
S0	0	0	0	0	0
S1	1	0	0	0	0
S2	0	1	0	0	0
S3	0	0	0	0	0
S4	0	0	1	0	0
S5	0	0	0	0	0
S6	0	0	0	1	0
S7	0	0	0	0	0
S8	0	0	0	0	1
S9	0	0	0	0	0

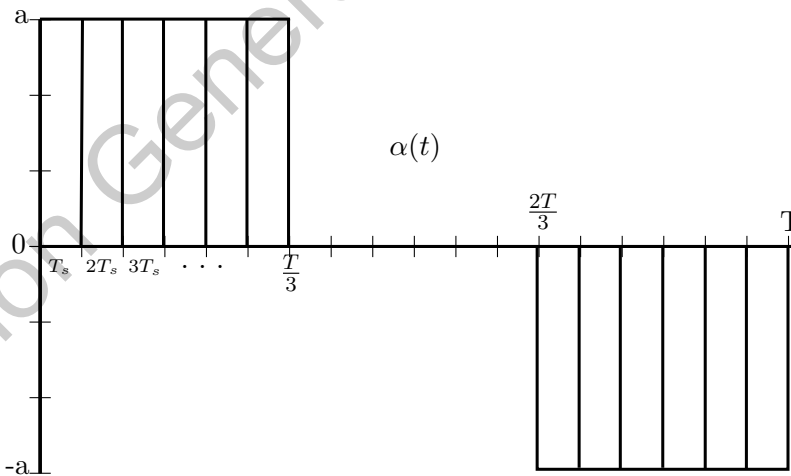


Figura 3.5: Integración rectangular de la aceleración del perfil trapezoidal.)

3.3.2.2 Diseño del circuito lógico del perfil trapezoidal

La Figura 3.6 ilustra el circuito lógico que se implementará en el *FPGA*. Las entradas del componente son los coeficientes de aceleración y periodo de tiempo, un reloj maestro *CLK*, una señal de arranque *ST* y un reset maestro *RST*. Con este circuito es posible realizar la integración rectangular que nos permite obtener la posición angular del perfil partiendo de su aceleración. Los componentes de circuito son:

1. Una base de tiempo: Establece el periodo de muestreo en 1 ms.
2. Dos contadores programables: El primero incrementa su valor cada milisegundo para establecer el instante de tiempo en que se encuentra el circuito; el segundo contador indica en qué tercera parte del trapecio se encuentra el periodo de tiempo y sirve como selector de las constantes de aceleración y tiempo que deberán usarse.
3. Una máquina de estados: Controla el flujo secuencial de las operaciones.
4. Dos sumadores: Realizan las operaciones iterativas para velocidad y posición.
5. Tres registros de carga: De acuerdo a la máquina de estados se habilitan para almacenar los datos para cada instante de tiempo en k y $(k - 1)$.

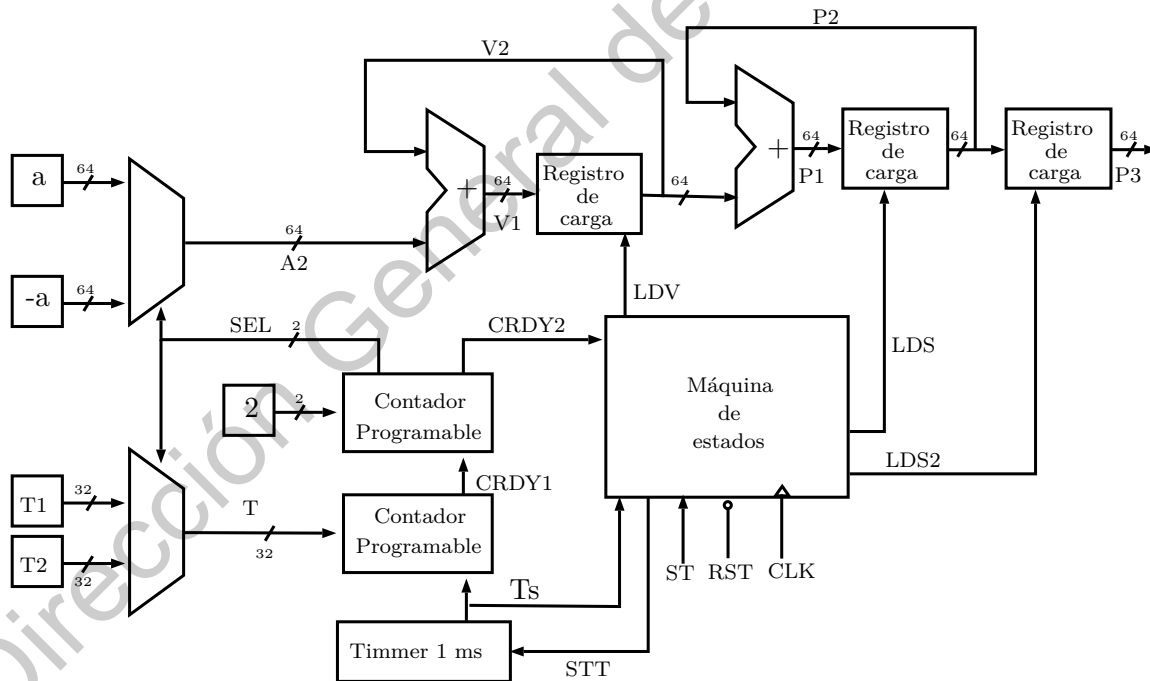


Figura 3.6: Diagrama de bloques del perfil trapezoidal discreto

El flujo de las operaciones se encuentra dado por la máquina de estados como se observa en la Figura 3.7:

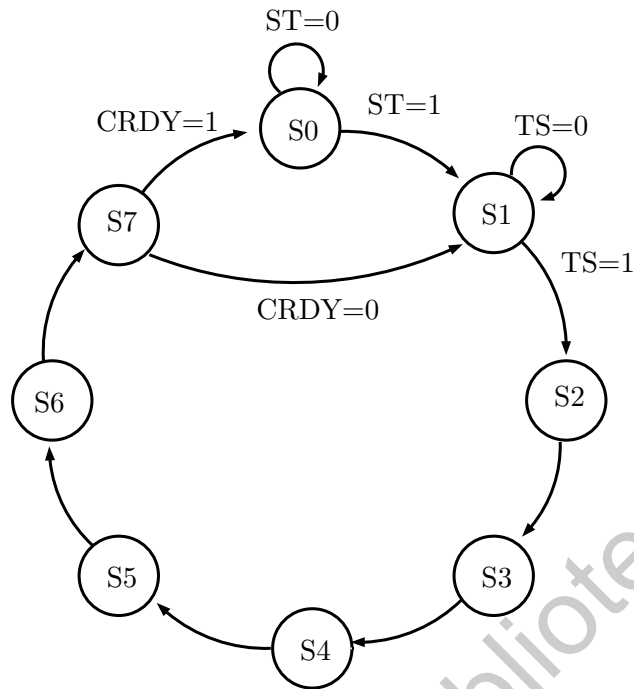


Figura 3.7: Máquina de estados del perfil trapezoidal.

Debe notarse que el comportamiento de la máquina de estados del perfil trapezoidal y el perfil parabólico es prácticamente el mismo, el flujo de los estados determina de igual manera la activación y desactivación de los registros de carga que almacenan los valores de velocidad y posición. La única diferencia entre ambas máquinas es que para el perfil trapezoidal no existe un registro de aceleración que deba ser activado y en consecuencia consta de sólo siete estados.

Cuadro 3.2: Señales de la máquina de estados del perfil trapezoidal.

ESTADO	STT	LDV	LDS	LDS2
S0	0	0	0	0
S1	1	0	0	0
S2	0	1	0	0
S3	0	0	0	0
S4	0	0	1	0
S5	0	0	0	0
S6	0	0	0	1
S7	0	0	0	0

3.3.3 Implementación del controlador proporcional

Para conseguir implementar el controlador proporcional propuesto en el capítulo anterior es necesario primero discretizarlo y así añadirlo al diseño en el *FPGA*. Además es importante mencionar que así como en los perfiles de velocidad el tiempo de muestreo T_s será de 1 ms y de esta forma puede ser removido del producto por k . Partiendo de la ecuación (2.63) podríamos también expresar la diferencia $(\theta_d - \theta)$ como el error $e(t)$ reescribir la ecuación como $u(t) = k_p e(t)$ y expresar a la ecuación como una función discreta para obtener:

$$u(kT_s) = k_p e(k), \quad k \in \mathbb{Z} \quad (3.8)$$

Para calcular los valores de una función discreta es conveniente expresarla a través de operaciones recurrentes. Para ello se debe sumar el incremento en la función y el valor calculado en el instante de tiempo inmediato anterior como se muestra:

$$u(kT_s) = \Delta u(k) + u(k-1) \quad (3.9)$$

Podemos además asociar a $u[(k-1)T_s]$ con la ecuación (3.8) y escribirla como:

$$u[(k-1)T_s] = k_p e(k-1) \quad (3.10)$$

Así mismo la diferencia $\Delta u(k)$ puede despejarse de (3.9) como $u(k) - u(k-1)$ y al sustituir los valores de nuestra función asociados con el controlador obtenemos:

$$\Delta u(kT_s) = k_p e(k) - k_p e(k-1) \quad (3.11)$$

Es así como al sustituir $\Delta u(k)$ en la ecuación (3.9) expresamos el cálculo del controlador como una simple suma de términos que el *FPGA* puede realizar sin mayor complicación:

$$u(kT_s) = k_p e(k) - k_p e(k-1) + u(k-1) \quad (3.12)$$

De aquí en adelante expresaremos a k_p como el coeficiente q_0 y a $-k_p$ como q_1 :

$$u(kT_s) = q_0 e(k) + q_1 e(k-1) + u(k-1) \quad (3.13)$$

La Figura 3.8 ilustra el circuito lógico del controlador. Las entradas del componente son: el error entregado por la diferencia entre la lectura del encoder y la posición deseada y los coeficientes q_0 y q_1 que representan la ganancia con que el controlador establece la corrección. Con este circuito se realizan las operaciones necesarias para recrear la ecuación (3.13) y así trazar la posición solicitada por el generador del perfil de velocidad. La salida del circuito se encuentra saturada con la finalidad de acoplar el resultado a una acción de control de 4 bits para el *driver* del motor. Los componentes del circuito son:

1. Seis registros de carga: Almacenan los valores de $e(k)$, $e(k-1)$, q_0 , q_1 , $u(k)$ y $u(k-1)$.

2. Un multiplexor: Asocia el valor del error al coeficiente correspondiente para que se multipliquen entre si de acuerdo a la ecuación (3.13).
3. Un multiplicador: Realiza el producto de los coeficientes con las funciones del error.
4. Un sumador: Suma todos los términos de la ecuación incluyendo a $u(k - 1)$
5. Una máquina de estados: Controla el flujo secuencial de las operaciones.
6. Un saturador: Simplifica el resultado a una interfaz de 4 bits.

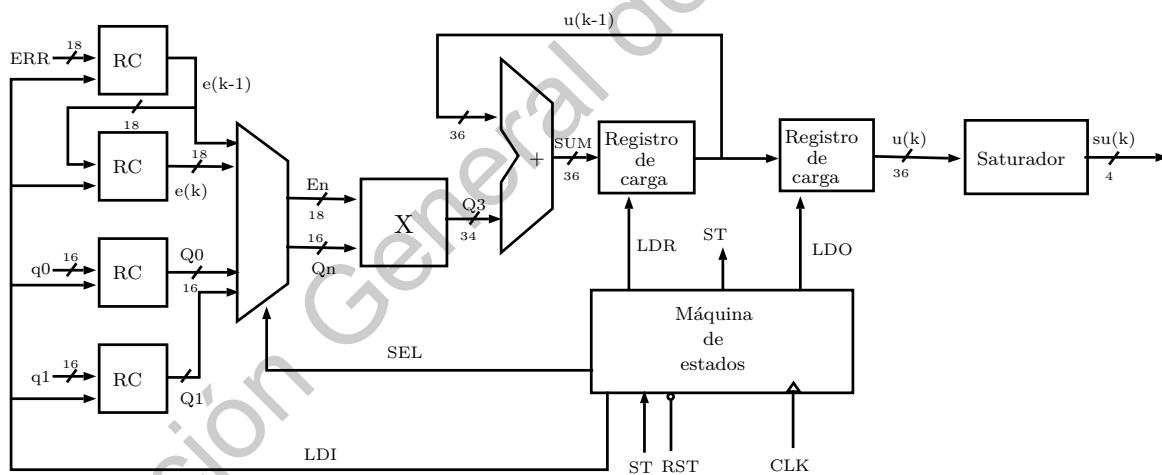


Figura 3.8: Controlador proporcional discreto.

El flujo de las operaciones se encuentra dado por la máquina de estados como se observa en la Figura 3.9:

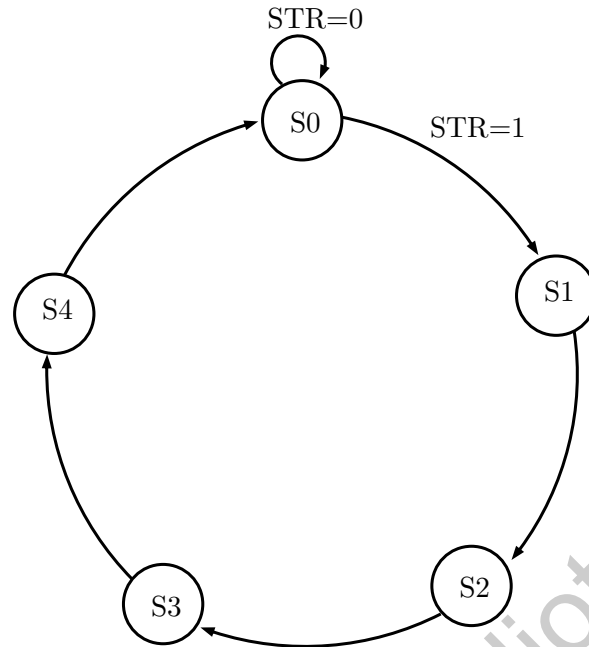


Figura 3.9: Máquina de estados del controlador proporcional.

1. El estado S_0 se encuentra a la espera de una señal de inicio STR dada por el usuario, una vez recibida se comienza el cálculo de los términos que componen a la salida $su(k)$. Además establece que el selector (SEL) del Multiplexor se encuentra en "00" lo que arroja una salida de $En = 0$ y $Qn = 0$.
2. En el estado S_1 se pone en alto la señal LDI que activa el registro del error (ERR) y de los coeficientes $e(k - 1)$, q_0 y q_1 .
3. Durante el estado S_2 se habilita el registro de carga que captura el valor de $e(k)$ por q_0 , dado que en este estado el selector cambia a "01" y establece la salida del Multiplexor en $En = e(k)$ y $Qn = q_0$.
4. En el estado S_3 se mantiene activo el registro de carga que captura la suma de $q_0e(k)$ más la multiplicación de q_1 por $e(k - 1)$ debido a que el selector (SEL) ahora establece la salida del Multiplexor en $En = e(k - 1)$ y $Qn = q_1$.
5. Con el estado S_4 se pone en alto la señal LDO que activa el registro de carga que captura la suma de los términos que componen a la salida $u(k)$.
6. Finalmente la palabra digital $u(k)$ es recortada por el saturador a un valor de 4 bits de resolución y 1 bit adicional para indicar el signo al driver del motor.

3.3.4 Implementación del servo-amplificador

Las principales características del servomotor utilizado para los experimentos de este trabajo se mencionan en la Tabla 3.4.

Cuadro 3.3: Señales de la máquina de estados del controlador proporcional.

ESTADO	LDI	LDR	LDO	RDY	SEL
S0	0	0	0	1	00
S1	1	0	0	0	00
S2	0	1	0	0	01
S3	0	1	0	0	10
S4	0	0	1	0	00

Cuadro 3.4: Principales características del motor utilizado para los experimentos.

Voltaje de operación	12V
Reducción	131:1
Máxima velocidad	80 RPM (Revoluciones Por Minuto)
Cuentas de encoder	8400 por revolución
Máxima corriente consumida	5A

De la misma forma los principales rangos de operación del *driver* LMD18245 se muestran en la Tabla 3.5.

Cuadro 3.5: Principales rangos de operación del LMD18245.

Temperatura	-40°C a +125°C
Voltaje de alimentación	+12V a +55V
Voltaje del <i>DAC</i>	0V a +5V
Máxima corriente continua	3A
Máximo pico de corriente	6A

En la Figura 3.10 se muestra la arquitectura de hardware para este trabajo. Este diagrama está principalmente enfocado en describir la funcionalidad del *driver* LMD18245 y su diagrama de conexiones con el motor, el *FPGA* y la instrumentación necesaria para hacerlo funcionar.

El acoplamiento del motor de *DC* con el controlador digital será logrado a través del *driver* LMD18245 cuyas especificaciones se encuentran en las referencias de este documento. La función principal del *driver* consiste en controlar el suministro de corriente que el motor de *DC* recibe en cada instante de tiempo y que modifica la velocidad del mismo. En la Tabla 3.6 se muestra el diagrama de pines más relevantes para este trabajo.

La corriente que el *driver* suministra al servo-motor está dada por el voltaje de referencia V_{REF} que a su vez es limitado de forma proporcional por el valor decimal de la palabra de 4 bits formada por los pines M4 a M1, en donde M4 es el bit más significativo. Esta referencia es sensada

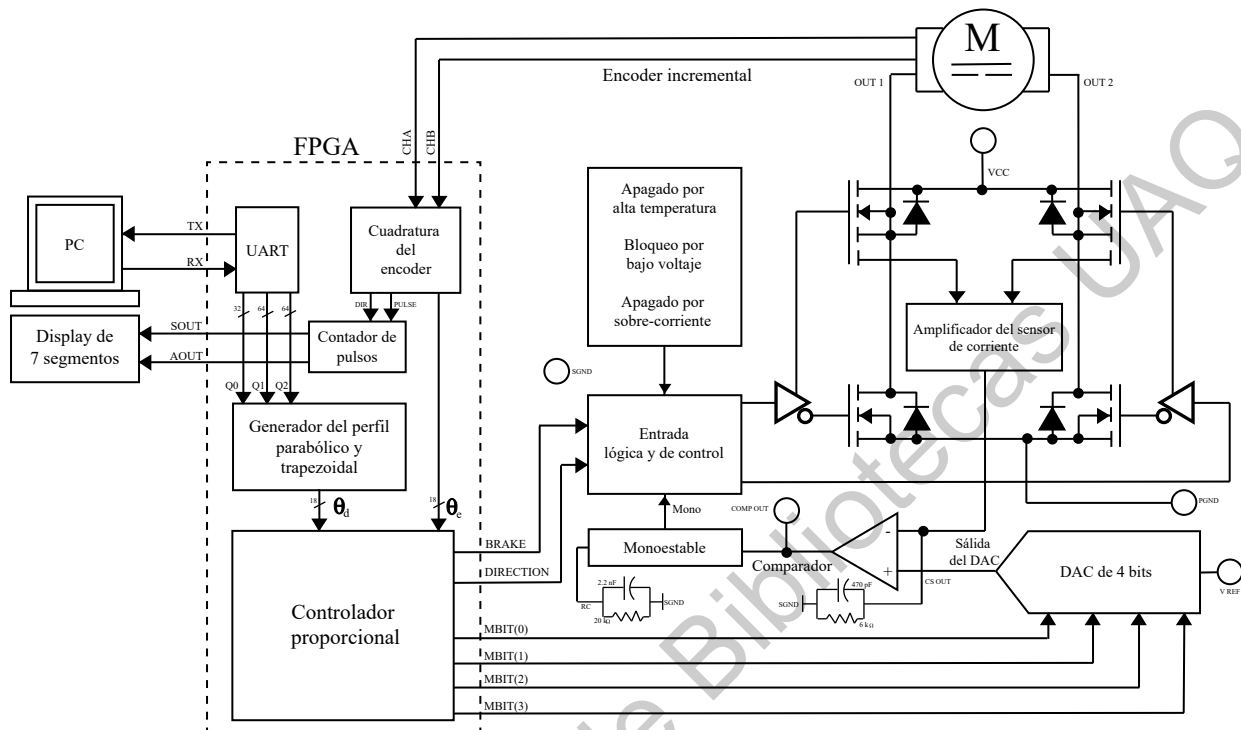


Figura 3.10: Arquitectura modular de hardware.

Cuadro 3.6: Diagrama de pines relevantes del LMD18245.

Pin	Señal	Tipo	Descripción
4,6,7,8	M4-M1	Entrada	Entradas digitales del DAC.
10	BRAKE	Entrada	Freno lógico del Driver
11	DIRECTION	Entrada	Establece el sentido de giro del motor (1 -> Horario)
14	DAC _{REF}	Entrada	Toma el voltaje de referencia del DAC en un rango de 0V a 5V
9	VCC	Entrada	Suministro de la potencia que moverá al motor
1	OUT1	Salida	Nodo de salida de la primera mitad del puente H
15	OUT2	Salida	Nodo de salida de la segunda mitad del puente H
13	CS OUT	Salida	Salida del amplificador del sensor de corriente

y amplificada por el pin *CS OUT* en combinación con la resistencia R_s . Los valores de corriente que se suministran al motor con $V_{REF} = 5V$ se encuentran en la Tabla 3.7 .

Cuadro 3.7: Valores de corriente suministrada al motor para cada valor decimal del *DAC*.

D	$R_s = 18.75k\omega$	$R_s = 9.375k\omega$	$R_s = 6.250k\omega$
0	0.00 A	0.00 A	0.00 A
1	0.07 A	0.13 A	0.20 A
2	0.13 A	0.27 A	0.40 A
3	0.20 A	0.40 A	0.60 A
4	0.27 A	0.53 A	0.80 A
5	0.33 A	0.67 A	1.00 A
6	0.40 A	0.80 A	1.20 A
7	0.47 A	0.93 A	1.40 A
8	0.53 A	1.07 A	1.60 A
9	0.60 A	1.20 A	1.80 A
10	0.67 A	1.33 A	2.00 A
11	0.73 A	1.47 A	2.20 A
12	0.80 A	1.60 A	2.40 A
13	0.87 A	1.73 A	2.60 A
14	0.93 A	1.87 A	2.80 A
15	1.00 A	2.00 A	3.00 A

Las referencias del LMD18245 indican 3 valores diferentes de resistencia R_s que proporcionan rangos diferentes de corriente máxima y mínima suministrada. La fórmula que relaciona estos valores es: $(V_{REF} \times D/16)/((250 \times 10^{-6}) \times R_s)$, en donde a valores más grandes de resistencia son menores los valores máximos de corriente y D es el valor decimal que regula la cantidad de corriente suministrada al motor. Con el objetivo de mantener siempre la posibilidad de alcanzar la corriente máxima del *driver* cuando cargas o motores más pesados lo demanden se decide dejar fija la resistencia de 6.250 k Ω .

Debido a que la corriente necesaria para vencer la resistencia del motor y provocar movimiento a la mínima velocidad es de 75 mA y alcanzar la velocidad nominal (sin carga) consume 150 mA, el voltaje de referencia puede ser menor a 5V. Se ajusta el voltaje a 1.8 V para aprovechar al máximo la resolución de 4 bits que el DAC proporciona y así tener cambios de velocidad más precisos. En caso de que al motor se le añadiera una carga o se reemplazara por un motor que demande más corriente solo es necesario reajustar el voltaje de referencia para aumentar el rango de corriente suministrada.

3.3.4.1 Instrumentación del *driver* y desarrollo del socket

Con la finalidad de reducir la cantidad de cables que existen entre el sistema de control embebido en el *FPGA* y el *driver* del motor, se decide fabricar un *PCB* que contenga toda la instrumentación necesaria para hacer funcionar el LMD18245 y al mismo tiempo conecte las salidas y

entradas del *FPGA* necesarias para hacer funcionar el sistema. El esquemático con los componentes de instrumentación que la tarjeta requiere para funcionar se muestra en la Figura 3.11.

Los periféricos y componentes de la tarjeta se indican en la Tabla 3.8 .

Cuadro 3.8: Valores de corriente suministrada al motor para cada valor decimal del *DAC*.

Componente	Función
LMD18245	Servo Amplificador
S1	Selector de bits manual M4-M1 cuando no se utilizan las señales del <i>FPGA</i>
R1	Resistencia <i>Pull down</i> para la selección del pin <i>BRAKE</i>
R2	Resistencia <i>Pull down</i> para la selección del pin <i>DIRECTION</i>
R3 a R6 A	Resistencias <i>Pull down</i> del Switch S1 para selección de bits manual M4-M1
MTR-1,2	Sáldidas del LMD18245 a las terminales del motor
R7, C4	Resistencia R_s y capacitor para el sensado de corriente en <i>CS OUT</i>
R8, C5	Resistencia y capacitor para el pulso monoestable cada 1.1(RC) segundos
C1	Capacitor para suavizar <i>VCC</i> del Driver
PWR	Conector de <i>VCC</i> .
AMS1117	Regulador de 5V para las entradas y salidas digitales
JP1,2,4,5	Tiras de pines que se conectan a las IO del <i>FPGA</i> .
JP1,2,4,5	Tiras de pines que se conectan a las IO del <i>FPGA</i> .
JP8	Tira de pines destinadas para el voltaje de referencia del <i>driver</i> .
JP6	Tira de pines destinada para conectar el motor y su encoder.
JP7	Tira de pines designada al BCD de 7 segmentos que indica el valor del encoder.
JP10	Conector de alimentación del regulador AMS1117 de 5V.

Las dimensiones de la tarjeta son muy similares a las del *FPGA* con la intención de ensamblar de arriba hacia abajo y que el sistema de control no utilice demasiado espacio. La distribución de pistas y componentes se muestra en la Figura 3.12.

El resultado de la tarjeta ensamblada al *FPGA* se muestra en la Figura 3.13. Se ha decidido utilizar algunos componentes de montaje superficial así como recubrimiento de mascarilla anti-soldante con la finalidad de compactar la distribución de componentes y aumentar su resistencia al desgaste.

3.3.5 Implementación de la Interfaz del Usuario

La interfaz del sistema de control tiene 3 funciones principales:

1. Permitir al usuario simular 4 diferentes perfiles de velocidad en donde podrá modificar: la velocidad máxima del motor (dada por sus especificaciones), la posición angular final y el tiempo de muestreo. Para cada valor ingresado por el usuario el simulador calcula un tiempo final T y una constante de aceleración para cada perfil que permiten graficar las curvas de aceleración, velocidad y posición durante el desplazamiento teórico.

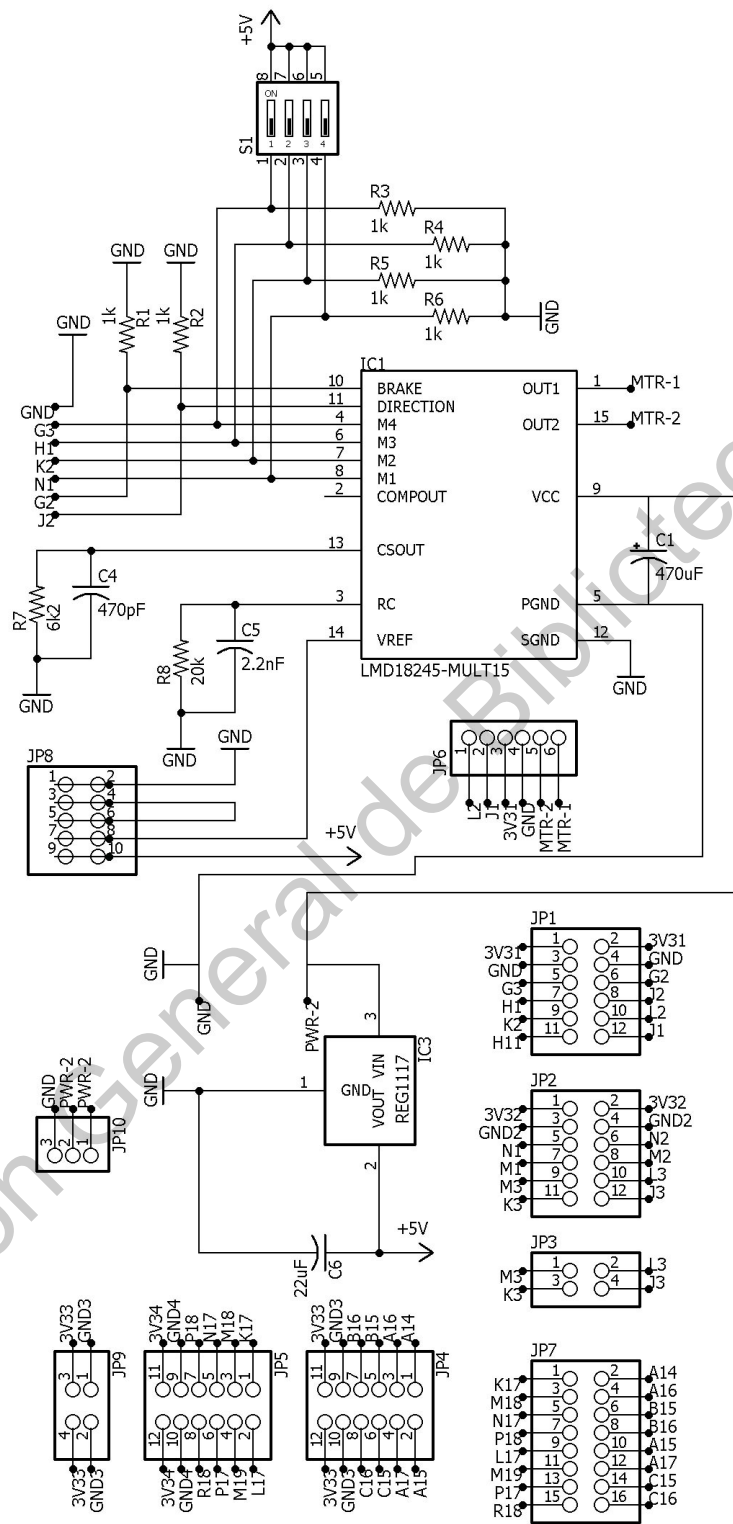


Figura 3.11: Esquemático del socket del *driver*.

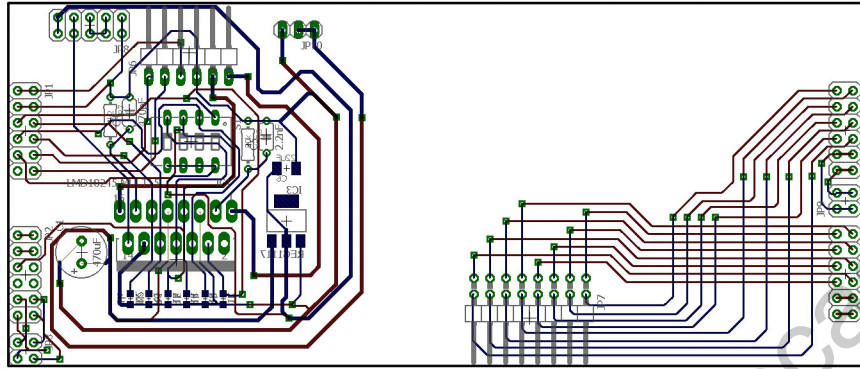


Figura 3.12: Distribución de pistas y componentes del socket del driver.

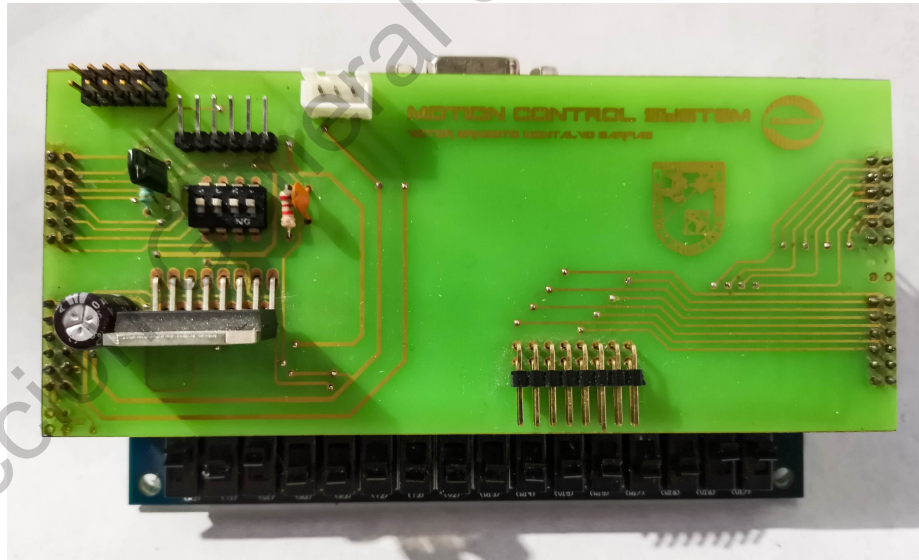


Figura 3.13: Resultado final del ensamble electrónico del *driver*.

- Una de las desventajas del *FPGA* es lo complejo que es la descripción de hardware necesaria para realizar divisiones; por tal motivo la interfaz calcula los coeficientes iniciales que el perfil descrito en el *FPGA* utiliza para realizar las multiplicaciones y sumas iterativas para cada posición angular. A través del protocolo RS232 la interfaz envía dichos coeficientes al *FPGA* en paquetes de 8 bits que conforman palabras de hasta 32 bits en formato de punto fijo. En la Tabla 3.9 se muestran los formatos que cada perfil con sus respectivos coeficientes.
- El propósito final de la interfaz es poder comparar los resultados reales con los calculados a través de los métodos numéricos en el simulador de la interfaz. Por tal motivo durante cada nueva posición angular ingresada, la interfaz recibe el vector de posiciones instantaneas que el encoder del motor cuenta para cada instante de tiempo; este vector puede ser comparado con el vector generado por el simulador y así probar la precisión del sistema de control.

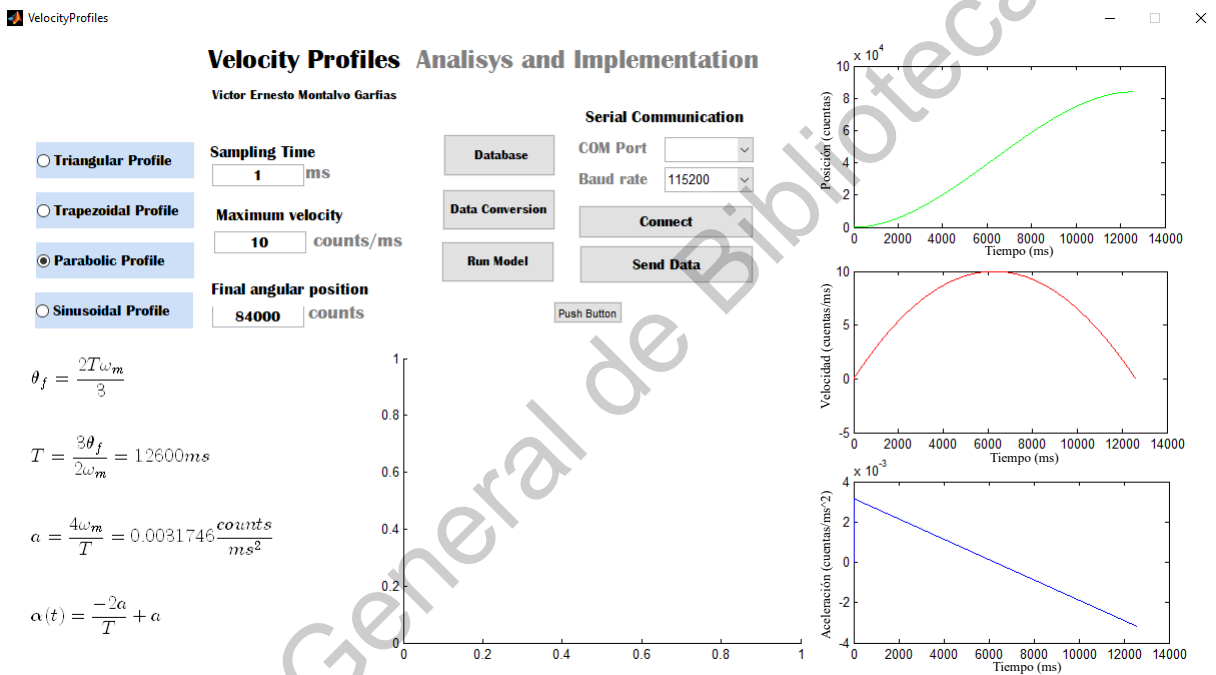


Figura 3.14: Interfaz gráfica desarrollada en *MATLAB*.

Cabe mencionar que la interfaz cuenta con un simulador para 4 perfiles, pero solo envía coeficientes al sistema de control para el perfil trapezoidal y parabólico.

Con la finalidad de facilitar la conversión de unidades para posición, velocidad y aceleración angular la interfaz cuenta con un convertidor que permite conocer los valores para radianes, grados, vueltas y cuentas para un encoder de 8400 cuentas por vuelta. La Figura 3.15 muestra la interfaz de esta opción.

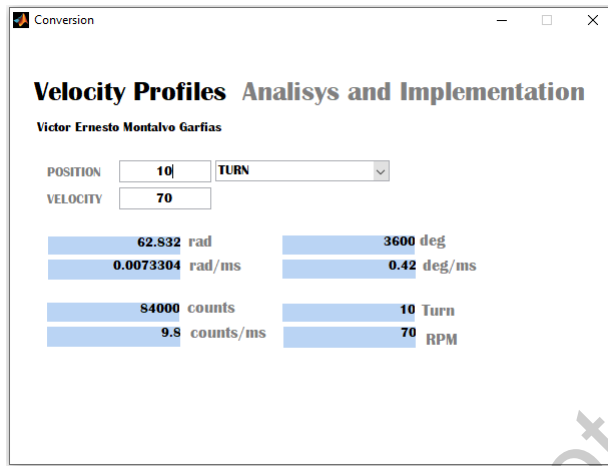


Figura 3.15: Convertidor de unidades.

Cuadro 3.9: Valor de los coeficientes en punto fijo para la interfaz y el *FPGA*.

Perfil	Señal	Formato punto fijo <i>FPGA</i>	Formato punto fijo interfaz
Trapezoidal	$a = \frac{3\omega_{max}}{T}$	33.31	3.31
Trapezoidal	$-a = \frac{3\omega_{max}}{T}$	33.31	3.31
Trapezoidal	$\frac{T}{3}$	32.0	32.0
Parabólico	$a = \frac{4\omega_{max}}{T}$	33.31	3.31
Parabólico	$\frac{-2a}{T}$	1.31	1.31
Trapezoidal y parabólico	$T = \frac{3\theta_f}{2\omega_{max}}$	32.0	32.0
Trapezoidal y parabólico	$\theta_f = \frac{2T}{3}\omega_{max}$	33.31	NA

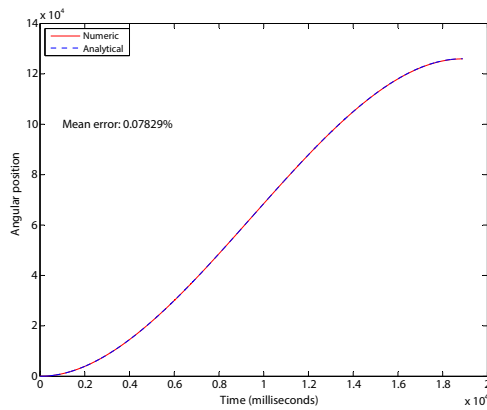
Resultados y discusión

4.1 Resultados

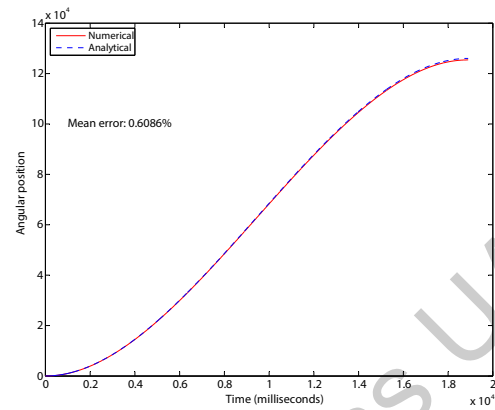
La evidencia audiovisual del proyecto funcional se encuentra en [23]. En este vídeo se muestra el funcionamiento del sistema desde la interacción del usuario con la interfaz y la forma en que se pueden realizar diversas pruebas para diferentes posiciones angulares. La finalidad de este vídeo es además servir como manual práctico para estudiantes, profesores o investigadores que decidan trabajar con el sistema para la enseñanza o la investigación en perfiles de velocidad.

4.1.1 Comparación del método analítico de integración con el método numérico

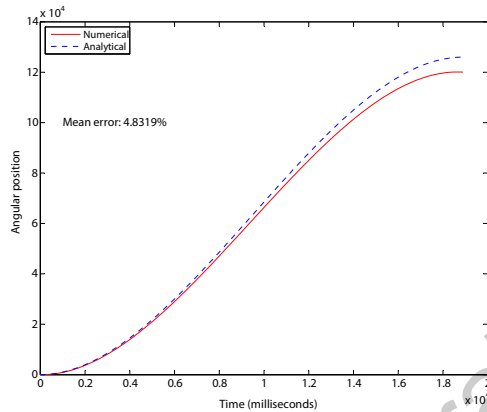
Antes de analizar los resultados logrados a través de *hardware* es conveniente estudiar el error que existe al calcular la posición angular con un método numérico y no uno analítico. Debido a que la precisión de un método numérico depende de las iteraciones que se lleven a cabo, se realiza el experimento con 15 vueltas del perfil parabólico y se compara con la posición obtenida a través de la ecuación analítica (2.10). Los resultado de esta comparación se muestran en la Figura 4.1.



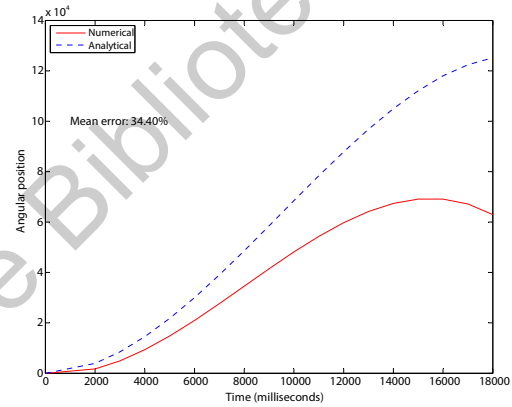
(a) Muestreo a 1 ms.



(b) Muestreo a 10 ms.



(c) Muestreo a 100 ms.



(d) Muestreo a 1000 ms.

Figura 4.1: Método analítico vs numérico para 15 vueltas en perfil parabólico.

La comparación fue realizada con muestreo cada 1, 10, 100 y 1000 ms. Es importante observar que incluso con un periodo de muestreo 10 veces más lento que el que se utilizó para este trabajo (1 ms) el error promedio se mantiene por debajo del 1%; de 100 ms hasta 1 s el error se vuelve más significativo. Es por ello que la velocidad de procesamiento en este sistema es de suma importancia para alcanzar los resultados más cercanos a los valores deseados.

4.1.2 Comparación del método numérico con la trayectoria trazada con el FPGA

Esta sección compara los resultados de movimiento angular de los perfiles parabólico y trapezoidal con las curvas teóricas que calcula la interfaz.

4.1.3 Resultados de la simulación

En esta sección se muestran los resultados de simular las señales que entran y salen del perfil parabólico descrito en el *FPGA*, por una parte en la Figura 4.2 se muestra la simulación con enfoque en observar la activación progresiva de los registros de carga y cómo esto produce un cambio en la posición final. En la Figura 4.3 se muestra la misma simulación pero con enfoque en observar los cambios en la aceleración, velocidad y posición.

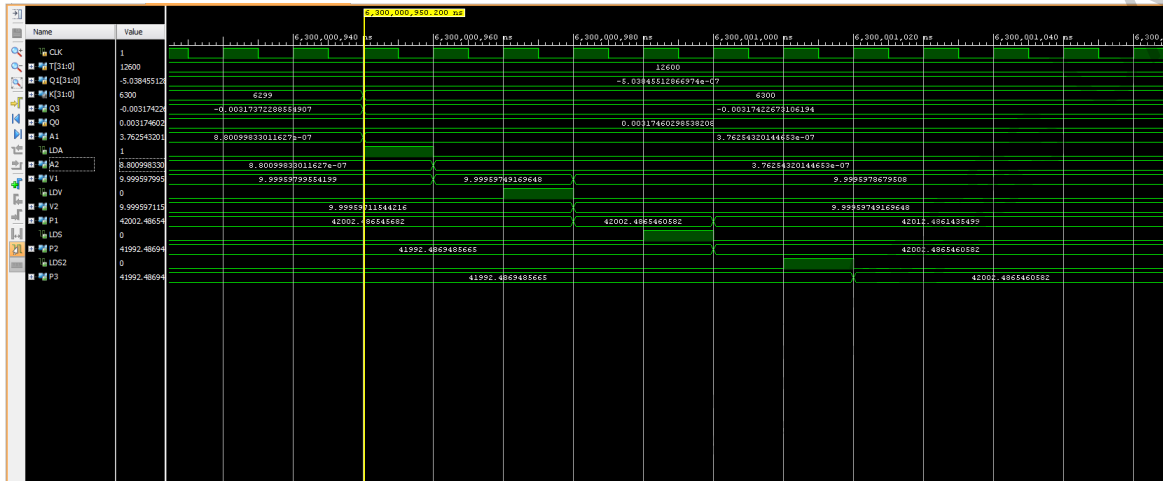


Figura 4.2: Simulación de la activación de los registros del perfil parabólico.

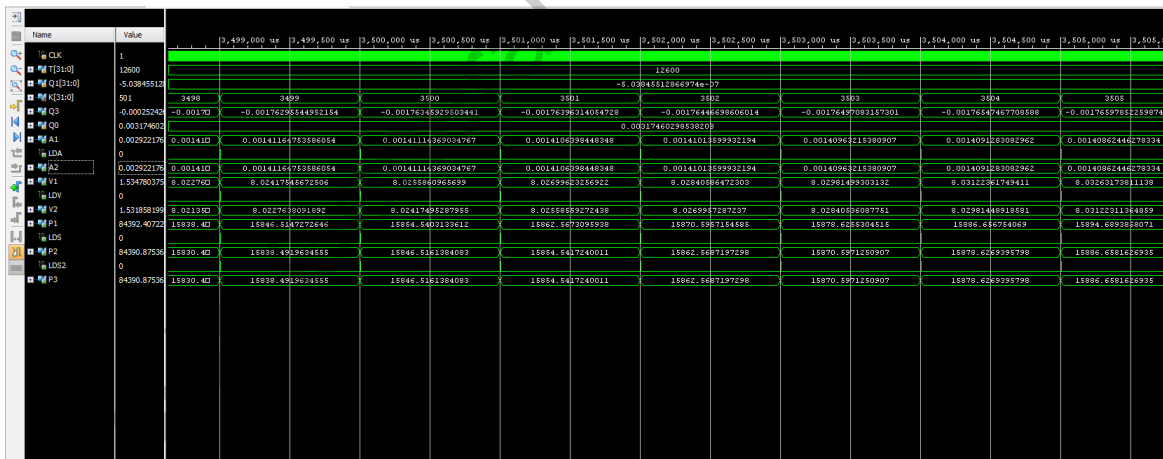


Figura 4.3: Simulación del cambio de valores de posición en el perfil parabólico.

4.1.4 Seguimiento de trayectorias

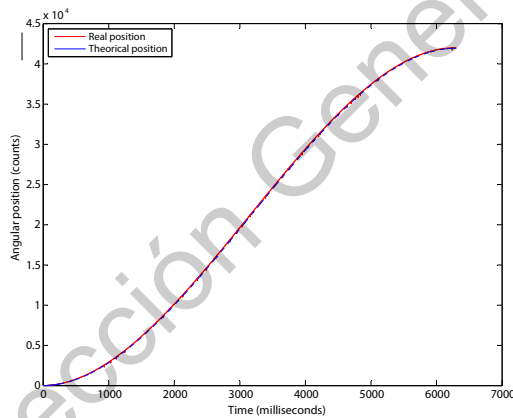
La posición angular de cada trayectoria fue trazada con un encoder incremental que se encuentra integrado al servomotor y que entrega 8400 cuentas por cada revolución. Con la finalidad de

monitorear el comportamiento del sistema de control durante diferentes distancias se realizaron las pruebas indicadas en la Tabla 4.1:

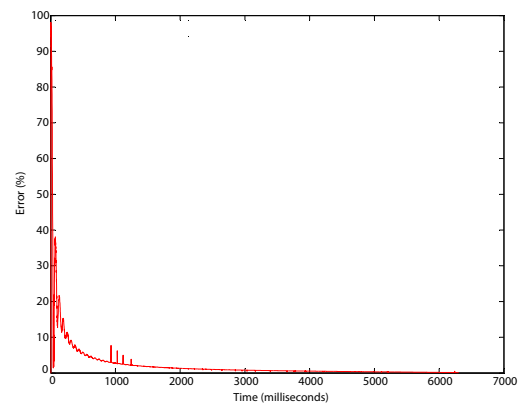
Cuadro 4.1: Posiciones angulares que se pusieron a prueba en los perfiles de velocidad.

θ_f en revoluciones	θ_f en cuentas de encoder	Tiempo requerido
5	42000	6300 ms
10	84000	12600 ms
15	126000	18900 ms

Cada prueba entregó un vector de posiciones angulares monitoreadas cada milisegundo, por lo cuál fue necesario ajustar la velocidad del protocolo RS232 a la máxima soportada por el *IDE* MATLAB: 115200 bps. Debido a la alta velocidad de recepción, la interfaz no fue capaz de graficar en tiempo real los datos recibidos por lo cual primero fueron capturados, procesados y posteriormente graficados. Es importante notar que los tiempos previstos para alcanzar cada posición angular son los mismos para ambos perfiles de acuerdo a la teoría; en las gráficas de las Figuras 4.4, 4.5, 4.6 y 4.7 analizaremos esta comparación.

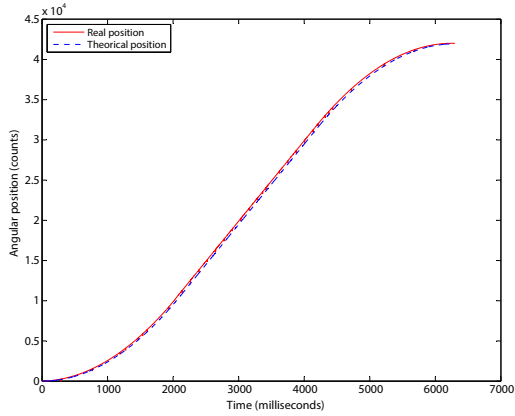


(a) Parabólico.

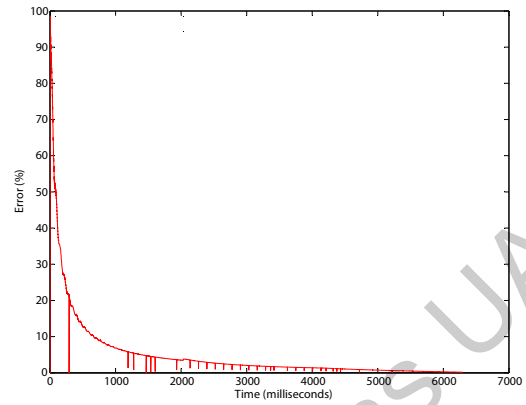


(b) Error parabólico.

Figura 4.4: Experimento perfil parabólico 5 vueltas.

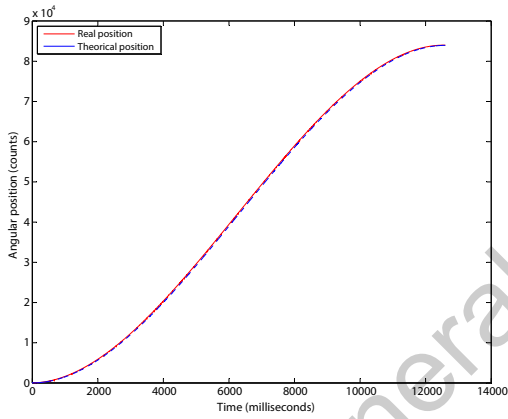


(a) Trapezoidal.

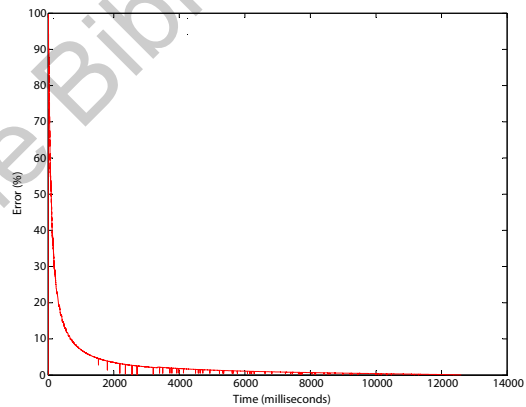


(b) Error trapezoidal.

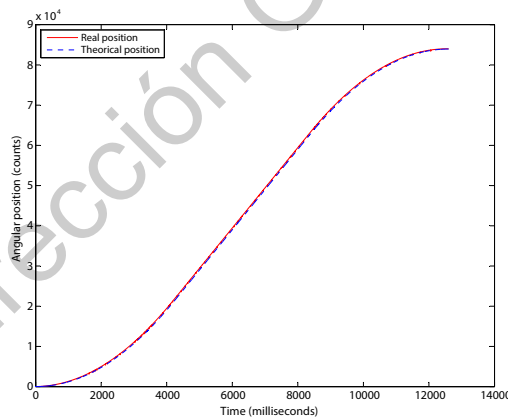
Figura 4.5: Experimento perfil trapezoidal 5 vueltas.



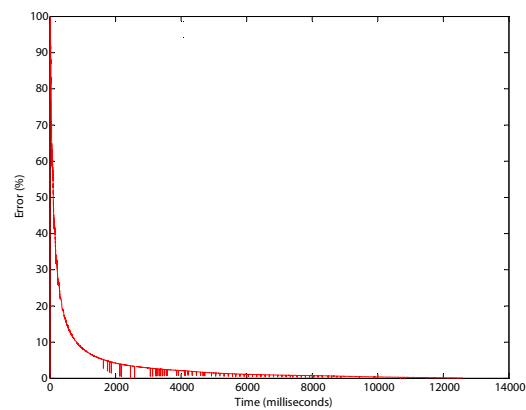
(a) Parabólico.



(b) Error parabólico.

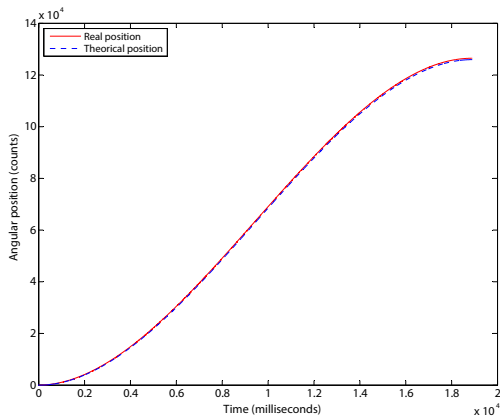


(c) Trapezoidal.

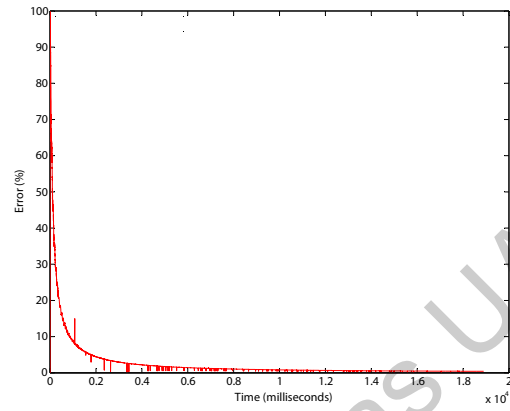


(d) Error trapezoidal.

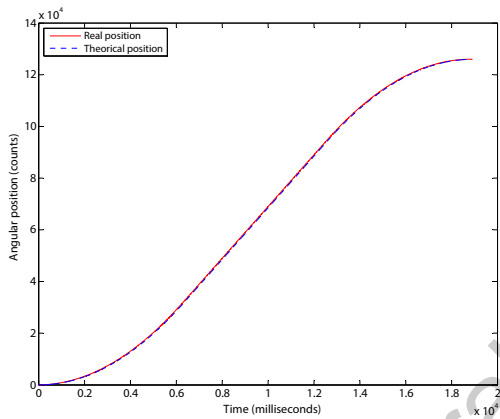
Figura 4.6: Experimento con ambos perfiles 10 vueltas.



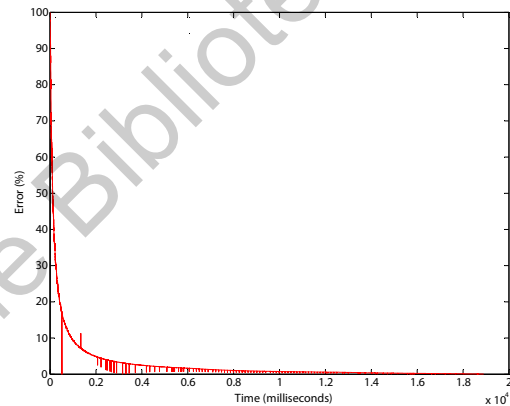
(a) Parabólico.



(b) Error parabólico.



(c) Trapezoidal.

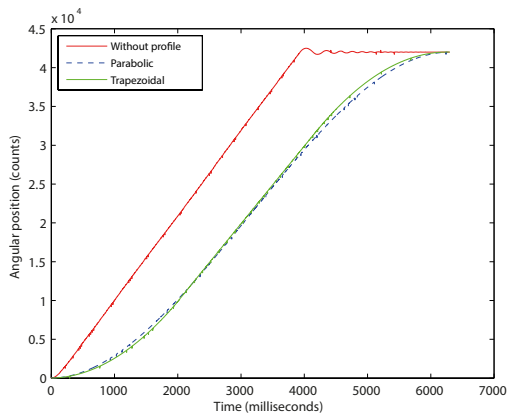


(d) Error trapezoidal.

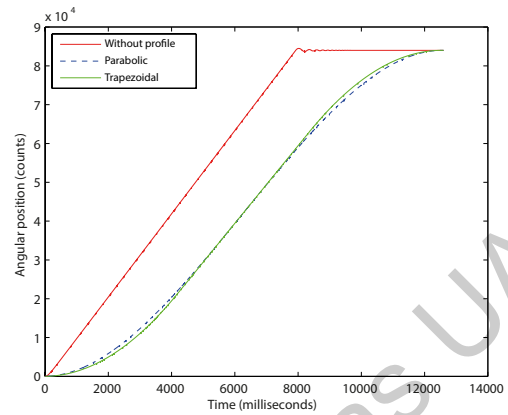
Figura 4.7: Experimento con ambos perfiles 15 vueltas.

4.1.5 Comparación en el seguimiento de trayectorias del controlador con y sin perfiles

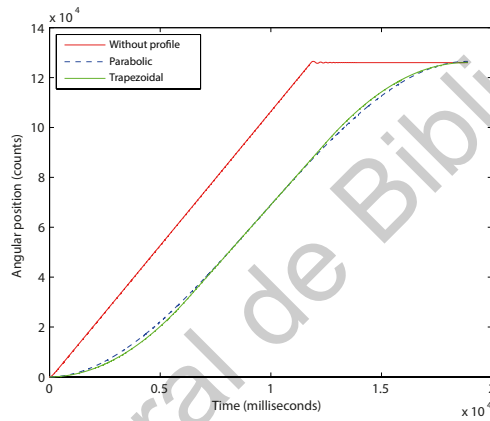
El propósito de este experimento es analizar el seguimiento del controlador cuando a su entrada se utilizan los perfiles de velocidad y la diferencia cuando se le asigna directamente la posición del usuario y una ganancia proporcional de uno. Es importante recordar que la velocidad máxima del motor es un factor que la planeación de trayectorias toma en cuenta para calcular el vector de posiciones. Para este experimento dicha velocidad fue establecida en 10 cuentas por milisecondo, equivalente a 71.4286 RPM , con el propósito de no llevar al límite el funcionamiento del motor. La trayectoria seguida por el controlador sin entrada de perfiles utilizará los 80 RPM del motor y se verá reflejado en la pendiente de la velocidad y en consecuencia el tiempo de respuesta será menor pero reflejará un aumento del sobrepaso. Los experimentos realizados se muestran en la Figura 4.8:



(a) Controlador 5 vueltas.



(b) Controlador 10 vueltas.



(c) Controlador 15 vueltas.

Figura 4.8: Experimento de posición para comparar la respuesta del controlador con y sin perfiles.

4.1.6 Consumo de corriente para cada perfil

En esta sección se detalla el experimento realizado con la finalidad de comparar el consumo de potencia del perfil parabólico frente al perfil trapezoidal. En las Figuras 4.9 y 4.10 se muestra la medición de corriente realizada con el osciloscopio *Analog Discovery* y el sensor *MAX471* para medir corriente en una trayectoria de 10 vueltas. La línea azul representa el voltaje y la línea amarilla la corriente. Es conveniente observar que la función descrita por los voltajes de ambos experimentos es muy similar a la curva de velocidad de cada perfil.

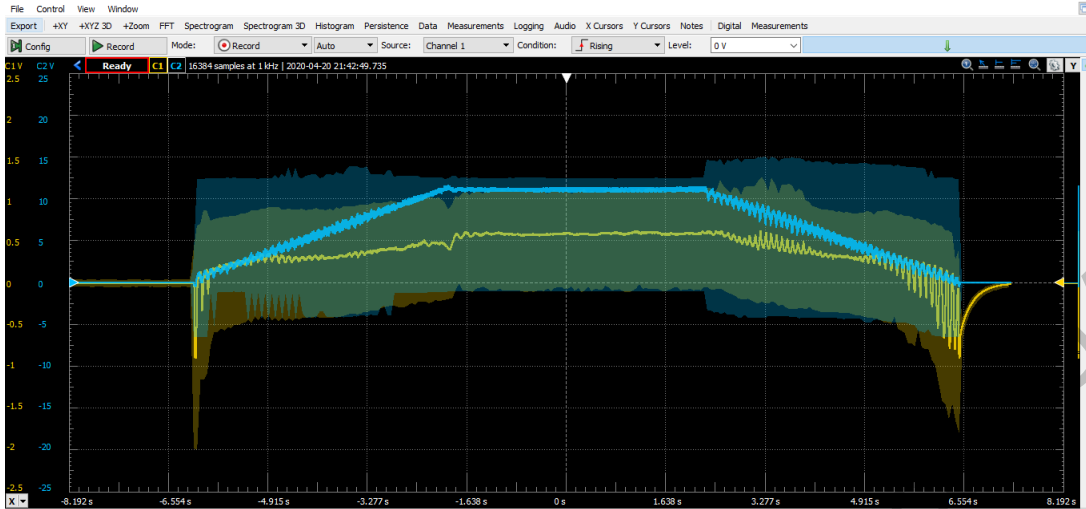


Figura 4.9: Consumo de corriente y voltaje con el perfil trapezoidal para 10 vueltas.

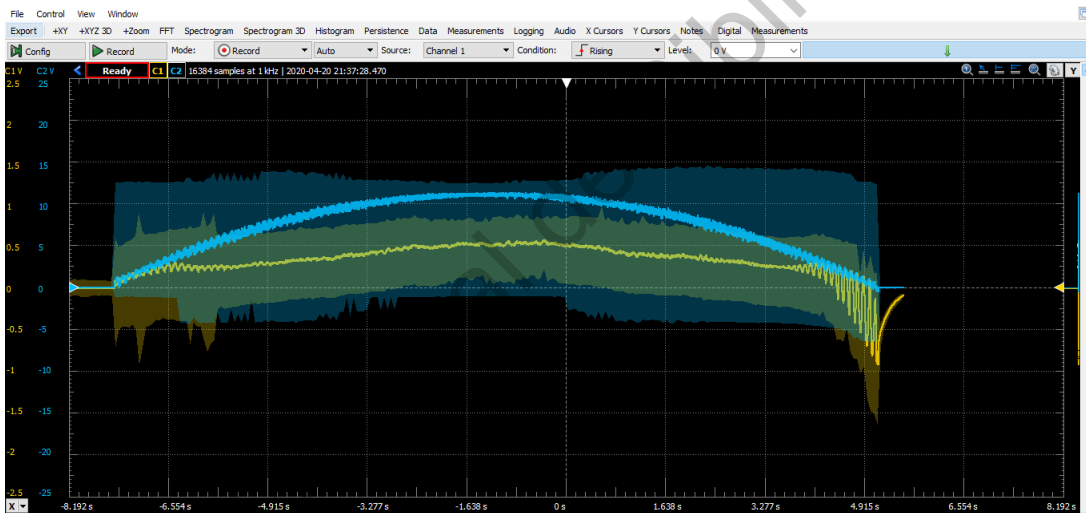
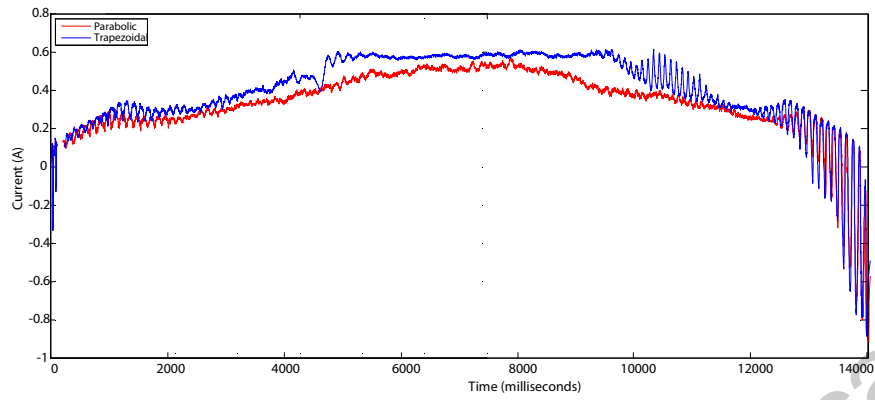


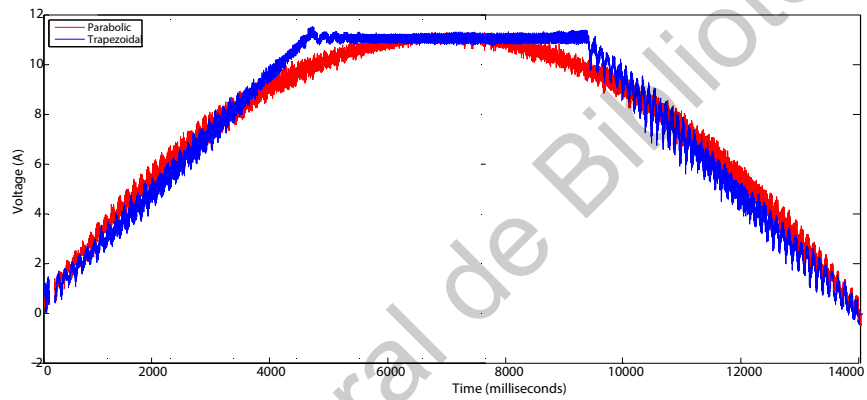
Figura 4.10: Consumo de corriente y voltaje con el perfil parabólico para 10 vueltas.

En la 4.11 se muestra la comparación en el consumo de corriente, voltaje y potencia que ambos perfiles requirieron para completar una trayectoria de 10 vueltas. La función de potencia se obtuvo como el resultado de multiplicar los valores de corriente por voltaje para cada instante de tiempo. Es claro observar que las curvas de consumo del perfil parabólico están siempre por debajo del trapezoidal en todos los casos.

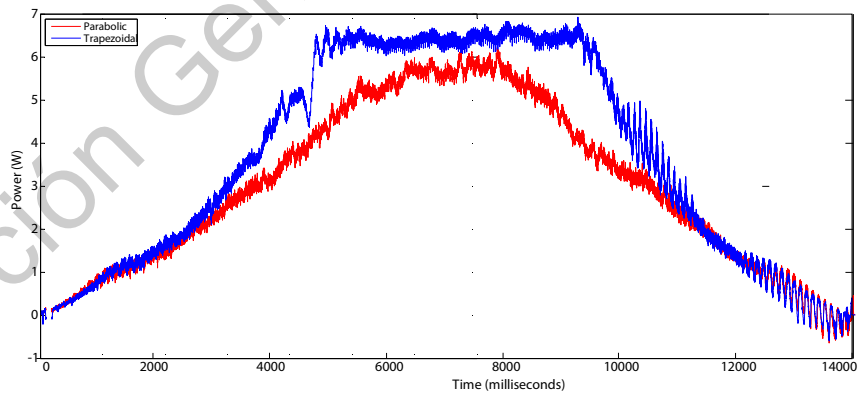
Los valores de la Tabla 4.2 se obtuvieron de la siguiente manera: Primeramente, se promediaron todos los valores de corriente y voltaje obtenidos durante la trayectoria del motor. Después, se multiplicó el voltaje y corriente promedio para obtener la potencia instantánea. Finalmente, se obtuvo la energía consumida al multiplicar la potencia instantánea por el tiempo que duró la trayectoria.



(a) Corriente



(b) Voltaje.



(c) Potencia.

Figura 4.11: Comparación de voltaje, corriente y potencia en ambos perfiles para 10 vueltas.

Cuadro 4.2: Comparación del consumo promedio en ambos perfiles para 10 vueltas.

Variable	Perfil parabólico	Perfil trapezoidal
Corriente	0.32 A	0.39 A
Voltaje	7.45 V	7.47 V
Potencia	2.38 W	2.91 W
Energía	29.98 J	36.6 J

Podemos observar que el voltaje en ambos casos fue prácticamente el mismo, sin embargo la diferencia significativa provino del consumo de corriente, al ser considerablemente menor en el perfil parabólico. Finalmente podemos concluir que el consumo de energía en el perfil parabólico fue 17.3% menor que el trapezoidal.

4.2 Discusión

Es importante observar que el sistema responde satisfactoriamente al seguimiento de la trayectoria propuesta por ambos perfiles. El error promedio de los 6 experimentos oscila entre el 2.24% y el 4.9%. Si bien el error promedio podría parecer considerable es interesante observar que el promedio del error es muy alto en el arranque del motor debido a que el vector de valores teóricos comienza con valores decimales muy pequeños menores a 1 y el encoder entrega cuentas por unidad, no por fracción; por ello los errores al inicio de la trayectoria son de hasta casi el 100%. Sin embargo después de aproximadamente la primera sexta parte del recorrido, el error se encuentra por debajo del 1%. Cabe señalar que el experimento se realizó para tres distancias diferentes (5, 10 y 15 vueltas) con el propósito de verificar que a pequeñas o grandes distancias el sistema se mantiene estable y no aumenta el valor del error.

En cuanto al consumo de energía se puede observar que, así como se muestra en la teoría, fue significativamente inferior en el caso del perfil parabólico con respecto al trapezoidal.

4.3 Impacto

A continuación se presenta el impacto que el presente trabajo tendrá en el ámbito social, ambiental y económico.

4.3.1 Impacto social

El impacto social de este trabajo proviene principalmente de la seguridad y calidad que el desplazamiento de diferentes servo-máquinas deben ofrecer a sus usuarios finales. Para puntualizar este concepto se presentan dos ejemplos; uno en el sector automotriz y otro en plantas de producción:

- En una planta de producción con máquinas de corte y desplazamiento como lo son tornos, fresadoras o rectificadoras automáticas, es de vital importancia la planeación de trayectorias

para evitar accidentes relacionados con la velocidad de corte y la precisión del mismo. El perfil parabólico representa una medida de seguridad a través de su principal característica que es la suavidad en la curva de posición al evitar des-aceleraciones o frenados bruscos que podrían provocar que la herramienta de corte u otra parte móvil salga disparada como proyectil al operador.

- En el sector automotriz se explora cada vez con más profundidad la navegación autónoma en vías transitadas y de alta velocidad. De acuerdo con [24] uno de los principales factores a tomar en cuenta para una navegación precisa y segura es la respuesta oportuna a trayectorias dinámicas del automóvil, para que en caso de un imprevisto el vehículo pueda desacelerar de manera oportuna pero siempre teniendo en cuenta aminorar el impacto debido al *jerk* que en casos críticos podría ocasionar daños significativos al tripulante. El perfil parabólico tiene como característica principal suavizar las trayectorias y eliminar los cambios bruscos de aceleración.

4.3.2 Impacto ambiental

La demanda eléctrica mundial hoy en día es cubierta en su mayoría por la construcción de diferentes centrales eléctricas que basan su funcionamiento en la transformación de la energía. Lamentablemente las fuentes de dicha transformación (entre las que se encuentran la quema de combustibles, energía cinética del agua o reacciones nucleares) representan un impacto negativo para el ecosistema en el que decidan ser construidas ya que tan solo la infraestructura de una central eléctrica representa la destrucción de ambientes naturales, y por otra parte los residuos de centrales como las de combustible deterioran la atmósfera. Ante dicha problemática existen dos soluciones generales: la primera es encontrar tecnologías más eficientes para la conversión de energía. La segunda es reducir el consumo eléctrico en las actividades del hombre. Un perfil de velocidad parabólico consigue exactamente lo segundo al reducir el *jerk* del actuador y en consecuencia la potencia requerida para su funcionamiento.

4.3.3 Impacto económico

En máquinas de control numérico, como fresadoras o tornos, la velocidad máxima de avance, en la mayoría de los casos, está limitada por las características de la herramienta de corte y no por la velocidad del servomotor; sin embargo, en máquinas como las de tipo pick and place para placas electrónicas el límite para la velocidad está dado por la máxima velocidad que el motor puede entregar y en este caso una trayectoria planeada a través de un perfil garantiza el balance entre el menor tiempo necesario para conseguir la posición final y una aceleración que no dañe el motor o el mecanismo.

Por otro lado, el ahorro en la energía consumida debido a los cambios en la aceleración representa otro de los principales medios para ahorrar recursos. Reducir el *scrap* en la producción es otra medida importante para ahorrar en costos de producción. Como se menciona en [25] es importante suavizar las trayectorias en máquinas *CNC* de fresado debido a que los movimientos bruscos generan imperfecciones de corte principalmente en las esquinas y redondeados de ciertas piezas.

4.4 Publicaciones

Las principales publicaciones de este trabajo son:

- Documento de tesis de licenciatura.
- Vídeo de los experimentos realizados para la sección de resultados [23].
- Anexos de código libres para ser usados en trabajos relacionados con el tema.

4.5 Trabajo futuro

Uno de los objetivos de este trabajo es abrir y facilitar la investigación en los siguientes temas:

- El estudio y desarrollo de diferentes perfiles de velocidad, como el perfil triangular o S-curve.
- La implementación de cada vez más componentes para la planeación de trayectorias en el *FPGA* para la futura creación de chips modulares que sean de fácil integración a máquinas servo-asistidas.
- Hacer uso del prototipo y la descripción de hardware para prácticas y clases relacionadas con sistemas digitales y servo-mecanismos.
- Hacer uso de los principios de esta tesis para abordar temas relacionados con conducción autónoma.

Para todo lo anterior se propone como trabajo futuro la creación de un manual de usuario basado en todo el contenido de esta tesis pero especialmente en el capítulo de metodología.

Conclusiones

En este trabajo se desarrolló e implementó un sistema de control de movimiento basado en el perfil de velocidad parabólico y su comparativa con el trapezoidal. Fue así como se logró observar el comportamiento de una trayectoria planeada y su impacto al usarse como entrada de un controlador.

Durante el desarrollo de los objetivos se abordó el desafío de comprobar, a través de la experimentación, las estimaciones teóricas que abordan las características de cada perfil, como lo son la velocidad de respuesta y el consumo de energía. De manera satisfactoria se comprobó que la diferencia entre el pronóstico del modelo matemático y el ejemplo práctico fue muy baja.

Gracias a la versatilidad que ofrecen las implementaciones en lógica digital fue posible reconfigurar el sistema para observar el comportamiento del controlador con y sin la asistencia de perfiles de velocidad. Se demostró que aún sin calibrar la ganancia proporcional del controlador a un valor diferente de 1, el seguimiento del vector de posiciones fue preciso, y esto fue comprobado al observar que la curva teórica del perfil se apegó a la del experimento para diferentes posiciones angulares. El principal motivo de este comportamiento fue el tiempo de muestreo a 1 ms que permitió a los perfiles arrojar cambios de posición tan pequeños que no representaron una complicación para el controlador; para esto fue clave que el sistema pudiese responder al periodo de 1 ms. Podemos concluir que lo que facilitó el trabajo al controlador no fueron las características del perfil en particular, sino la práctica de dividir la posición final en posiciones más pequeñas. Sin embargo tomar esto como una buena práctica aterriza directo a la pregunta ¿Si el objetivo es segmentar la trayectoria, cómo deberíamos hacer esta división? Es justo la respuesta a esta pregunta donde nace la necesidad de seleccionar perfiles de velocidad con base en sus características.

Como siguiente paso del trabajo se abordó la comparación de estas características entre el perfil parabólico y trapezoidal con especial enfoque en el tiempo de respuesta y el consumo de energía. Finalmente, una de las mayores ventajas del perfil parabólico frente al trapezoidal, planteada en la hipótesis, fue demostrada: un menor consumo de energía necesario para completar la trayectoria deseada. En este resultado es importante remarcar que el tiempo de respuesta para ambos perfiles fue el mismo y en consecuencia ahorrar energía no representó una pérdida en la velocidad. Con esta conclusión podemos resaltar la importancia de planear trayectorias con base en modelos matemáticos que contemplen el enfoque en variables que pueden impactar de manera significativa diferentes aplicaciones de movilidad, en este caso: la disminución de costos debido al ahorro de energía.

El presente trabajo cumple con el objetivo de abrir la investigación hacia la planeación de trayectorias en una arquitectura abierta que ofrece un gran campo de experimentación con otro tipo de trayectorias.

Dirección General de Bibliotecas UAQ

Bibliografía

- [1] Q. Feng and L. Wang, “Fpga-based acceleration and deceleration control for cnc machine tools,” in *Proceedings 2013 International Conference on Mechatronic Sciences, Electric Engineering and Computer (MEC)*, pp. 210–214, Dec 2013.
- [2] W. Bangji, L. Qingxiang, Z. Lei, Z. Yanrong, L. Xiangqiang, and Z. Jianqiong, “Velocity profile algorithm realization on fpga for stepper motor controller,” in *2011 2nd International Conference on Artificial Intelligence, Management Science and Electronic Commerce (AIMSEC)*, pp. 6072–6075, Aug 2011.
- [3] B. R. Mutlu, U. Yaman, M. Dolen, and A. B. Koku, “Performance evaluation of different real-time motion controller topologies implemented on a fpga,” in *2009 International Conference on Electrical Machines and Systems*, pp. 1–6, Nov 2009.
- [4] X. Shao and D. Sun, “Development of a new robot controller architecture with fpga-based ic design for improved high-speed performance,” *IEEE Transactions on Industrial Informatics*, vol. 3, pp. 312–321, Nov 2007.
- [5] J. Y. Wu, Z. Chen, A. Deguet, and P. Kazanzides, “Fpga-based velocity estimation for control of robots with low-resolution encoders,” in *IEEE International Conference on Intelligent Robots and Systems*, pp. 6384–6389, 2018. Cited By :1.
- [6] P. . Cardenas, W. J. P. Holgin, F. H. Fonseca Aponte, and A. D. S. Gomez, “A proposal for a soc fpga-based image processing in rgb-d sensors for robotics applications,” in *2018 IEEE 2nd Colombian Conference on Robotics and Automation, CCRA 2018*, 2018. Cited By :1.
- [7] M. C. Chinnaiah, K. Anusha, B. Bharat, M. Divya, P. S. Raju, and S. Dubey, “Deliberation of curvature type obstacles: A new approach using fpga based robot,” in *2018 International Conference on Control, Power, Communication and Computing Technologies, ICCPCCT 2018*, pp. 519–522, 2018. Cited By :1.
- [8] Y. Chen, H. Wei, K. Sun, T. Wang, and Y. Zou, “System-on-chip (soc) design for cnc system,” in *2009 IEEE International Symposium on Industrial Electronics*, pp. 690–693, July 2009.
- [9] M. Martínez-Prado, A. Franco-Gasca, G. H. Ruiz, and O. Soto-Dorantes, “Multi-axis motion controller for robotic applications implemented on an fpga,” *The International Journal of Advanced Manufacturing Technology*, Feb 2013.

- [10] M. Martínez-Prado, J. Rodríguez-Reséndiz, R. A. Gómez, and G. H. Ruiz, “Parabolic velocity profile,” in *Velocity Profiles: Analysis and Implementation*, pp. 9–12, Feb 2013.
- [11] V. Henández, R. Silva, and R. Carrillo, “Modelo matemático de sistemas físicos,” in *Control Automático: Teoría de diseño, Construcción de prototipos, Identificación y Pruebas Experimentales*, p. 16, Feb 2013.
- [12] L. Biagiotti and C. Melchiorri, “Trajectory planning,” in *Trajectory Planning for Automatic Machines and Robots*, p. 5, Feb 2008.
- [13] R. Romero-Troncoso, *Electrónica Digital y lógica programable*, vol. 1 of 1. Lascuráin de Retana No. 5. C.P. 36000: Universidad de Guanajuato, 1 ed., 2007.
- [14] S. Barrios-Dv, M. Lopez-Franco, J. D. Rios, N. Arana-Daniel, C. Lopez-Franco, and A. Y. Alanis, “An autonomous path controller in a system on chip for shrimp robot,” *Electronics (Switzerland)*, vol. 9, no. 3, 2020.
- [15] H. Moore, *MATLAB para ingenieros.*, vol. 1 of 1. México: Prentice Hall, 1 ed., 2007.
- [16] R. Norton, *Diseño de maquinaria, Síntesis y análisis de máquinas y mecanismos*, vol. 1 of 1. Prolongación Paseo de la Reforma 1015, Torre A Piso 17, Colonia Desarrollo Santa Fé, Delegación Alvaro Obregón, C.P. 01376, México, D.F.: Mc Graw Hill, 5 ed., 2013.
- [17] S. Hosseini and I. Hahn, “Energy-efficient motion planning for electrical drives,” in *2018 IEEE Electrical Power and Energy Conference, EPEC 2018*, 2018. Cited By :1.
- [18] Y. Mei, Y.-H. Lu, Y. C. Hu, and C. G. Lee, “Energy-efficient motion planning for mobile robots,” in *IEEE International Conference on Robotics and Automation, 2004. Proceedings. ICRA '04. 2004*, vol. 5, pp. 4344–4349, IEEE, 2004.
- [19] S. Chapman, *Máquinas eléctricas*, vol. 1 of 1. Prolongación Paseo de la Reforma 1015, Torre A Piso 17, Colonia Desarrollo Santa Fé, Delegación Alvaro Obregón, C.P. 01376, México, D.F.: Mc Graw Hill, 5 ed., 2012.
- [20] C. Alexander and M. Sadiku, *Fundamentos de circuitos eléctricos*, vol. 1 of 1. Prolongación Paseo de la Reforma 1015, Torre A Piso 17, Colonia Desarrollo Santa Fé, Delegación Alvaro Obregón, C.P. 01376, México, D.F.: Mc Graw Hill, 3 ed., 2006.
- [21] V. J. Lumelsky and A. A. Stepanov, “Dynamic path planning for a mobile automaton with limited information on the environment,” *IEEE Transactions on Automatic Control*, vol. 31, no. 11, pp. 1058–1063, 1986. Cited By :188.
- [22] M. Oveis-Gharan and G. N. Khan, “Reconfigurable on-chip interconnection networks for high performance embedded soc design,” *Journal of Systems Architecture*, vol. 106, 2020.
- [23] V. E. M. Garfias, “Perfiles de velocidad.” [urlhttps://www.youtube.com/watch?v=SMIC-hm4IYg](https://www.youtube.com/watch?v=SMIC-hm4IYg), 2020.
- [24] M. Raineri and C. G. L. Bianco, “Jerk limited planner for real-time applications requiring variable velocity bounds,” in *IEEE International Conference on Automation Science and Engineering*, vol. 2019-August, pp. 1611–1617, 2019.

- [25] Q. . Xiao, M. Wan, Y. Liu, X. . Qin, and W. . Zhang, “Space corner smoothing of cnc machine tools through developing 3d general clothoid,” *Robotics and Computer-Integrated Manufacturing*, vol. 64, 2020.

Dirección General de Bibliotecas UAQ

Dirección General de Bibliotecas UAQ

Apéndice

En esta última sección se añade información que será de utilidad para la comprensión y desarrollo de los temas tratados en los capítulos de la tesis. Se incluyen las siguientes secciones:

- Descripción de Hardware en VHDL del Sistema de control de movimiento.
- Código de la interfaz desarrollada en *MATLAB*.
- Código del perfil parabólico con integración rectangular.
- Código del perfil trapezoidal con integración rectangular.
- Código del convertidor decimal a punto fijo.

A.1 Descripción de Hardware en VHDL del Sistema de control de movimiento

En la siguiente sección están incluidos todos los códigos que describen los circuitos digitales detrás del sistema de control de movimiento del presente trabajo. Este código está disponible para ser útil en futuras investigaciones o trabajos del mismo campo. La siguiente descripción de Hardware puede ser libremente implementada, modificado y mejorada en caso de ser requerido.

Los códigos a continuación presentados se encuentran ordenados por relevancia en el sistema de control de movimiento de la siguiente forma:

1. Bloque integrador principal.
2. Generador del perfil parabólico.
3. Generador del perfil trapezoidal.
4. Controlador proporcional.

5. Sistema de comunicación.
6. Encoder incremental.
7. Indicador digital de la posición angular.
8. Bloques en común para las funciones principales.

A.1.1 Bloque integrador principal

Aquí se presenta el código integrador en que se reúnen los módulos principales de funcionalidad y comunicación, así como las salidas y entradas finales del circuito.

```

1000 Library IEEE;
      use IEEE.std_logic_1164.all;
1002
1003 Entity MotionControlSystem is
1004     port(
1005         CLK      : in std_logic;
1006         RST      : in std_logic;
1007         CTO      : in std_logic;
1008         RDD      : in std_logic;
1009         RX       : in std_logic;
1010         TX       : out std_logic;
1011         CHA      : in std_logic;
1012         CHB      : in std_logic;
1013         AOUT     : out std_logic_vector(7 downto 0);
1014         SOUT     : out std_logic_vector(6 downto 0);
1015         MBIT     : out std_logic_vector(3 downto 0);
1016         SEL      : in std_logic_vector(1 downto 0);
1017         DOUT     : out std_logic_vector(15 downto 0);
1018         CST      : in std_logic;
1019         MDIR     : out std_logic;
1020         BRAKE    : out std_logic
1021     );
1022 end MotionControlSystem;
1023
1024 Architecture Structural of MotionControlSystem is
1025
1026 Component UART is
1027     generic(n : integer :=8);
1028     port(
1029         CLK      : in std_logic;
1030         RST      : in std_logic;
1031         CTO      : in std_logic;
1032         DIN      : in std_logic_vector(n-1 downto 0);
1033         RX       : in std_logic;
1034         TX       : out std_logic;
1035         RXRDY    : out std_logic;
1036         IND      : out std_logic;
1037         DOUT     : out std_logic_vector(n downto 0)
1038     );
1039 end Component;
1040
1041 Component IncrementalEncoder is

```

```

1042     generic ( n : integer := 16);
1043     port(
1044         CLK      : in std_logic;
1045         RST      : in std_logic;
1046         CHA      : in std_logic;
1047         CHB      : in std_logic;
1048         PULSE    : out std_logic;
1049         DIR      : out std_logic;
1050         COUNT    : out std_logic_vector(n-1 downto 0)
1051     );
1052 end Component;

1054 Component DMillionCounter is
1055     port(
1056         CLK      : in std_logic;
1057         RST      : in std_logic;
1058         ENI      : in std_logic;
1059         DIR      : in std_logic;
1060         AOUT     : out std_logic_vector(7 downto 0);
1061         SOUT     : out std_logic_vector(6 downto 0)
1062     );
1063 end Component;

1064 Component ParabolicProfileGenerator is
1065     port(
1066         CLK      : in std_logic;
1067         RST      : in std_logic;
1068         ST       : in std_logic;
1069         T        : in std_logic_vector(31 downto 0);
1070         Q1       : in std_logic_vector(31 downto 0);
1071         a        : in std_logic_vector(63 downto 0);
1072         POS      : out std_logic_vector(17 downto 0);
1073         ORDY     : out std_logic
1074     );
1075 end Component;

1078 Component DataDivider is
1079     port(
1080         CLK      : in std_logic;
1081         RST      : in std_logic;
1082         ENI      : in std_logic;
1083         ENO      : out std_logic;
1084         DIN      : in std_logic_vector(31 downto 0);
1085         DOUT     : out std_logic_vector(7 downto 0)
1086     );
1087 end Component;

1088 Component GenericTimeBase is
1089     generic( n : integer:= 10);
1090     port(
1091         CLK      : in std_logic;
1092         RST      : in std_logic;
1093         ENI      : in std_logic;
1094         ENO      : out std_logic
1095     );
1096 end Component;

```

```

1098 Component INDMUX is
1100     port(
1102         SEL    : in std_logic_vector(11 downto 0);
1104         DIN1   : in std_logic_vector(7  downto 0);
1106         DIN2   : in std_logic_vector(7  downto 0);
1108         DIN3   : in std_logic_vector(7  downto 0);
1110         DIN4   : in std_logic_vector(7  downto 0);
1112         DIN5   : in std_logic_vector(7  downto 0);
1114         DIN6   : in std_logic_vector(7  downto 0);
1116         DIN7   : in std_logic_vector(7  downto 0);
1118         DIN8   : in std_logic_vector(7  downto 0);
1120         DIN9   : in std_logic_vector(7  downto 0);
1122         DIN10  : in std_logic_vector(7  downto 0);
1124         DIN11  : in std_logic_vector(7  downto 0);
1126         DIN12  : in std_logic_vector(7  downto 0);
1128         DOUT   : out std_logic_vector(7  downto 0)
1130     );
1132 end Component;

1134 Component QRegister is
1136     port(
1138         CLK    : in std_logic;
1140         RST    : in std_logic;
1142         ENI    : in std_logic;
1144         DIN    : in std_logic_vector(7  downto 0);
1146         a      : out std_logic_vector(63 downto 0);
1148         T      : out std_logic_vector(63 downto 0);
1150         Q1     : out std_logic_vector(31 downto 0);
1152         QRDY  : out std_logic
1154     );
1156 end Component;

1158 Component QIND is
1160     port(
1162         SEL    : in std_logic_vector(4  downto 0);
1164         DIN1   : in std_logic_vector(63 downto 0);
1166         DIN2   : in std_logic_vector(31 downto 0);
1168         DIN3   : in std_logic_vector(31 downto 0);
1170         DOUT   : out std_logic_vector(15 downto 0)
1172     );
1174 end Component;

1176 Component SRLatch is
1178     port(
1180         RST    : in std_logic;
1182         CLK    : in std_logic;
1184         SET    : in std_logic;
1186         CLR    : in std_logic;
1188         QOUT   : out std_logic
1190     );
1192 end Component;

1194 Component PController is
1196     generic(
1198         n : integer :=18;

```

```

1154     m : integer :=16
        );
1156     port(
        RST  : in std_logic;
1158     CLK  : in std_logic;
        STR  : in std_logic;
1160     SP   : in std_logic_vector(n-1 downto 0);
        YT   : in std_logic_vector(n-1 downto 0);
1162     q0   : in std_logic_vector(m-1 downto 0);
        q1   : in std_logic_vector(m-1 downto 0);
1164     RDY  : out std_logic;
        UOUT : out std_logic_vector(3 downto 0);
1166     SIGN : out std_logic
        );
1168 end Component;

1170 Component TrapezoidalProfileGenerator is
        port(
1172     CLK  : in std_logic;
        RST  : in std_logic;
1174     ST   : in std_logic;
        T1   : in std_logic_vector(31 downto 0);
1176     T2   : in std_logic_vector(31 downto 0);
        A1   : in std_logic_vector(63 downto 0);
1178     NA1  : in std_logic_vector(63 downto 0);
        POS  : out std_logic_vector(17 downto 0);
1180     ORDY : out std_logic;
        RDY2: out std_logic
1182     );
1184 end Component;

1186 Component POSMUX is
        port(
1188     SEL  : in std_logic_vector(1 downto 0);
        P1  : in std_logic_vector(17 downto 0);
1190     P2  : in std_logic_vector(17 downto 0);
        CLR1 : in std_logic;
1192     CLR2 : in std_logic;
        POUT : out std_logic_vector(17 downto 0);
1194     CLROUT : out std_logic
        );
1196 end Component;

1198 signal PULSE, DIR, auxEN, auxTB, RXRDY, QRDY, STP, STPP, STPPD, CLR, QRST, CST2, CRST,
        CLR1, CLR2 : std_logic;
1200 signal COUNT      : std_logic_vector(31 downto 0);
        signal Q1, T, Q12, T2, T1, T22, TW2      : std_logic_vector(31 downto 0);
1202 signal a, a2, A1, NA1, W1, W2      : std_logic_vector(63 downto 0);
        signal POS2, W3      : std_logic_vector(31 downto 0);
1204 signal UDOUT      : std_logic_vector(8 downto 0);
        signal DDV, SDOUT : std_logic_vector(7 downto 0);
1206 signal OSEL      : std_logic_vector(3 downto 0);
        signal D1, D2, D3, D4, D5, D6, D7, D8, D9, D10, D11, D12 : std_logic_vector(7 downto
        0);
        signal P1, P2, CPOS : std_logic_vector(17 downto 0);
        signal CCOUNT, SP : std_logic_vector(17 downto 0);

```

```

1208 signal PCQ0, PCQ1 : std_logic_vector(15 downto 0);
signal SBIT : std_logic_vector(3 downto 0);
1210 signal VBR : std_logic_vector(1 downto 0);

1212 begin
    POS2 <= "00000000000000" & CPOS;
1214 a2 <= "0000000000000000000000000000000000000000000000000110100000001101000000"; --
    0.0031746
    T22 <= "0000000000000000011000100111000"; --12600
1216 Q12 <= "1111111111111111111111101111000110"; --5.039e-07
SDOUT <= UDOUT(8 downto 1);
1218 STPPD <= QRDY and CST;
QRST <= RST xor CLR;
1220 SP <= "00000000001101010";
CCOUNT <= COUNT(17 downto 0);
1222 PCQ0 <= "0000000100000000"; -- 1 8.8
PCQ1 <= "1111111100000000"; -- -1 8.8
1224 MBIT <= SBIT;
DOUT(3 downto 0) <= SBIT;
1226 CST2 <= CST xor CLR;
CRST <= RST;
1228 TW2 <= W2(31 downto 0);
T1 <= "000000000000000000001001110001000";
1230 T2 <= "000000000000000000001001110001000";
A1 <= "0000000000000000000000000000000000000000000010000011000100100110111";
1232 NA1 <= "11111111111111111111111111111111111111111111101111100111011011001001";

U01 : IncrementalEncoder generic map(32) port map(CLK, RST, CHA, CHB, PULSE, DIR,
COUNT);
U02 : UART generic map(8) port map(CLK, RST, auxTB, DDV, RX, TX, RXRDY, OPEN,
UDOUT);
1236 U03 : DMillionCounter port map(CLK, RST, PULSE, DIR, AOUT, SOUT);
U04 : ParabolicProfileGenerator port map(CLK, RST, CST, TW2, W3, W1, P1, CLR1);
1238 U05 : TrapezoidalProfileGenerator port map (CLK, RST, CST, W3, W3, W1, W2, P2,
CLR2, CLR);
U06: POSMUX port map(SEL, P1, P2, CLR1,CLR2, CPOS, BRAKE);
1240 U07 : PController generic map(18, 16) port map(RST, CLK, CST, CPOS, CCOUNT, PCQ0,
PCQ1, DOUT(4), SBIT, MDIR);
U08 : GenericTimeBase generic map(100000) port map(CLK, RST, CTO, auxEN);
1242 U09 : DataDivider port map(CLK, RST, auxEN, auxTB, COUNT, DDV);
U10 : QRegister port map(CLK, RST, RXRDY, SDOUT, W1, W2, W3, QRDY);
1244 U11 : GenericTimeBase generic map(2000) port map(CLK, RST, QRDY, STP);
end Structural;

```

A.1.2 Generador del perfil parabólico

En este apartado se presenta el código del bloque encargado de calcular de manera iterativa las posiciones angulares para cada instante de tiempo usando un perfil parabólico para la planeación de la trayectoria.

```

1000 Library IEEE;
use IEEE.std_logic_1164.all;

```

```

1002 Entity ParabolicProfileGenerator is
1004     port(
1006         CLK  : in std_logic;
1008         RST  : in std_logic;
1010         ST   : in std_logic;
1012         T    : in std_logic_vector(31 downto 0);
1014         Q1   : in std_logic_vector(31 downto 0);
1016         a    : in std_logic_vector(63 downto 0);
1018         POS  : out std_logic_vector(17 downto 0);
1020         ORDY : out std_logic
1022     );
1024 end ParabolicProfileGenerator;

1026 Architecture Structural of ParabolicProfileGenerator is

1028 Component GenericTimmer is
1030     generic(n : integer := 10);
1032     port(
1034         RST : in std_logic;
1036         CLK : in std_logic;
1038         ENI : in std_logic;
1040         ENO : out std_logic
1042     );
1044 end Component ;

1046 Component ProgrammableCounter is
1048     generic(n : integer := 2);
1050     port(
1052         RST: in std_logic;
1054         CLK: in std_logic;
1056         ENI: in std_logic;
1058         SP: in std_logic_vector(n-1 downto 0);
1060         ENO: out std_logic;
1062         COUNT: out std_logic_vector(n-1 downto 0)
1064     );
1066 end Component;

1068 Component ParabolicProfileFSM is
1070     port(
1072         CLK  : in std_logic;
1074         RST  : in std_logic;
1076         ST   : in std_logic;
1078         Ts   : in std_logic;
1080         CRDY : in std_logic;
1082         STT  : out std_logic;
1084         LDA  : out std_logic;
1086         LDV  : out std_logic;
1088         LDS  : out std_logic;
1090         LDS2 : out std_logic
1092     );
1094 end Component;

1096 Component Multiplier is
1098     generic(n : integer := 32; m : integer := 32);
1100     port(

```

```

1058  OPA : in std_logic_vector(n - 1 downto 0);
      OPB : in std_logic_vector(m - 1 downto 0);
1060  RES : out std_logic_vector(n + m - 1 downto 0)
      );
1062  end Component;

1064  Component AddSubs is
      generic(n: integer:=8);
1066  port(
      OPA: in std_logic_vector(n-1 downto 0);
1068  OPB: in std_logic_vector(n-1 downto 0);
      SIGN: in std_logic;
1070  RES: out std_logic_vector(n-1 downto 0)
      );
1072  end Component;

1074  Component LoadRegister is
      generic(n : integer := 8);
1076  port(
      RST: in std_logic; --Reset asincrono
1078  CLK: in std_logic;--
      LDR: in std_logic;-- ENA
1080  DIN: in std_logic_vector(n-1 downto 0);--Dato de entrada
      DOUT: out std_logic_vector(n-1 downto 0)--dato de salida
1082  );
1084  end Component;

1086  signal MRES          : std_logic_vector(63 downto 0);
1088  signal Ts, CRDY, STT : std_logic;
1090  signal K              : std_logic_vector(31 downto 0);
1092  signal LDA, LDV, LDS, LDS2 : std_logic;
1094  signal ACC1,VEL1,POS1    : std_logic_vector(63 downto 0);
1096  signal ACC2,VEL2,POS2,POS3 : std_logic_vector(63 downto 0);
1098  signal POS2S,POS3S,DIFF  : std_logic_vector(31 downto 0);
1100  signal VBR : std_logic_vector(1 downto 0);
1102  begin
1104  ORDY <= VBR(0);
      POS <= POS3(48 downto 31);
1106  U01 : GenericTimmer generic map(99992) port map(RST, CLK, STT, Ts);
1108  U02 : ProgrammableCounter generic map(32) port map(RST, CLK, Ts, T, CRDY, K);
1110  U03 : LoadRegister generic map(2) port map(RST, CLK, CRDY, "11", VBR);
1112  U04 : ParabolicProfileFSM port map(CLK,RST,ST, Ts,CRDY,STT,LDA,LDV,LDS,LDS2);
1114  U05 : Multiplier generic map(32, 32) port map(Q1,K,MRES);
1116  U06 : AddSubs generic map(64) port map(a,MRES,'0',ACC1);
1118  U07 : LoadRegister generic map(64) port map(RST,CLK,LDA,ACC1,ACC2);
1120  U08 : AddSubs generic map(64) port map(VEL2,ACC2,'0',VEL1);
1122  U09 : LoadRegister generic map(64) port map(RST,CLK,LDV,VEL1,VEL2);
1124  U10 : AddSubs generic map(64) port map(POS2,VEL2,'0',POS1);
1126  U11 : LoadRegister generic map(64) port map(RST,CLK,LDS,POS1,POS2);
1128  U12 : LoadRegister generic map(64) port map(RST,CLK,LDS2,POS2,POS3);
1130  end Structural;

```


A.1.3 Generador del perfil trapezoidal

En este apartado se presenta el código del bloque encargado de calcular de manera iterativa las posiciones angulares para cada instante de tiempo usando un perfil trapezoidal para la planeación de la trayectoria.

```
1000 Library IEEE;
1001 use IEEE.std_logic_1164.all;
1002
1003 Entity TrapezoidalProfileGenerator is
1004     port(
1005         CLK : in std_logic;
1006         RST : in std_logic;
1007         ST  : in std_logic;
1008         T1  : in std_logic_vector(31 downto 0);
1009         T2  : in std_logic_vector(31 downto 0);
1010         A1  : in std_logic_vector(63 downto 0);
1011         NA1 : in std_logic_vector(63 downto 0);
1012         POS : out std_logic_vector(17 downto 0);
1013         ORDY : out std_logic;
1014         RDY2: out std_logic
1015     );
1016 end TrapezoidalProfileGenerator;
1017
1018 Architecture Structural of TrapezoidalProfileGenerator is
1019
1020 Component GenericTimmer is
1021     generic(n : integer := 10);
1022     port(
1023         RST : in std_logic;
1024         CLK : in std_logic;
1025         ENI : in std_logic;
1026         ENO : out std_logic
1027     );
1028 end Component ;
1029
1030 Component ProgrammableCounter is
1031     generic(n : integer := 2);
1032     port(
1033         RST: in std_logic;
1034         CLK: in std_logic;
1035         ENI: in std_logic;
1036         SP: in std_logic_vector(n-1 downto 0);
1037         ENO: out std_logic;
1038         COUNT: out std_logic_vector(n-1 downto 0)
1039     );
1040 end Component;
1041
1042 Component AddSubs is
1043     generic(n: integer:=8);
1044     port(
1045         OPA: in std_logic_vector(n-1 downto 0);
1046         OPB: in std_logic_vector(n-1 downto 0);
1047         SIGN: in std_logic;
1048         RES: out std_logic_vector(n-1 downto 0)
1049     );
```

```

1050 end Component;

1052 Component LoadRegister is
    generic(n : integer := 8);
1054     port(
1056         RST: in std_logic; --Reset asincrono
1058         CLK: in std_logic;--
1060         LDR: in std_logic;-- ENA
1062         DIN: in std_logic_vector(n-1 downto 0);--Dato de entrada
1064         DOUT: out std_logic_vector(n-1 downto 0)--dato de salida
1066     );
1068 end Component;

1070 Component ACCMUX is
    generic(n : integer :=8
1072     );
1074     port(
1076         SEL  : in std_logic_vector(1 downto 0);
1078         A1   : in std_logic_vector(n-1 downto 0);
1080         NA1  : in std_logic_vector(n-1 downto 0);
1082         A2   : out std_logic_vector(n-1 downto 0)
1084     );
1086 end Component;

1088 Component TMUX is
    generic(n : integer :=8
1090     );
1092     port(
1094         SEL  : in std_logic_vector(1 downto 0);
1096         T1   : in std_logic_vector(n-1 downto 0);
1098         T2   : in std_logic_vector(n-1 downto 0);
1100         T    : out std_logic_vector(n-1 downto 0)
1102     );
1104 end Component;

1106 Component TrapezoidalProfileFSM is
1108     port(
1110         CLK  : in std_logic;
1112         RST  : in std_logic;
1114         ST   : in std_logic;
1116         Ts   : in std_logic;
1118         CRDY : in std_logic;
1120         STT  : out std_logic;
1122         LDA  : out std_logic;
1124         LDV  : out std_logic;
1126         LDS  : out std_logic;
1128         LDS2 : out std_logic
1130     );
1132 end Component;

1134 signal MRES           : std_logic_vector(63 downto 0);
1136 signal Ts, CRDY1, CRDY2, STT           : std_logic;
1138 signal K, T, TR1, TR2           : std_logic_vector(31 downto 0);
1140 signal LDA, LDV, LDS, LDS2 : std_logic;
1142 signal V1,P1           : std_logic_vector(63 downto 0);
1144 signal A2,V2,P2,P3, AR, NAR       : std_logic_vector(63 downto 0);

```

```

1106 signal POS2S,POS3S,DIFF      : std_logic_vector(31 downto 0);
signal SEL, SP                  : std_logic_vector(1 downto 0);
1108 signal VBR : std_logic_vector(1 downto 0);
begin
1110   RDY2 <= CRDY2;
   ORDY <= VBR(0);
1112   POS <= P3(48 downto 31);
   SP <= "10";
1114   U01 : GenericTimmer generic map(100000) port map(RST, CLK, STT, Ts);
   U02 : ProgrammableCounter generic map(32) port map(RST, CLK, Ts, T, CRDY1, OPEN);
1116   U03 : ProgrammableCounter generic map(2) port map(RST, CLK, CRDY1, SP, CRDY2, SEL)
;
   U04 : TrapezoidalProfileFSM port map (CLK, RST, ST, Ts, CRDY2, STT, LDA, LDV, LDS,
LDS2);
1118   U05 : LoadRegister generic map(2) port map (RST, CLK, CRDY2, "11", VBR);
   U06 : ACCMUX generic map(64) port map(SEL, A1, NA1, A2);
1120   U07 : TMUX generic map(32) port map(SEL, T1, T2, T);
   U08 : AddSubs generic map(64) port map(A2, V2, '0', V1);
1122   U09: LoadRegister generic map(64) port map(RST, CLK, LDV, V1, V2);
   U10: AddSubs generic map(64) port map(P2, V2, '0', P1);
1124   U11: LoadRegister generic map(64) port map(RST, CLK, LDS, P1, P2);
   U12: LoadRegister generic map(64) port map(RST, CLK, LDS2, P2, P3);
1126
end Structural;

```

A.1.4 Controlador proporcional

A continuación se presenta la descripción del controlador encargado de seguir el vector de posiciones generadas por los perfiles de velocidad. Este bloque también puede ser utilizado para trazar directamente la posición requerida por el usuario sin usar los perfiles de velocidad; y en efecto se utiliza en el presente trabajo para comparar la precisión y estabilidad del sistema con y sin perfiles de velocidad.

```

1000 Library IEEE;
use IEEE.std_logic_1164.all;
1002
Entity PController is
1004   generic(
   n : integer :=18;
1006   m : integer :=16
   );
1008   port(
   RST  : in std_logic;
1010   CLK  : in std_logic;
   STR  : in std_logic;
1012   SP   : in std_logic_vector(n-1 downto 0);
   YT   : in std_logic_vector(n-1 downto 0);
1014   q0   : in std_logic_vector(m-1 downto 0);
   q1   : in std_logic_vector(m-1 downto 0);
1016   RDY  : out std_logic;
   UOUT : out std_logic_vector(3 downto 0);
1018   SIGN : out std_logic

```

```

    );
1020 end PController;

1022 Architecture Structural of PController is

1024 Component Multiplier is
    generic(n : integer := 32; m : integer := 32);
1026 port(
    OPA : in std_logic_vector(n - 1 downto 0);
1028 OPB : in std_logic_vector(m - 1 downto 0);
    RES : out std_logic_vector(n + m - 1 downto 0)
1030 );
end Component;

1032 Component AddSubs is
1034 generic(n: integer:=8);
    port(
1036 OPA: in std_logic_vector(n-1 downto 0);
    OPB: in std_logic_vector(n-1 downto 0);
1038 SIGN: in std_logic;
    RES: out std_logic_vector(n-1 downto 0)
1040 );
end Component;

1042 Component LoadRegister is
1044 generic(n : integer := 8);
    port(
1046 RST: in std_logic; --Reset asincrono
    CLK: in std_logic;--
1048 LDR: in std_logic;-- ENA
    DIN: in std_logic_vector(n-1 downto 0);--Dato de entrada
1050 DOUT: out std_logic_vector(n-1 downto 0)--dato de salida
    );
1052 end Component;

1054 Component PMUX is
    generic(n : integer :=8;
1056 m : integer :=8
    );
1058 port(
    SEL : in std_logic_vector(1 downto 0);
1060 EK : in std_logic_vector(n-1 downto 0);
    EK1 : in std_logic_vector(n-1 downto 0);
1062 Q0 : in std_logic_vector(m-1 downto 0);
    Q1 : in std_logic_vector(m-1 downto 0);
1064 QN : out std_logic_vector(m-1 downto 0);
    EKN : out std_logic_vector(n-1 downto 0)
1066 );
end Component;

1068 Component PFSM is
1070 port(
    RST : in std_logic;
1072 CLK : in std_logic;
    STR : in std_logic;
1074 LDI : out std_logic;

```

```

1076     LDR : out std_logic;
1077     LDO : out std_logic;
1078     SEL : out std_logic_vector(1 downto 0);
1079     RDY : out std_logic
1080   );
1081 end Component;

1082 Component PSaturator is
1083   port(
1084     DIN  : in  std_logic_vector(27 downto 0);
1085     DOUT : out std_logic_vector(4  downto 0);
1086     SU   : out std_logic;
1087     SD   : out std_logic
1088   );
1089 end Component;

1090 signal LDI, LDR, LDO, SU, SD : std_logic;
1091 signal ERR, EK, EK1, EKN : std_logic_vector(17 downto 0);
1092 signal SQ0, SQ1, QN : std_logic_vector(15 downto 0);
1093 signal MULT : std_logic_vector(33 downto 0);
1094 signal EKQ : std_logic_vector(35 downto 0);
1095 signal SEL : std_logic_vector(1 downto 0);
1096 signal UK1, UK2, SRES : std_logic_vector(35 downto 0);
1097 signal SUK : std_logic_vector(27 downto 0);
1098 signal SOUT: std_logic_vector(4  downto 0);
1099 begin
1100 SUK <= UK2(35 downto 8);
1101 EKQ <= MULT(33) & MULT(33) & MULT;
1102 SIGN <= SOUT(4);
1103 UOUT <= SOUT(3 downto 0);
1104 U00 : AddSubs generic map(18) port map(SP, YT, '1', ERR);
1105 U01 : LoadRegister generic map(18) port map(RST, CLK, LDI, ERR, EK);
1106 U02 : LoadRegister generic map(18) port map(RST, CLK, LDI, EK, EK1);
1107 U03 : LoadRegister generic map(16) port map(RST, CLK, LDI, q0, SQ0);
1108 U04 : LoadRegister generic map(16) port map(RST, CLK, LDI, q1, SQ1);
1109 U05 : PMUX generic map(18, 16) port map(SEL, EK, EK1, SQ0, SQ1, QN, EKN);
1110 U06 : Multiplier generic map(18, 16) port map(EKN, QN, MULT);
1111 U07 : AddSubs generic map(36) port map(UK1, EKQ, '0', SRES);
1112 U08 : LoadRegister generic map(36) port map(RST, CLK, LDR, SRES, UK1);
1113 U09 : LoadRegister generic map(36) port map(RST, CLK, LDO, UK1, UK2);
1114 U10 : PSaturator port map(SUK, SOUT, SU, SD);
1115 U11 : PFSM port map(RST, CLK, STR, LDI, LDR, LDO, SEL, RDY);
1116 end Structural;

```

A.1.5 Sistema de comunicación

El sistema de comunicación entre la computadora y el FPGA está dado por tres bloques principales: Un bloque de comunicación UART, otro encargado de dividir y organizar los datos entregados por la computadora y finalmente un bloque encargado de guardar los registros para posteriormente cargarlos en las entradas de los perfiles.

```

1000 Library IEEE;

```

```

1002 use IEEE.std_logic_1164.all;
1003
1004 Entity UART is
1005     generic(n : integer :=8);
1006     port(
1007         CLK      : in std_logic;
1008         RST      : in std_logic;
1009         CTO      : in std_logic;
1010         DIN      : in std_logic_vector(n-1 downto 0);
1011         RX       : in std_logic;
1012         TX       : out std_logic;
1013         RXRDY    : out std_logic;
1014         IND      : out std_logic;
1015         DOUT     : out std_logic_vector(n downto 0)
1016     );
1017 end UART;
1018
1019 Architecture Structural of UART is
1020
1021 Component LoadRegister is
1022     generic(n : integer :=40);
1023     port(
1024         CLK      : in std_logic;
1025         RST      : in std_logic;
1026         LDR      : in std_logic;
1027         DIN      : in std_logic_vector(n-1 downto 0);
1028         DOUT     : out std_logic_vector(n-1 downto 0)
1029     );
1030 end Component;
1031
1032 Component ParityDetector is
1033     port(
1034         DIN      : in std_logic_vector(7 downto 0);
1035         DOUT     : out std_logic
1036     );
1037 end Component;
1038
1039 Component UARIMUX is
1040     port(
1041         DIN      : in std_logic_vector(7 downto 0);
1042         PAR      : in std_logic;
1043         SEL      : in std_logic_vector(3 downto 0);
1044         DOUT     : out std_logic
1045     );
1046 end Component;
1047
1048 Component SRLatch is
1049     port(
1050         RST      : in std_logic;
1051         CLK      : in std_logic;
1052         SET      : in std_logic;
1053         CLR      : in std_logic;
1054         QOUT     : out std_logic
1055     );
1056 end Component;

```

```

1058 Component GenericTimeBase is
    generic( n : integer:= 10);
    port(
1060     CLK : in std_logic;
        RST : in std_logic;
1062     ENI : in std_logic;
        ENO : out std_logic
1064     );
end Component;
1066
Component FreeCounter is
1068     generic ( n : integer := 2);
    port(
1070     RST : in std_logic;
        CLK : in std_logic;
1072     ENA : in std_logic;
        COUT : out std_logic_vector(n downto 0)
1074     );
end Component;
1076
Component UProgrammableCounter is
1078     generic ( n : integer := 10);
    port(
1080     RST : in std_logic;
        CLK : in std_logic;
1082     ENA : in std_logic;
        RDY : out std_logic
1084     );
end Component;
1086
Component SPRegister is
1088     generic(n : integer := 40);
    port(
1090     RST : in std_logic;
        CLK : in std_logic;
1092     SHF : in std_logic;
        BIN : in std_logic;
1094     DOUT : out std_logic_vector(n - 1 downto 0)
        );
1096 end Component;

1098 Component FallingEdgeDetector is
    port(
1100     RST : in std_logic;
        CLK : in std_logic;
1102     XIN : in std_logic;
        LED : out std_logic;
1104     XOUT : out std_logic
        );
1106 end Component;

1108 Component RisingEdgeDetector is
    port(
1110     RST : in std_logic;
        CLK : in std_logic;
1112     XIN : in std_logic;

```

```

1114     XOUT : out std_logic
1115     );
1116 end Component;
1117
1118 signal DPE : std_logic_vector(n - 1 downto 0);
1119 signal SEL : std_logic_vector(3 downto 0);
1120 signal DTA : std_logic_vector(n downto 0);
1121 signal PAR, CLL, RSS, TIC, SET, CLC, RET, CLS, RLD, TCC : std_logic;
1122
1123 begin
1124 RXRDY <= CLS;
1125     U01 : LoadRegister generic map(8) port map(CLK, RST, CTO, DIN, DPE);
1126     U02 : ParityDetector port map(DPE, PAR);
1127     U03 : UARIMUX port map(DPE, PAR, SEL, TX);
1128     U04 : SRLatch port map(RST, CLK, CTO, CLL, RSS);
1129     U05 : GenericTimeBase generic map(868) port map(CLK, RSS, '1', TIC);
1130     U06 : FreeCounter generic map(3) port map(RSS, CLK, TIC, SEL);
1131     U07 : UProgrammableCounter generic map(11) port map(RSS, CLK, TIC, CLL);
1132
1133     U08 : FallingEdgeDetector port map(RST, CLK, RX, IND, SET);
1134     U09 : SRLatch port map(RST, CLK, SET, CLC, RET);
1135     U10 : GenericTimeBase generic map(414) port map(CLK, RET, '1', CLC);
1136     U11 : SRLatch port map(RST, CLK, CLC, CLS, RLD);
1137     U12 : GenericTimeBase generic map(868) port map(CLK, RLD, '1', TCC);
1138     U13 : SPRegister generic map(9) port map(RST, CLK, TCC, RX, DTA);
1139     U14 : LoadRegister generic map(9) port map(CLK, RST, CLS, DTA, DOUT );
1140     U15 : UProgrammableCounter generic map(10) port map(RLD, CLK, TCC, CLS);
1141
1142     —U16 : GenericTimeBase generic map(100000) port map(CLK, CTO, '1', STT);
1143 end Structural;
1144
1145 Library IEEE;
1146 use IEEE.std_logic_1164.all;
1147
1148 Entity DataDivider is
1149     port(
1150         CLK : in std_logic;
1151         RST : in std_logic;
1152         ENI : in std_logic;
1153         ENO : out std_logic;
1154         DIN : in std_logic_vector(31 downto 0);
1155         DOUT : out std_logic_vector(7 downto 0)
1156     );
1157 end DataDivider;
1158
1159
1160 Architecture DataFlow of DataDivider is
1161
1162 Component GenericTimeBase is
1163     generic( n : integer:= 10);
1164     port(
1165         CLK : in std_logic;
1166         RST : in std_logic;
1167         ENI : in std_logic;
1168         ENO : out std_logic

```



```

    );
1170 end Component;

1172 Component ProgrammableCounter is
    generic(n : integer := 2);
1174 port(
1176 RST: in std_logic;
    CLK: in std_logic;
    ENI: in std_logic;
1178 SP: in std_logic_vector(n-1 downto 0);
    ENO: out std_logic;
1180 COUNT: out std_logic_vector(n-1 downto 0)
    );
1182 end Component;

1184 Component DividerMUX is
    port(
1186 SEL : in std_logic_vector(2 downto 0);
    DIN1 : in std_logic_vector(7 downto 0);
1188 DIN2 : in std_logic_vector(7 downto 0);
    DIN3 : in std_logic_vector(7 downto 0);
1190 DIN4 : in std_logic_vector(7 downto 0);
    DOUT : out std_logic_vector(7 downto 0)
1192 );
1194 end Component;

1196 Component SRLatch is
    port(
1198 RST : in std_logic;
    CLK : in std_logic;
    SET : in std_logic;
1200 CLR : in std_logic;
    QOUT : out std_logic
1202 );
1204 end Component;

1206 signal TB, TBN, TBR : std_logic;
1208 signal SEL : std_logic_vector(2 downto 0);
    signal DIN1, DIN2, DIN3, DIN4 : std_logic_vector(7 downto 0);
1210 begin

1212 DIN1 <= DIN(31 downto 24);
    DIN2 <= DIN(23 downto 16);
1214 DIN3 <= DIN(15 downto 8);
    DIN4 <= DIN(7 downto 0);
1216 ENO <= TB;

1218 U00 : SRLatch port map(RST, CLK, ENI, TBR, TBN);
    U01 : GenericTimeBase generic map(20000) port map(CLK, RST, TBN, TB);
1220 U02 : ProgrammableCounter generic map(3) port map(RST, CLK, TB, "011", TBR, SEL);
    U03 : DividerMUX port map(SEL, DIN1, DIN2, DIN3, DIN4, DOUT);
1222 end DataFlow;

1224 Library IEEE;
    use IEEE.std_logic_1164.all;

```

```

1226 Entity QRegister is
      port(
1228     CLK   : in std_logic;
          RST   : in std_logic;
1230     ENI   : in std_logic;
          DIN   : in std_logic_vector(7 downto 0);
1232     a     : out std_logic_vector(63 downto 0);
          T     : out std_logic_vector(63 downto 0);
1234     Q1    : out std_logic_vector(31 downto 0);
          QRDY : out std_logic
1236     );
end QRegister;
1238
Architecture Structural of QRegister is
1240
Component LoadRegister is
1242     generic(n : integer := 8);
      port(
1244     RST: in std_logic; --Reset asincrono
          CLK: in std_logic;--
1246     LDR: in std_logic;-- ENA
          DIN: in std_logic_vector(n-1 downto 0);--Dato de entrada
1248     DOUT: out std_logic_vector(n-1 downto 0)--dato de salida
          );
1250 end Component;

1252 Component QMUX is
      port(
1254     SEL   : in std_logic_vector(3 downto 0);
          VLDR : out std_logic_vector(11 downto 0)
1256     );
end Component;
1258
Component ProgrammableCounter is
1260     generic(n : integer := 2);
      port(
1262     RST: in std_logic;
          CLK: in std_logic;
1264     ENI: in std_logic;
          SP: in std_logic_vector(n-1 downto 0);
1266     ENO: out std_logic;
          COUNT: out std_logic_vector(n-1 downto 0)
1268     );
end Component;
1270
Component GenericTimeBase is
1272     generic( n : integer:= 10);
      port(
1274     CLK : in std_logic;
          RST : in std_logic;
1276     ENI : in std_logic;
          ENO : out std_logic
1278     );
end Component;
1280

```

```

signal RDY, FEN : std_logic;
1282 signal VLDR : std_logic_vector(11 downto 0);
signal SEL : std_logic_vector(3 downto 0);
1284 signal DOUTa1,DOUTa2,DOUTa3,DOUTa4,DOUTT1,DOUTT2,DOUTT3,DOUTT4,DOUTQ1,DOUTQ2,DOUTQ3,
      DOUTQ4 : std_logic_vector(7 downto 0);
—signal aAux, DOUTaAux1, DOUTT1, DOUTQ1 : std_logic_vector(31 downto 0);
1286 signal aAux, TAux      : std_logic_vector(63 downto 0);
signal Q1Aux      : std_logic_vector(31 downto 0);
1288 begin

1290 aAux <= "00000000000000000000000000000000" & DOUTa4 & DOUTa3 & DOUTa2 & DOUTa1;
TAux <= "11111111111111111111111111111111" & DOUTT4 & DOUTT3 & DOUTT2 & DOUTT1;
1292 Q1Aux <= DOUTQ4 & DOUTQ3 & DOUTQ2 & DOUTQ1;
QRDY <= VLDR(11);
1294 —aAux      <= "00000000000000000000000000000000";
—DOUTaAux2 <= aAux & DOUTaAux1;
1296     U01 : ProgrammableCounter generic map(4)port map(RST, CLK, ENI, "1100", OPEN, SEL)
      ;
      U02 : QMUX port map(SEL,VLDR);
1298     U03 : LoadRegister generic map(8) port map(RST, CLK, VLDR(0), DIN, DOUTa1);
      U04 : LoadRegister generic map(8) port map(RST, CLK, VLDR(1), DIN, DOUTa2);
1300     U05 : LoadRegister generic map(8) port map(RST, CLK, VLDR(2), DIN, DOUTa3);
      U06 : LoadRegister generic map(8) port map(RST, CLK, VLDR(3), DIN, DOUTa4);
1302     U07 : LoadRegister generic map(8) port map(RST, CLK, VLDR(4), DIN, DOUTT1);
      U08 : LoadRegister generic map(8) port map(RST, CLK, VLDR(5), DIN, DOUTT2);
1304     U09 : LoadRegister generic map(8) port map(RST, CLK, VLDR(6), DIN, DOUTT3);
      U10 : LoadRegister generic map(8) port map(RST, CLK, VLDR(7), DIN, DOUTT4);
1306     U11 : LoadRegister generic map(8) port map(RST, CLK, VLDR(8), DIN, DOUTQ1);
      U12 : LoadRegister generic map(8) port map(RST, CLK, VLDR(9), DIN, DOUTQ2);
1308     U13 : LoadRegister generic map(8) port map(RST, CLK, VLDR(10), DIN, DOUTQ3);
      U14 : LoadRegister generic map(8) port map(RST, CLK, VLDR(11), DIN, DOUTQ4);
1310     U15 : GenericTimeBase generic map(1000)port map(CLK, RST, VLDR(11), FEN);
      U16 : LoadRegister generic map(64) port map(RST, CLK, FEN,aAux, a);
1312     U17 : LoadRegister generic map(64) port map(RST, CLK, FEN,TAux, T);
      U18 : LoadRegister generic map(32) port map(RST, CLK, FEN,Q1Aux, Q1);
1314
end Structural;

```

A.1.6 Encoder Incremental

El siguiente bloque tiene la tarea de transformar los pulsos entregados por el encoder del servomotor a una cuenta que puede ser incremental o decremental.

```

1000 Library IEEE;
use IEEE.std_logic_1164.all;
1002
Entity IncrementalEncoder is
1004     generic (n : integer := 32);
      port(
1006         CLK      : in std_logic;
          RST      : in std_logic;
1008         CHA      : in std_logic;

```

```

1010     CHB    : in std_logic;
1011     PULSE  : out std_logic;
1012     DIR    : out std_logic;
1013     COUNT  : out std_logic_vector(n-1 downto 0)
1014         );
1015 end IncrementalEncoder;

1016 Architecture Structural of IncrementalEncoder is

1017 Component BidirectionalCounter is
1018     generic ( n : integer:= 32);
1019     port(
1020         CLK : in std_logic;
1021         RST : in std_logic;
1022         ENI : in std_logic;
1023         DIR : in std_logic;
1024         SP  : in std_logic_vector(n-1 downto 0);
1025         COUNT : out std_logic_vector(n-1 downto 0)
1026     );
1027 end Component;

1028 Component QuadratureDecoder is
1029     generic( n : integer := 3);
1030     port(
1031         RST : in std_logic;
1032         CLK : in std_logic;
1033         CHA : in std_logic;
1034         CHB : in std_logic;
1035         ENA : out std_logic;
1036         DIR : out std_logic;
1037         LED : out std_logic
1038     );
1039 end Component;

1040 signal DIRECTION,PULSEB, ENA : std_logic;
1041 begin
1042     DIR <= DIRECTION;
1043     PULSE <= ENA;
1044     U01 : QuadratureDecoder generic map(3) port map(RST, CLK, CHA, CHB, ENA, DIRECTION
1045         , OPEN);
1046     U02 : BidirectionalCounter generic map(32) port map(CLK, RST, ENA, DIRECTION, "
1047         11111111111111111111111111111111", COUNT);
1048 end Structural;

```

A.1.7 Indicador digital de la posición angular

El siguiente bloque es importante para el seguimiento de la posición del motor entregada por el encoder y su despliegue en hasta 8 displays de 7 segmentos.

```

1000 Library IEEE;
1001 use IEEE.std_logic_1164.all;
1002

```

```

Entity DMillionCounter is
1004   port(
        CLK  : in std_logic;
1006        RST  : in std_logic;
        ENI  : in std_logic;
1008        DIR  : in std_logic;
        AOUT : out std_logic_vector(7 downto 0);
1010        SOUT : out std_logic_vector(6 downto 0)
        );
1012 end DMillionCounter;

1014 Architecture Structural of DMillionCounter is

1016 Component SevenSegDisplay is
        port(
1018         DIN  : in std_logic_vector(3 downto 0);
         DOUT : out std_logic_vector(6 downto 0)
1020         );
1022 end Component;

Component GenericTimeBase is
1024 generic( n : integer:= 10);
        port(
1026         CLK  : in std_logic;
         RST  : in std_logic;
1028         ENI  : in std_logic;
         ENO  : out std_logic
1030         );
1032 end Component;

Component BidirectionalCounter is
1034 generic( n : integer:= 16);
        port(
1036         CLK  : in std_logic;
         RST  : in std_logic;
1038         ENI  : in std_logic;
         DIR  : in std_logic;
1040         SP   : in std_logic_vector(n-1 downto 0);
         COUNT : out std_logic_vector(n-1 downto 0);
1042         RDY  : out std_logic
        );
1044 end Component;

1046 Component IncrementalCounter is
        generic(
1048         n : integer:=3
        );
1050 port(
        CLK  : in std_logic;
1052        RST  : in std_logic;
        ENI  : in std_logic;
1054        RDY  : out std_logic;
        SP   : in std_logic_vector(n-1 downto 0);
1056        COUNT : out std_logic_vector(n-1 downto 0)
        );
1058 end Component;

```

```

1060 Component BCDMUX is
      port(
1062     SEL  : in std_logic_vector(3 downto 0);
          U   : in std_logic_vector(6 downto 0);
1064     D   : in std_logic_vector(6 downto 0);
          C   : in std_logic_vector(6 downto 0);
1066     UM  : in std_logic_vector(6 downto 0);
          DM  : in std_logic_vector(6 downto 0);
1068     CM  : in std_logic_vector(6 downto 0);
          UMM : in std_logic_vector(6 downto 0);
1070     DMM : in std_logic_vector(6 downto 0);
          SOUT : out std_logic_vector(6 downto 0);
1072     AOUT : out std_logic_vector(7 downto 0)
          );
1074 end Component;
signal TIC,P : std_logic;
1076 signal TD, TC, TUM, TDM, TCM, TUMM, TDMM : std_logic;
signal SEL, IU, ID, IC, IUM, IDM, ICM, IUMM, IDMM : std_logic_vector(3 downto 0);
1078 signal SU, SD, SC, SUM, SDM, SCM, SUMM, SDMM : std_logic_vector(6 downto 0);

1080 begin
1082     --AOUT <= "1000000";
     --SOUT <= "1001001";
1084     U01 : GenericTimeBase generic map(5000) port map(CLK, RST , '1', TIC );
     U02 : BidirectionalCounter generic map(4) port map(CLK, RST, ENI, DIR, "1001", IU
, TD);
1086     U03 : SevenSegDisplay port map (IU, SU);
     U04 : BidirectionalCounter generic map(4) port map(CLK, RST, TD, DIR, "1001", ID,
TC);
1088     U05 : SevenSegDisplay port map (ID, SD);
     U06 : BidirectionalCounter generic map(4) port map(CLK, RST, TC, DIR, "1001", IC,
TUM);
1090     U07 : SevenSegDisplay port map (IC, SC);
     U08 : BidirectionalCounter generic map(4) port map(CLK, RST, TUM, DIR, "1001" ,
IUM, TDM);
1092     U09 : SevenSegDisplay port map (IUM, SUM);
     U10 : BidirectionalCounter generic map(4) port map(CLK, RST, TDM, DIR, "1001" ,
IDM, TCM);
1094     U11 : SevenSegDisplay port map (IDM, SDM);
     U12 : BidirectionalCounter generic map(4) port map(CLK, RST, TCM, DIR, "1001" ,
ICM, TUMM);
1096     U13 : SevenSegDisplay port map (ICM, SCM);
     U14 : BidirectionalCounter generic map(4) port map(CLK, RST, TUMM, DIR, "1001" ,
IUMM, TDMM);
1098     U15 : SevenSegDisplay port map (IUMM, SUMM);
     U16 : BidirectionalCounter generic map(4) port map(CLK, RST, TDMM, DIR, "1001" ,
IDMM, OPEN);
1100     U17 : SevenSegDisplay port map (IDMM, SDMM);
     U18 : IncrementalCounter generic map(4) port map(CLK, RST, TIC, OPEN, "1000", SEL
);
1102     U19 : BCDMUX port map(SEL, SU, SD, SC, SUM, SDM, SCM, SUMM, SDMM, SOUT, AOUT);
     --U20 : GenericTimeBase generic map(1000000) port map(CLK, RST , '1', P );
1104 end Structural;

```

A.1.8 Bloques en común para las funciones principales

Todas las descripciones de hardware anteriores basan su funcionalidad en la integración y activación de pequeños bloques elementales como lo son registros de carga, bases de tiempo, contadores genéricos y multiplexores. A continuación se muestra el código de los bloques genéricos. Aquellos bloques que sean específicos como multiplexores o máquinas de estado especializadas no se incluyen en este trabajo pero son fácilmente deducibles a través de la comprensión y análisis de los diagramas del mismo.

A.1.8.1 Registro de carga

```
1000 Library IEEE;
1001 use IEEE.std_logic_1164.all;
1002
1003 Entity LoadRegister is
1004     generic(n : integer := 8);
1005     port(
1006         RST: in std_logic; --Reset asincrono
1007         CLK: in std_logic;--
1008         LDR: in std_logic;-- ENA
1009         DIN: in std_logic_vector(n-1 downto 0);--Dato de entrada
1010         DOUT: out std_logic_vector(n-1 downto 0)--dato de salida
1011     );
1012 end LoadRegister;
1013
1014 Architecture Behovial of LoadRegister is
1015     signal Qp, Qn: std_logic_vector(n-1 downto 0);
1016     begin
1017         Combinational: process(LDR, Qp, DIN)
1018         begin
1019             if LDR='1' then
1020                 Qn<=DIN;
1021             else
1022                 Qn<=Qp;
1023             end if;
1024             DOUT<=Qp;
1025         end process Combinational;
1026         Sequential : process(RST, CLK)
1027         begin
1028             if RST= '0' then
1029                 Qp<=(others => '0');
1030             elsif CLK'event and CLK='1' then
1031                 Qp<=Qn;
1032             end if;
1033         end process Sequential;
1034     end Behovial;
```

A.1.8.2 Base de tiempo

```
1000 Library IEEE;
1001 use IEEE.std_logic_1164.all;
1002 use IEEE.std_logic_unsigned.all;

1004 Entity GenericTimeBase is
1005     generic( n : integer:= 10);
1006     port(
1007         CLK : in std_logic;
1008         RST : in std_logic;
1009         ENI : in std_logic;
1010         ENO : out std_logic
1011     );
1012 end GenericTimeBase;

1014 Architecture Behavioral of GenericTimeBase is
1015     signal Qp, Qn : integer;
1016     signal CMP : std_logic;
1017     signal SEL : std_logic_vector(1 downto 0);
1018     begin

1020         Combinational: process(Qp, CMP, SEL, ENI) is
1021             begin
1022                 if (Qp = (n-1)) then
1023                     CMP <= '1';
1024                 else
1025                     CMP <= '0';
1026                 end if;
1027                 SEL <= ENI & CMP;

1028                 case SEL is
1029                     when "10" => Qn <= Qp + 1;
1030                     when "11" => Qn <= 0;
1031                     when others => Qn <= Qp;
1032                 end case;

1033                 ENO <= ENI and CMP;

1034             end process Combinational;

1035         Sequential : process(CLK, RST) is
1036             begin
1037                 if RST = '0' then
1038                     Qp <= 0;
1039                 elsif CLK = '1' and CLK'event then
1040                     Qp <= Qn;
1041                 end if;
1042             end process Sequential;

1043     end Behavioral;
```


A.1.8.3 Contador incremental

```
1000 Library IEEE;
1001 use IEEE.std_logic_1164.all;
1002 use IEEE.std_logic_unsigned.all;

1004 Entity IncrementalCounter is
    generic (
1006         n : integer:=3
    );
1008     port(
1009         CLK : in std_logic;
1010         RST : in std_logic;
1011         ENI : in std_logic;
1012         RDY : out std_logic;
1013         SP : in std_logic_vector(n-1 downto 0);
1014         COUNT : out std_logic_vector(n-1 downto 0)
    );
1016 end IncrementalCounter;

1018 Architecture Behavioral of IncrementalCounter is
1019     signal Qp, Qn : std_logic_vector(n-1 downto 0);
1020     begin
1021     Combinational : process(ENI,Qp, Qn, SP) is
1022         begin
1023             if Qp = SP then
1024                 Qn <= (others => '0');
1025                 RDY <= '1';
1026             else
1027                 if ENI = '1' then
1028                     Qn <= Qp + 1;
1029                     RDY <= '0';
1030                 else
1031                     Qn <= Qp;
1032                     RDY <= '0';
1033                 end if;
1034             end if;
1035             COUNT <= Qp;
1036         end process Combinational;

1038     Sequential : process(CLK,RST) is
1039         begin
1040             if RST = '0' then
1041                 Qp <= (others => '0');
1042             elsif CLK = '1' and CLK'event then
1043                 Qp <= Qn;
1044             end if;
1045         end process Sequential;
1046     end Behavioral;
1048
```

A.1.8.4 Contador programable

```
1000 Library IEEE;
1001 use IEEE.std_logic_1164.all;
1002 use IEEE.std_logic_unsigned.all;

1004 Entity ProgrammableCounter is
1005     generic(n : integer := 2);
1006     port(
1007         RST: in std_logic;
1008         CLK: in std_logic;
1009         ENI: in std_logic;
1010         SP: in std_logic_vector(n-1 downto 0);
1011         ENO: out std_logic;
1012         COUNT: out std_logic_vector(n-1 downto 0)
1013     );
1014 end ProgrammableCounter;

1016 Architecture Behavioral of ProgrammableCounter is
1017     signal Qn,Qp: std_logic_vector(n-1 downto 0);
1018     begin
1019         Combinational: process (Qp,ENI,SP)
1020         begin
1021             if ENI = '1' then
1022                 if Qp = SP then
1023                     ENO <= '1';
1024                     Qn <= (others => '0');
1025                 else
1026                     ENO <= '0';
1027                     Qn <= Qp + 1;
1028                 end if;
1029             else
1030                 Qn <= Qp;
1031                 ENO <= '0';
1032             end if;
1033
1034             COUNT <= Qp;
1035
1036         end process Combinational;

1038         Sequential: process (CLK,RST)
1039         begin
1040             if RST = '0' then
1041                 Qp <= (others => '0');
1042             elsif CLK'event and CLK = '1' then
1043                 Qp <= Qn;
1044             end if;
1045
1046         end process Sequential;
1047
1048     end Behavioral;
```

A.1.8.5 Sumador y restador

```
1000 Library IEEE;
1001 use IEEE.std_logic_1164.all;
1002 use IEEE.std_logic_arith.all;
1004
1005 Entity AddSubs is
1006     generic(n: integer:=8);
1007     port(
1008         OPA: in std_logic_vector(n-1 downto 0);
1009         OPB: in std_logic_vector(n-1 downto 0);
1010         SIGN: in std_logic;
1011         RES: out std_logic_vector(n-1 downto 0)
1012     );
1013 end AddSubs;
1014
1015 Architecture Behavioral of AddSubs is
1016 begin
1017     Combinational: process(OPA,OPB,SIGN)
1018     begin
1019         if SIGN = '0' then
1020             RES <= signed(OPA) + signed(OPB);
1021
1022         else
1023             RES <= signed(OPA) - signed(OPB);
1024         end if;
1025
1026     end process Combinational;
1027
1028 end Behavioral;
```

A.1.8.6 Multiplicador

```
1000 Library IEEE;
1001 use IEEE.std_logic_1164.all;
1002 use IEEE.std_logic_arith.all;
1004
1005 Entity Multiplier is
1006     generic(n : integer := 32; m : integer := 32);
1007     port(
1008         OPA : in std_logic_vector(n - 1 downto 0);
1009         OPB : in std_logic_vector(m - 1 downto 0);
1010         RES : out std_logic_vector(n + m - 1 downto 0)
1011     );
1012 end Multiplier;
1013
1014 Architecture DataFlow of Multiplier is
1015 begin
1016     RES <= signed(OPA) * signed(OPB);
1017 end DataFlow;
```

A.2 Código de la interfaz desarrollada en MATLAB

La interfaz de usuario del experimento fue desarrollada con la herramienta de interfaces de usuario de MATLAB GUI que funciona a través de la programación de eventos (como presionar un botón), sin embargo, al tratarse de una gran cantidad de líneas de código se deciden no incluir en el presente trabajo. Además de que este sistema puede ser adaptado a interfaces desarrolladas en otras plataformas que soporten el protocolo de comunicación RS232. Por otro lado, sí se incluyen las funciones que permiten calcular los vectores de posición, velocidad y aceleración para cada perfil y una función que permite convertir los valores decimales a palabras binarias con formato de punto fijo necesarias para que el FPGA pueda trabajar.

A.2.1 Código del perfil parabólico con integración rectangular

```
1000 function [time , pos , speed , accel , Tr , a] = ParabolicProfile ( wmax , Thetaf , Ts )
1002 Tr=3*Thetaf/(2*(wmax))
1003 samples=floor(Tr*(1/Ts))
1004 T=samples/(1/Ts)
1005 a=4*(wmax)/T
1006
1008 time=zeros(samples,1);
1009 accel=zeros(samples,1);
1010 speed=zeros(samples,1);
1011 pos=zeros(samples,1);
1012
1013 for K=2:samples
1014     time(K)=Ts*K;
1015     accel(K)=-(2*a/T)*time(K)+a;
1016     speed(K)=speed(K-1)+accel(K)*Ts;
1017     pos(K)=pos(K-1)+speed(K)*Ts;
1018 end
1020 end
```

A.2.2 Código del perfil trapezoidal con integración rectangular

```
1000 function [time , pos , speed , accel , Tr , a] = TrapezoidalVelocityProfile(wmax, Thetaf, Ts)
1001 Tr=3*Thetaf/(2*wmax);
1002 samples=floor(Tr*(1/Ts));
1003 T=samples/(1/Ts);
1004 a=3*wmax/T;
```

```

1006 time=zeros(samples,1);
1007 accel=zeros(samples,1);
1008 speed=zeros(samples,1);
1009 pos=zeros(samples,1);
1010
1011 for K=2:samples
1012     time(K)=Ts*K;
1013
1014     if K>0 && K<samples/3
1015         accel(K)=a;
1016     end
1017
1018     if K>=samples/3 && K<(2*samples)/3
1019         accel(K)=0;
1020     end
1021
1022     if K>=(2*samples)/3 && K<=samples
1023         accel(K)=-a;
1024     end
1025     speed(K)=speed(K-1)+accel(K)*Ts;
1026     pos(K)=pos(K-1)+speed(K)*Ts;
1027 end
1028 end

```

A.2.3 Código del convertidor decimal a punto fijo

```

1000 function [ binaryWord, HexStr ] = dec2fixedPoint( decimalNumber,FI,FF )
1001
1002     %SEPARACIÓN DE PARTE ENTERA Y FRACCIONAL
1003     counter = 1;
1004     integer      = fix(decimalNumber);
1005     absInteger   = abs(integer);
1006     fractional   = abs(decimalNumber-integer);
1007     binaryInteger = dec2bin(absInteger,FI);
1008
1009     if FF == 0
1010         binaryWord = dec2bin(absInteger,FI);
1011     else
1012         %ALGORITMO PARA TRANSFORMAR FRACCIÓN DECIMAL A BINARIA
1013         while(counter <= FF)
1014             fractional = fractional * 2;
1015             binaryFractional(counter) = fix(fractional);
1016             fractional = abs(fractional - fix(fractional));
1017             counter = counter + 1;
1018         end
1019         binaryFractional = num2str(binaryFractional);
1020         binaryFractional = binaryFractional(~isspace(binaryFractional));
1021         counter = 1;
1022
1023     %CONCATENAR PARTE ENTERA Y FRACCIONAL
1024     binaryWord = strcat(binaryInteger,binaryFractional);

```

```

1026 FC = FI + 1;
1027 %COMPLEMENTO A 1 EN CASO DE SER UN DECIMAL NEGATIVO
1028 if (decimalNumber < 0)
1029     while (FC) <= (FI + FF)
1030         if (binaryWord(counter) == '0')
1031             binaryWord(counter) = '1';
1032         else
1033             binaryWord(counter) = '0';
1034         end
1035
1036         if (binaryWord(FC) == '0')
1037             binaryWord(FC) = '1';
1038         else
1039             binaryWord(FC) = '0';
1040         end
1041
1042         if counter <= FI
1043             counter = counter + 1;
1044         end
1045         FC = FC + 1;
1046     end
1047 % COMPLEMENTO A 2
1048     binaryWord = binaryWord - '0';
1049     binaryWord = uint64(bi2de(binaryWord, 'left -msb'));
1050     binaryWord = dec2bin(binaryWord + 1, FI + FF);
1051
1052 end
1053 end
1054 BHWord = binaryWord;
1055 % CONVERSIÓN A HEXADECIMAL
1056 Bits = FI + FF;
1057 Words = Bits/4;
1058 WholeWords = floor(Words);
1059 PartWords = Words-WholeWords;
1060
1061 while PartWords > 0
1062     BHWord = ['0' BHWord];
1063     Bits = length(BHWord);
1064     Words = Bits/4;
1065     WholeWords = floor(Words);
1066     PartWords = Words-WholeWords;
1067 end
1068
1069 Words = length(BHWord)/4;
1070 HEX = {'0','1','2','3','4','5','6','7','8','9','A','B','C','D','E','F'};
1071 counter = 1;
1072 HexStr = [];
1073 while counter <= Words
1074     position = (counter * 4) - 3;
1075     Word = BHWord(position:position + 3);
1076     DEC = bin2dec(Word);
1077     HEXI = HEX{DEC + 1};
1078     HexStr = [HexStr HEXI];
1079     counter = counter + 1;
1080 end

```

Dirección General de Bibliotecas UAQ

Dirección General de Bibliotecas UAQ